

ตัวอัดประจุแบตเตอรี่ชนิดลิเธียมไอออนแบบชาร์จเกดแรงดัน  
และกระแสได้หลายค่า

A LITHIUM-ION BATTERY CHARGER WITH MULTIPLE VOLTAGE  
AND CURRENT LIMITS



นายชนาณท์ อัตถาวี รหัส 52361673  
นายพิสิฐ ร่มโพธิ์ รหัส 52362069  
นายสถาพร หมื่นสุกดตา รหัส 52362274

ที่จังษานุคณະวิភกกรรมการสหรร
วันที่รับ..... 12/๐๘/2556 .....
เลขทะเบียน..... ๑๖๓๘๑๔๐๖ .....
แบบเรียกหนังสือ..... ผศ.
มหาวิทยาลัยนเรศวร ๕๔๗ ๒๕๕๖

ปริญญาในพนธน์เป็นส่วนหนึ่งของการศึกษาหลักสูตรปริญญาวิศวกรรมศาสตรบัณฑิต  
สาขาวิศวกรรมไฟฟ้า ภาควิชาวิศวกรรมไฟฟ้าและคอมพิวเตอร์  
คณะวิศวกรรมศาสตร์ มหาวิทยาลัยนเรศวร  
ปีการศึกษา 2555



## ใบรับรองปริญญาบัตร

ชื่อหัวข้อโครงการ ตัวอักษรประจุแบบเตอร์ชันดิลิเชิ่บม ไอ้อนแบบจำกัดแรงดันและกระแส  
ได้หลายค่า

ผู้ดำเนินโครงการ	นายชนานนท์ อัตถาวี	รหัส 52361673
	นายพิสิฐ รัตนโพธิ์	รหัส 52362069
	นายสถาพร หมื่นสุคต	รหัส 52362274
ที่ปรึกษาโครงการ	ดร. นิพัทธ์ จันทร์มนิธิ	
สาขาวิชา	วิศวกรรมไฟฟ้า	
ภาควิชา	วิศวกรรมไฟฟ้าและคอมพิวเตอร์	
ปีการศึกษา	2555	

คณะวิศวกรรมศาสตร์ มหาวิทยาลัยนเรศวร อนุมัติให้ปริญญาบัตรฉบับนี้เป็นส่วนหนึ่ง  
ของการศึกษาตามหลักสูตรวิศวกรรมศาสตรบัณฑิต สาขาวิชาวิศวกรรมไฟฟ้า

.....ที่ปรึกษาโครงการ  
(ดร. นิพัทธ์ จันทร์มนิธิ)

.....กรรมการ  
(ดร. ชุวัต พลพิทักษ์ชัย)

.....กรรมการ  
(ดร. พนัสน นอดฤทธิ์)

ชื่อหัวข้อโครงการ	ตัวอัคประจุแบตเตอร์ชนิดลิเทียม ไอออนแบบจำกัดแรงดันและกระแสได้หลายค่า		
ผู้ดำเนินโครงการ	นายชนานนท์ อัตถาวี	รหัส	52361673
	นายพิสิฐ รัมโพธิ์	รหัส	52362069
	นายสถาพร หมื่นสุคตา	รหัส	52362274
ที่ปรึกษาโครงการ	ดร. นิพัทธ์ จันทร์มินทร์		
สาขาวิชา	วิศวกรรมไฟฟ้า		
ภาควิชา	วิศวกรรมไฟฟ้าและคอมพิวเตอร์		
ปีการศึกษา	2555		

### บทคัดย่อ

ปริญญาในพินท์ฉบับนี้นำเสนอการออกแบบและสร้างตัวควบคุมการอัคประจุสำหรับแบตเตอร์ชนิดลิเทียม ไอออนซ์เจนิบม์ใช้ในโทรศัพท์เคลื่อนที่และกล้องถ่ายภาพดิจิตอล โดยตัวควบคุมการอัคประจุสามารถเลือกค่าแรงดันอัคประจุให้ทั้งหมด 3 ค่า คือ 4.2 V 5 V และ 8.4 V นอกเหนือจากนี้ยังสามารถจำกัดค่ากระแสอัคประจุอยู่ในช่วง 0.3 – 2 A และได้ออกแบบการเลือกค่ากระแสอัคประจุเพื่อให้เหมาะสมกับขนาดแบตเตอร์ที่ต้องการอัคประจุ โดยตัวควบคุมการอัคประจุสามารถรองรับพลังงานจากแหล่งจ่ายได้ 3 ประเภท คือ ไฟกระแสสลับขนาดแรงดัน 220 V และความถี่ 50 Hz จากการไฟฟ้า ไฟกระแสตรงจากแบตเตอร์ขนาดแรงดัน 12 V ผ่านตัวจุดบูร์ ในรูปแบบไฟกระแสตรงจากแหล่งจ่ายอีกด้วย ที่ต้องการเป็นวงจรในช่วง 15 – 40 V รวมทั้งออกแบบให้การอัคประจุสิ้นสุดลงเมื่อกระแสอัคประจุมีค่าต่ำกว่าค่ากระแสตัวคงที่ที่ผู้ใช้ปรับตั้งได้ และสร้างตัวควบคุมการอัคประจุให้มีขนาดเล็กสามารถพกพาไปยังสถานที่ต่างๆ ได้ ผลการทดสอบแสดงให้เห็นว่าความสามารถควบคุมแรงดันและกระแสอัคประจุตามค่าที่ได้ออกแบบไว้

<b>Project title</b>	A Lithium-Ion Battery Charger with Multiple Voltage and Current Limits		
<b>Name</b>	Mr. Chananon Oatthawi	ID. 52361673	
	Mr. Pisit Rompho	ID. 52362069	
	Mr. Sataporn Muensudta	ID. 52362274	
<b>Project advisor</b>	Mr. Niphat Jantharamin, Ph.D.		
<b>Major</b>	Electrical Engineering		
<b>Department</b>	Electrical and Computer Engineering		
<b>Academic year</b>	2012		

---

### Abstract

This thesis presents a design and construction of a charger for Li-ion batteries which have been widely used in mobile phones and digital cameras. This charger provided three regulated levels of output voltage, namely 4.2 V 5 V and 8.4 V. It was able to limit the charging current to a range of 0.3 – 2 A as needed, whereas recommendation of charging current limit depending upon battery capacity was also devised. Hereby, the charger was designed to allow three possible groups of energy source, i.e. the 220V 50Hz line voltage, 12V batteries via a car cigarette lighter, and solar panels providing an open-circuit voltage in a range of 15 – 40 V. Moreover the charging process was designed to be ended when charging current became lower than a user-defined cutoff current. In addition, the charger was compact and therefore portable. The testing results showed that it was capable of regulating the output voltage and limiting the charging current as designed.

## กิตติกรรมประกาศ

ผู้ดำเนินโครงการขอขอบคุณ ดร. นิพัทธ์ จันทร์มนิหาร์ อ้างอิงปรึกษาโครงการ ซึ่งอาจนำไปสู่ในรายละเอียดทุกขั้นตอนของการดำเนินโครงการ โดยให้คำปรึกษาและคำแนะนำในการแก้ไขปัญหาต่างๆอย่างต่อเนื่องจนกระทั่งโครงการสำเร็จลุล่วง รวมถึงแนะนำหลักการเขียนปริญญาฯ นิพนธ์และตรวจทานแก้ไขอย่างละเอียดจนได้ปริญญานิพนธ์เป็นรูปเด่นสมบูรณ์

ขอขอบคุณคณาจารย์ ทองบัวนา (เพ'เกม) รุ่นพี่สาขาวิชาศิวกรรมไฟฟ้า ปีชุบัน ดำรงตำแหน่งวิศวกรระดับ 4 แผนกวิศวกรรมศาสตร์ สาขาวิชาไฟฟ้าและระบบเครื่องจักรกล ภาควิชางานไฟฟ้า ภาค 1 การไฟฟ้าส่วนภูมิภาค จ.พิษณุโลก ที่สละเวลาส่วนตัวเพื่อให้ความรู้และคำแนะนำอันเป็นประโยชน์ยิ่งในการเลือกใช้อุปกรณ์และการสร้างงาน ทำให้ผู้ดำเนินโครงการมีแนวทางในการสร้างชิ้นงานให้บรรลุตามวัตถุประสงค์ของโครงการที่ตั้งไว้

และขอขอบคุณภาควิชาศิวกรรมไฟฟ้าและคอมพิวเตอร์ที่ให้ยืมใช้เครื่องมือวัดในทดสอบชิ้นงานที่สร้างขึ้น โดยเฉพาะอย่างยิ่งของขอนคุณว่าที่ร้อยตรีธนา โกสุน (พี่ตัน) รวมทั้งคุณปวันรัตน์ มั่นนุช (พี่โนว์) ซึ่งเป็นรุ่นพี่สาขาวิชาศิวกรรมไฟฟ้าและปีชุบันดำรงตำแหน่งครุยว่างของภาควิชาฯ ที่อำนวยความสะดวกในการใช้ห้องปฏิบัติการและการยืมใช้เครื่องมือวัดจนกระทั่งการทดสอบต่างๆเสร็จสุดคล่อง

นอกจากนี้ยังขอขอบคุณอนิรุทธิ์ ทองสุขดี (บิว) เพื่อนสาขาวิชาศิวกรรมไฟฟ้า ที่อนุเคราะห์ให้ใช้ตัวจุกบุหรี่ในรอดูน์ส่วนตัวในการทดสอบชิ้นงานที่สร้างขึ้น ทำให้มีผลการทดสอบที่สมบูรณ์

รวมทั้งขอขอบคุณรัฐบาลไทยที่จัดตั้งกองทุนเงินให้กู้ยืมเพื่อการศึกษา (กบศ.) ซึ่งสนับสนุนด้านทุนทรัพย์แก่นายสถาพร หมื่นสุคต้า ตลอดระยะเวลาการศึกษาในระดับปริญญาตรี

ในท้ายที่สุดนี้ หนีอสั่งอื่นใด ผู้ดำเนินโครงการขอทราบขอบพระคุณบิดาและมารดา ซึ่งให้การสนับสนุนในทุกด้านเกี่ยวกับการศึกษาของผู้ดำเนินโครงการ รวมทั้งมองความรัก ความเมตตา และความเป็นกำลังใจให้จนประสบความสำเร็จในวันนี้

นายชนานนท์ อัตถาวี  
นายพิสิฐ รั่นโพธิ์  
นายสถาพร หมื่นสุคต้า

# สารบัญ

หน้า

ในรับรองปริญานินพนธ์.....	ก
บทคัดย่อภาษาไทย.....	ข
บทคัดย่อภาษาอังกฤษ.....	ค
กิตติกรรมประกาศ .....	ง
สารบัญ.....	จ
สารบัญตาราง.....	ฉ
สารบัญรูป.....	blat

บทที่ 1 บทนำ.....	1
-------------------	---

1.1 ที่มาและความสำคัญ.....	1
1.2 วัตถุประสงค์ของโครงการ .....	1
1.3 ขอบเขตของโครงการ .....	2
1.4 ขั้นตอนและแผนการดำเนินงาน .....	2
1.5 ประโยชน์ที่คาดว่าจะได้รับจากโครงการ .....	3
1.6 งบประมาณ .....	3

บทที่ 2 แบบเตอร์ชนิดลิเธียม ไอออนและหลักการอัดประจุ.....	4
--	---

2.1 แบบเตอร์ชนิดลิเธียม ไอออน .....	4
2.1.1 คุณสมบัติทางเคมีแบบเตอร์ชนิดลิเธียม ไอออน .....	5
2.1.2 การกาบประจุของแบบเตอร์ชนิดลิเธียม ไอออน.....	7
2.1.3 การอัดประจุของแบบเตอร์ชนิดลิเธียม ไอออน .....	8
2.2 แบบเตอร์ชนิดลิเธียม ไอออนพอลิเมอร์ .....	12
2.2.1 การกาบประจุของแบบเตอร์ชนิดลิเธียม ไอออนพอลิเมอร์ .....	13
2.2.2 การอัดประจุของแบบเตอร์ชนิดลิเธียม ไอออนพอลิเมอร์ .....	15
2.3 หลักการอัดประจุแบบเตอร์ชนิดลิเธียม ไอออนและลิเธียม ไอออนพอลิเมอร์ .....	16
2.4 แหล่งจ่ายพลังงานที่ให้ค่าแรงดันไฟฟ้าไม่คงที่ .....	17
2.4.1 แบบเตอร์ชนิดตะกั่ว (Lead-acid batteries).....	17
2.4.2 เซลล์แสงอาทิตย์.....	20

## สารบัญ (ต่อ)

หน้า

2.5 วงจรท่อนระดับแรงดัน .....	28
บทที่ 3 การออกแบบและสร้างตัวควบคุมการอัดประจุ .....	33
3.1 การออกแบบการทำงานของตัวควบคุมการอัดประจุ .....	33
3.2 โครงสร้างและหลักการทำงานของตัวควบคุมการอัดประจุ .....	34
3.3 วงจรควบคุมแรงดันและกระแสอัดประจุ .....	36
3.4 วงจรตัดกระแสอัดประจุ .....	39
3.5 การประกอบตัวควบคุมการอัดประจุ .....	43
บทที่ 4 ผลการทดสอบ .....	45
4.1 การทดสอบการทำงานของวงจรท่อนระดับแรงดัน .....	45
4.1.1 การควบคุมค่าแรงดันและจำกัดค่ากระแสอัดค้านออก .....	45
4.1.2 การวัดค่าความต้านทานโดยใช้อสซิลโลสโคป .....	47
4.1.3 การทดสอบหาค่าประสิทธิภาพ .....	49
4.2 การทดสอบวงจรตัดกระแสอัดประจุ .....	53
4.2.1 การทดสอบวงจรขยายไม่กลับเข้า .....	53
4.2.2 การทดสอบวงจรเบรย์เบนเก็ทแรงดัน .....	54
4.2.3 การควบคุมการทำงานของรีเลช์ .....	56
4.3 การทดสอบตัวควบคุมการอัดประจุ .....	57
4.3.1 การอัดประจุแบบเตอร์โดยตรง .....	57
4.3.2 การอัดประจุแบบเตอร์ในโทรศัพท์เคลื่อนที่ .....	60
บทที่ 5 สรุปผลและข้อเสนอแนะ .....	63
5.1 สรุปผลการดำเนินงาน .....	63
5.2 ปัญหาและแนวทางแก้ไข .....	65
5.3 แนวทางในการพัฒนาต่อไป .....	65
เอกสารอ้างอิง .....	66

## สารบัญ (ต่อ)

หน้า

ภาคผนวก ก ตารางผลการทดสอบการอัคปะจุแบบเตอร์รี่ .....	67
ภาคผนวก ข รายละเอียดของวงจรรวมหมายเลข TL494 .....	75
ภาคผนวก ค รายละเอียดของทรานซิสสเตอร์หมายเลข Tip 32C .....	83
ภาคผนวก ง รายละเอียดของทรานซิสสเตอร์หมายเลข BD139 และ BD140 .....	86
ภาคผนวก ช รายละเอียดของวงจรรวมหมายเลข LM324 .....	91
ภาคผนวก ฉ รายละเอียดของไดโอดหมายเลข FR204.....	96
ภาคผนวก ชช รายละเอียดของตัวคูมค่าแรงดันหมายเลข L7805CV .....	99
ภาคผนวก ชช รายละเอียดของรีเลย์หมายเลข HRS2H-S-DC5V .....	103
ประวัติผู้ดำเนินโครงการ.....	107

## สารบัญตาราง

ตารางที่	หน้า
2.1 ข้อดีและข้อเสียของแบตเตอรี่ชนิดลิเธียม ไอออน.....	5
2.2 คุณลักษณะการทำงานโดยทั่วไปของแบตเตอรี่ชนิดลิเธียม ไอออน.....	7
4.1 แรงดันและกระแสต้านออกของวงจรควบคุมแรงดันและกระแสอัคปะจุ.....	46
4.2 ก้าวต่อไปเกี่ยวกับวงจรทอนระดับแรงดัน.....	47
4.3 ประสิทธิภาพของวงจรทอนระดับแรงดันเมื่อใช้ไฟบ้านจ่ายผ่านอะแดปเตอร์ และต่อโหลดตัวต้านทาน $2.5 \Omega$ .....	49
4.4 ประสิทธิภาพของวงจรทอนระดับแรงดันเมื่อใช้ไฟบ้านจ่ายผ่านอะแดปเตอร์ และต่อโหลดตัวต้านทาน $5 \Omega$ .....	50
4.5 ประสิทธิภาพของวงจรทอนระดับแรงดันเมื่อจ่ายไฟด้วยแบตเตอรี่รีบยกต์ และต่อโหลดตัวต้านทาน $2.5 \Omega$ .....	51
4.6 ประสิทธิภาพของวงจรทอนระดับแรงดันเมื่อจ่ายไฟด้วยแบตเตอรี่รีบยกต์ และต่อโหลดตัวต้านทาน $5 \Omega$ .....	51
4.7 ประสิทธิภาพของวงจรทอนระดับแรงดันเมื่อจ่ายไฟด้วยแบตเตอรี่รีบยกต์ และต่อโหลดตัวต้านทาน $2.5 \Omega$ .....	52
4.8 ประสิทธิภาพของวงจรทอนระดับแรงดันเมื่อจ่ายไฟด้วยแบตเตอรี่รีบยกต์ และต่อโหลดตัวต้านทาน $5 \Omega$ .....	52
4.9 ผลการทดสอบการควบคุมการทำงานของรีเลย์.....	56

# สารบัญรูป

รูปที่	หน้า
2.1 กระบวนการเกิดปฏิกิริยาไฟฟ้าเคนในเซลล์ของแบตเตอรี่ลิเทียม ไอออน.....	6
2.2 การเปรียบเทียบแรงดันกับความถูสำหรับเซลล์ INCP 61/16/78 7 Ah เมื่อคายประจุด้วย กระแสคงที่ ที่ 25°C หลังจากการอัดประจุ (a) 4.1 V (b) 4.2 V ที่กระแส 1 A.....	8
2.3 การเปรียบเทียบแรงดันกับพลังงานสำหรับเซลล์ INCP 61/16/78 7 Ah เมื่อคายประจุ ด้วยกระแสคงที่ ที่ 25°C หลังจากการอัดประจุ (a) 4.1 V (b) 4.2 V ที่กระแส 1 A.....	9
2.4 ความจุของเซลล์ INCP 160/61/78 เมื่อใช้งานครบรอบด้วยกระแสคงที่ 1 A และ 6 A สำหรับการอัดประจุระหว่าง 4.1 V กับ 4.2 V และการคายประจุระหว่าง 2.5 V กับ 3.0 V ที่ 25°C.....	10
2.5 ความจุของเซลล์ INCP 160/61/78 เมื่ออัดประจุที่ 4.1 V กับ 4.2 V และคายประจุ ที่ 2.5 V กับ 3.0 V ที่ 1 A กับ 6 A โดยเซลล์ที่ใช้กระแส 1 A ใช้งานแล้ว 300 รอบ แต่เซลล์ที่ใช้กระแส 6 A ใช้งานแล้ว 3,000 รอบ.....	10
2.6 ข้อมูลของแรงดัน เปอร์เซ็นต์จำนวนประจุและกระแสอัดประจุสำหรับเซลล์ชนิด C/LiMnO <sub>2</sub> และเซลล์ชนิด C/LiCoO <sub>2</sub> 18650 ในการอัดประจุแบบกระแสคงที่แรงดันคงที่ เป็นเวลา 2.5 ชั่วโมง ด้วยกระแสสูงสุดที่ 1.4 A กับ 1.65 A และแรงดันสูงสุดที่ 4.2 V.....	11
2.7 โครงสร้างของเซลล์ชนิดลิเทียม ไอออนพอลิเมอร์.....	12
2.8 แบตเตอรี่ชนิดลิเทียม ไอออนพอลิเมอร์ 0.57 Ah.....	12
2.9 การคายประจุของแบตเตอรี่ชนิดลิเทียม ไอออนพอลิเมอร์ชนิด C/LiCoO <sub>2</sub> ขนาด 0.120 Ah ที่ค่ากระแสคายประจุ 0.2C – 0.3C ที่อุณหภูมิ 20°C.....	13
2.10 การคายประจุแบบเตอร์ชันนิกลิเทียม ไอออนพอลิเมอร์ชนิด C/LiCoO <sub>2</sub> ขนาด 0.120 Ah ค่ากระแสคายประจุ 1C ที่อุณหภูมิตั้งแต่ -20°C – +25°C.....	14
2.11 ค่าความจุในแต่ละจำนวนรอบการใช้งานของแบตเตอรี่ชนิดลิเทียม ไอออนพอลิเมอร์ ชนิด C/LiCoO <sub>2</sub> ขนาด 0.57 Ah.....	14
2.12 การอัดประจุแบบเตอร์ชันนิกลิเทียม ไอออนพอลิเมอร์ชนิด C/LiCoO <sub>2</sub> ขนาด 0.120 Ah ที่ค่ากระแสอัดประจุ 0.7C 1C และ 1.3C ที่อุณหภูมิ 21°C.....	15
2.13 การอัดประจุแบบกระแสคงที่-แรงดันคงที่ (CCCV).....	16
2.14 โครงสร้างภายในของแบตเตอรี่ชนิดตะกั่ว.....	17
2.15 การเกิดปฏิกิริยาภายในแบตเตอรี่ชนิดตะกั่วเมื่อคายประจุ.....	18
2.16 เส้นโค้งคุณลักษณะการคายประจุของแบตเตอรี่ NP4-12.....	19

## สารบัญรูป (ต่อ)

รูปที่	หน้า
2.17 โครงสร้างหัวไวปองเซลล์แสงอาทิตย์ที่ทำมาจากซิลิกอน.....	20
2.18 วงจรสมดุลของเซลล์แสงอาทิตย์ในอุณหภูมิที่ต่อกับภาระ.....	21
2.19 วงจรสมดุลของเซลล์แสงอาทิตย์ที่ต่อ กับภาระ.....	21
2.20 เส้นโค้งคุณลักษณะกระแส-แรงดันของแผงเซลล์แสงอาทิตย์.....	23
2.21 ตัวอย่างเส้นโค้งคุณลักษณะกำลัง-แรงดันของแผงเซลล์แสงอาทิตย์.....	23
2.22 ผลของความเข้มแสงต่อเส้นโค้งคุณลักษณะกระแส-แรงดัน.....	24
2.23 ผลของความเข้มแสงต่อเส้นโค้งคุณลักษณะกำลัง-แรงดัน.....	25
2.24 ผลของอุณหภูมิต่อเส้นโค้งคุณลักษณะกระแส-แรงดัน.....	26
2.25 ผลของอุณหภูมิต่อเส้นโค้งคุณลักษณะกำลัง-แรงดัน.....	26
2.26 เส้นโค้งคุณลักษณะของแผงเซลล์แสงอาทิตย์รุ่น STP010S-12/kb.....	27
2.27 แผนภาพวงจรตอนระดับแรงดัน.....	28
2.28 รูปสัญญาณแรงดันค่านอกของวงจรตอนระดับแรงดันเมื่อไม่มีวงจรกรอง.....	28
2.29 วงจรสมดุลของวงจรตอนระดับแรงดันเมื่อสวิตช์ปิด.....	29
2.30 วงจรสมดุลของวงจรตอนระดับแรงดันเมื่อสวิตช์เปิด.....	30
2.31 แรงดันและกระแสของตัวเหนี่ยวนำในวงจรตอนระดับแรงดันในสถานะอยู่ตัว.....	30
2.32 ความถี่ของแรงดันค่านอกในวงจรตอนระดับแรงดัน.....	32
3.1 แผนภาพกรอบแสดงส่วนประกอบของตัวควบคุมการอัดประจุ.....	34
3.2 แผนภาพวงจรของตัวควบคุมการอัดประจุ.....	35
3.3 แผนภาพวงจรภายในวงจรรวมหมายเลข TL494.....	36
3.4 แผนภาพวงจรควบคุมแรงดันและกระแสอัดประจุ.....	37
3.5 แผนภาพวงจรตัดกระแสอัดประจุ.....	39
3.6 แผนภาพวงจรไฟเลี้ยง 5 V.....	40
3.7 ส่วนประกอบของตัวควบคุมการอัดประจุ.....	43
3.8 สวิตช์ควบคุม ปุ่มปรับค่า และไฟสัญญาณของตัวควบคุมการอัดประจุ.....	44
4.1 รูปสัญญาณแรงดันและกระแสด้านนอกของวงจรตอนระดับแรงดัน.....	48
4.2 ผลการทดสอบวงจรขยายไม่กั๊บข้าม.....	54
4.3 ผลการทดสอบวงจรเบร์ยนเทบบ์แรงดัน.....	55

## สารบัญรูป (ต่อ)

รูปที่	หน้า
4.4 การเปลี่ยนแปลงของแรงดันในระหว่างอัคประจุแบตเตอรี่ของโทรศัพท์เคลื่อนที่ ขนาดความจุ 1,260 mAh โดยตั้งค่าแรงดันที่ 4.2 V และกระแสสูงสุดที่ 0.7 A.....	58
4.5 การเปลี่ยนแปลงของกระแสในระหว่างอัคประจุแบตเตอรี่ของโทรศัพท์เคลื่อนที่ ขนาดความจุ 1,260 mAh โดยตั้งค่าแรงดันที่ 4.2 V และกระแสสูงสุดที่ 0.7 A.....	58
4.6 การเปลี่ยนแปลงของแรงดันในระหว่างอัคประจุแบตเตอรี่ของกล้องถ่ายภาพดิจิตอล ขนาดความจุ 800 mAh โดยตั้งค่าแรงดันที่ 4.2 V และกระแสสูงสุดที่ 0.4 A.....	59
4.7 การเปลี่ยนแปลงของกระแสในระหว่างอัคประจุแบตเตอรี่ของกล้องถ่ายภาพดิจิตอล ขนาดความจุ 800 mAh โดยตั้งค่าแรงดันที่ 4.2 V และกระแสสูงสุดที่ 0.4 A.....	60
4.8 การเปลี่ยนแปลงของแรงดันในระหว่างอัคประจุแบตเตอรี่ขนาดความจุ 1,200 mAh ภายในโทรศัพท์เคลื่อนที่ โดยตั้งค่าแรงดันที่ 5 V และกระแสสูงสุดที่ 0.7 A.....	61
4.9 การเปลี่ยนแปลงของกระแสในระหว่างอัคประจุแบตเตอรี่ขนาดความจุ 1,200 mAh ภายในโทรศัพท์เคลื่อนที่ โดยตั้งค่าแรงดันที่ 5 V และกระแสสูงสุดที่ 0.7 A.....	61

## บทที่ 1

### บทนำ

#### 1.1 ที่มาและความสำคัญ

ในปัจจุบันโทรศัพท์เคลื่อนที่ (Mobile phone) เป็นอุปกรณ์สื่อสารที่มีการใช้งานกันอย่างแพร่หลายเนื่องจากกลไกเป็นสิ่งจำเป็นรวมทั้งเพื่ออำนวยความสะดวกในชีวิตประจำวันของคนส่วนใหญ่ในสังคม เทคโนโลยีของโทรศัพท์เคลื่อนที่ถูกพัฒนาให้ก้าวหน้าไปอย่างรวดเร็ว จนในปัจจุบันสามารถใช้งานโทรศัพท์เคลื่อนที่ได้หลากหลายรูปแบบ นอกจากการใช้เพื่อสื่อสารแล้วยังมีการใช้งานในรูปแบบอื่นๆ เช่น การใช้งานอินเทอร์เน็ต (Internet) การใช้สื่อทางชนิดในคอมพิวเตอร์ หรือมัลติมีเดีย (Multimedia) รวมไปถึงการใช้งานเพื่อความบันเทิงต่างๆ จึงทำให้โทรศัพท์เคลื่อนที่ถูกใช้งานอย่างต่อเนื่องเป็นเวลานาน แต่ด้วยข้อจำกัดด้านรูปลักษณ์ของโทรศัพท์เคลื่อนที่ในปัจจุบัน ทำให้แบตเตอรี่ (Battery) มีขนาดเล็กและบางลง ปริมาณพลังงานของแบตเตอรี่จึงมีจำกัด ส่งผลให้ระยะเวลาการใช้งานโทรศัพท์เคลื่อนที่นั้นสั้นลง ไม่สามารถตอบสนองการใช้งานได้อย่างเพียงพอ โดยเฉพาะในกรณีที่ต้องอยู่ห่างไกลจากการไฟฟ้าหรือไม่สามารถใช้พลังงานจากการไฟฟ้าได้

โครงการนี้จึงได้สร้างตัวความคุณการอัดประจุแบตเตอรี่ของโทรศัพท์เคลื่อนที่และกล้องถ่ายดิจิตอล ซึ่งใช้แสงอาทิตย์เป็นแหล่งพลังงานในการอัดประจุแทนการใช้พลังงานจากการไฟฟ้า ได้ โดยใช้เซลล์แสงอาทิตย์ในการเปลี่ยนพลังงานแสงอาทิตย์ให้เป็นพลังงานไฟฟ้า และใช้ตัวควบคุมการอัดประจุในการลดและควบคุมแรงดันไฟฟ้าให้เหมาะสมสำหรับอัดประจุแบตเตอรี่ นอกจากนี้ยังได้ออกแบบวงจรให้สามารถใช้ได้ทั้งพลังงานจากการไฟฟ้า พลังงานไฟฟ้าจากตัวจุดบุหรี่ในรถยนต์และพลังงานแสงอาทิตย์ เป็นแหล่งกำเนิดพลังงาน และได้ออกแบบขนาดของอุปกรณ์ที่ใช้ใหม่ขนาดกะทัดรัด เพื่อให้สามารถใช้งานได้ตามวัตถุประสงค์และสะดวกแก่การพกพาไปใช้งาน

#### 1.2 วัตถุประสงค์ของโครงการ

เพื่อออกรูปแบบและสร้างตัวความคุณการอัดประจุแบตเตอรี่ชนิดคลิปเปิล ไอออนและลิเธียม ไอออนพอลิเมอร์ที่ต้องการแรงดันอัดประจุ 5 V ในกรณีใช้กับโทรศัพท์เคลื่อนที่ และที่ต้องการแรงดันอัดประจุ 4.2 V และ 8.4 V ในกรณีใช้กับกล้องถ่ายภาพดิจิตอล โดยสามารถอัดประจุได้ทั้ง พลังงานทั้งจากไฟบ้าน จากแบตเตอรี่ผ่านตัวจุดบุหรี่ในรถยนต์ และจากแสงอาทิตย์ได้

### 1.3 ขอบเขตของโครงการ

- สร้างตัวควบคุมการอัดประจุที่จ่ายแรงดันด้านออกที่มีคงที่ โดยเลือกค่าได้ที่ 4.2 V 5V และ 8.4 V และสามารถปรับค่ากระแสอัดประจุได้ในช่วง 0.3 – 2 A
  - ตัวอัดประจุสามารถรองรับไฟฟ้ากระแสสลับขนาดแรงดัน 220 V ความถี่ 50 Hz จากการไฟฟ้าฯ และไฟฟ้ากระแสตรงจากเบตเตอร์รี่โดยนิดเดือนคืน 12 V ผ่านตัวจุดบุหรี่ในรถยนต์ และจากแบงเชลล์ส่งอาทิตย์ที่มีแรงดันเปิดวงจรในช่วง 15 – 40 V
  - ออกแบบรูปแบบการอัดประจุให้เหมาะสมกับแบตเตอรี่ชนิดลิเธียม ไอออนและลิเธียม ไอออนพอลิเมอร์ที่ใช้ในโทรศัพท์เคลื่อนที่และกล้องถ่ายภาพดิจิตอล

#### 1.4 ขั้นตอนและแผนการดำเนินงาน

## 1.5 ประโยชน์ที่คาดว่าจะได้รับจากโครงงาน

ตัวควบคุมการอัดประจุแบตเตอรี่ที่สร้างขึ้น สามารถนำไปใช้ในการอัดประจุแบตเตอรี่ชนิดลิเธียม ไอออนและลิเธียม ไอออนพอลิเมอร์ของโทรศัพท์เคลื่อนที่ที่ต้องการแรงดันอัดประจุ 5 V และกล้องถ่ายภาพดิจิตอลที่ต้องการแรงดันอัดประจุ 4.2 V และ 8.4 V สามารถปรับเปลี่ยนค่ากระแสที่ใช้ในการอัดประจุแบตเตอรี่ได้อย่างเหมาะสม ซึ่งอัดประจุได้ด้วยพลังงานทั้งจากไฟบ้าน จากแบตเตอรี่รถยนต์ และจากแพงเซลล์แสงอาทิตย์ นอกจากนี้ยังสามารถพกพาไปใช้งานในสถานที่ต่างๆ ได้

## 1.6 งบประมาณ

1) วงจรตอนระดับแรงดัน	50 บาท
2) วงจรควบคุมแรงดันและการแสอัดประจุ	100 บาท
3) วงจรตัดกระแสอัดประจุ	200 บาท
4) อุปกรณ์ต่อพ่วงกับขั้วต่อด้านเข้าและด้านออก	200 บาท
5) แพงเซลล์แสงอาทิตย์รุ่น STP010S-12/kb	900 บาท
6) อะแดปเตอร์ 19 V 4.74 A	200 บาท
7) ค่าถ่ายเอกสารและเข้าเล่มปริญญาบัณฑิต รวมเป็นเงินทั้งสิ้น (สองพันหกร้อยห้าสิบบาทถ้วน) หมายเหตุ; ถ้าเฉลี่ยทุกรายการ	1,000 บาท <u>2,650 บาท</u>

## บทที่ 2

### แบตเตอรี่ชนิดลิเทียมไอออนและหลักการอัดประจุ

การอัดประจุแบตเตอรี่ในโครงงานนี้ได้ใช้ไฟจากการไฟฟ้าฯ แบตเตอร์รี่ดันต์ และแผงเซลล์แสงอาทิตย์เป็นแหล่งพลังงาน โดยออกแบบตัวควบคุมการอัดประจุให้สามารถทำงานได้อย่างเหมาะสมสำหรับอัคประจุแบตเตอรี่โทรศัพท์เคลื่อนที่และกล้องถ่ายภาพดิจิตอลซึ่งเป็นแบตเตอรี่ชนิดลิเทียมไอออนและลิเทียมไอออนพอดิเมอร์ ดังนั้นในบทนี้จึงเขียนอธิบายเนื้อหาเกี่ยวกับคุณสมบัติและหลักการอัดประจุของแบตเตอรี่ชนิดลิเทียมไอออนและลิเทียมไอออนพอดิเมอร์ แหล่งพลังงานสำหรับอัคประจุโดยเฉพาะหลักการทำงานของแบตเตอรี่ชนิดตะกั่วและเซลล์แสงอาทิตย์ รวมทั้งการแปลงผันพลังงานเพื่ออัดประจุโดยใช้วิธีร้อนระดับแรงดัน

#### 2.1 แบตเตอรี่ชนิดลิเทียมไอออน

แบตเตอรี่ชนิดลิเทียมไอออน (Li-ion) ประกอบด้วยเซลล์ที่ใช้สารประกอบของลิเทียมเป็นวัสดุในการสร้างขั้นวนวากและขั้วลบ โดยแบตเตอรี่จะมีกระบวนการแลกเปลี่ยนไอออนของลิเทียม ( $\text{Li}^+$ ) ระหว่างขั้นวนวากและขั้วลบซึ่งเคลื่อนที่ไปมาระหว่างขั้นวนวากและขั้วลบในระหว่างการอัดประจุและภายในชั้นห้องเซลล์แบตเตอรี่ โดยทั่วไปวัสดุของขั้นวนวากเป็นออกไซด์ของโลหะที่มีโครงสร้างเป็นชั้น เช่น ลิเทียม koboltต์ออกไซด์ ( $\text{LiCoO}_2$ ) หรือวัสดุที่มีโครงสร้างเป็นรูพุ่น เช่น ลิเทียมแมงกานีสออกไซด์ ( $\text{LiMn}_2\text{O}_4$ ) และมีการสะสมกระแสไฟที่แผ่นอะลูมิเนียมบาง โดยทั่วไปขั้วลบสร้างจากแกรฟไฟต์ (Graphite) หรือวัสดุที่มีโครงสร้างเป็นชั้นและมีการสะสมกระแสไฟที่แผ่นทองแดง ในขั้นตอนการอัดประจุและการถ่ายประจุ ไอออนของลิเทียมจะถูกแทรกหรือถูกดึงออกจากช่องว่างเล็กๆระหว่างชั้นอะลูมิเนียมในวัสดุนี้สาร

แบตเตอรี่ชนิดลิเทียมไอออนมีค่าพลังงานจำเพาะ (Specific energy) และค่าความหนาแน่นของพลังงาน (Energy density) สูง ทำให้แบตเตอรี่ชนิดลิเทียมไอออน เหมาะสำหรับการใช้งานที่ให้ความสำคัญกับน้ำหนักหรือปริมาตร แบตเตอรี่ชนิดลิเทียมไอออนมีอัตราการถ่ายประจุเอง (Self-discharge) ต่ำ มีอายุการใช้งาน (Cycle life) ยาวนาน และช่วงอุณหภูมิของการทำงานกว้าง ทำให้มีความหลากหลายในด้านการใช้งาน ขนาดและรูปร่างซึ่งขึ้นอยู่กับผู้ผลิต โดยทั่วไปหนึ่งเซลล์ของแบตเตอรี่ชนิดนี้มีค่าแรงดันใช้งานอยู่ในช่วง 2.5-4.2 V ซึ่งมากกว่าประมาณสามเท่าของแรงดันที่ได้จากแบตเตอรี่นิกเกิลแคนเดเมียม (NiCd) หรือนิกเกิลเมทัลไอกอเรค์ (NiMH)

อย่างไรก็ตาม ข้อเสียของแบตเตอรี่ชนิดลิเทียมไอออน คือการเสื่อมสภาพลงเมื่อใช้งานจนแรงดันต่ำกว่า 2 V และปล่อยประจุออกเมื่อเกิดการอัดประจุเกิน (Overcharge) ซึ่งแบตเตอรี่ชนิดลิเทียมไอออนไม่มีกลไกทางเคมีในการจัดการกับการอัดประจุเกินซึ่งแตกต่างจากคุณสมบัติทางเคมีของแบตเตอรี่ชนิดน้ำ โดยทั่วไปแบตเตอรี่ชนิดลิเทียมไอออนจะต้องมีวงจรและอุปกรณ์ตัดการเชื่อมต่อทางกลเพื่อป้องกันการเกิดการถ่ายประจุเกิน (Deep discharge) และการอัดประจุเกินรวมทั้งสภาพอุณหภูมิสูงเกิน แบตเตอรี่ชนิดลิเทียมไอออนจะมีการสูญเสียความสามารถอย่างถาวรที่อุณหภูมิสูง ( $65^{\circ}\text{C}$ ) แม้ว่าอัตราถ่ายประจุต่ำกว่ามากเมื่อเทียบกับแบตเตอรี่ชนิดนินิกาลแอดเมี่ยนหรือนิกาลเมทัลไอกะรด [1] ข้อดีและข้อเสียของแบตเตอรี่ชนิดลิเทียมไอออนได้สรุปไว้ในตารางที่ 2.1

ตารางที่ 2.1 ข้อดีและข้อเสียของแบตเตอรี่ชนิดลิเทียมไอออน [1]

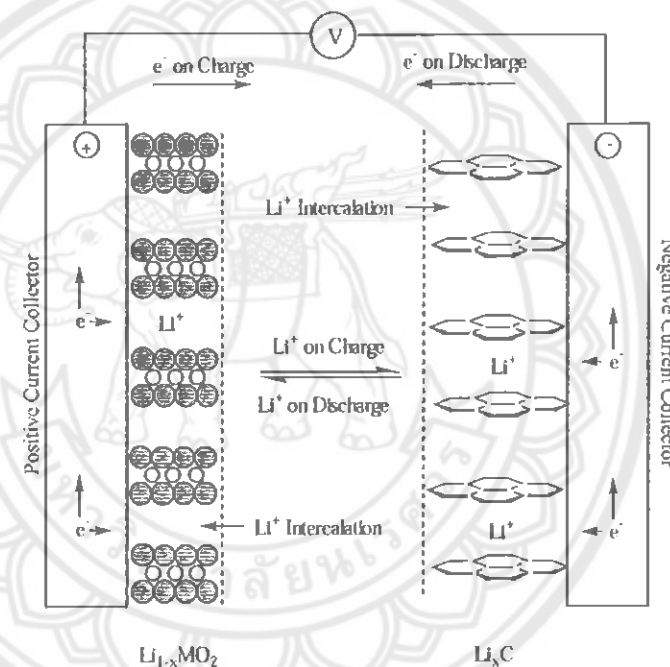
ข้อดี	ข้อเสีย
1) เซลล์ปีคพนึกไม่จำเป็นต้องมีการนำร่องรักษา	1) ราคาค่อนข้างแพง
2) อายุการใช้งานนาน	2) เสื่อมลงเมื่อใช้งานที่อุณหภูมิสูง
3) ช่วงอุณหภูมิของการทำงานกว้าง	3) ต้องการวงจรป้องกัน
4) มีอายุการเก็บรักษาได้นาน	4) สูญเสียความจุหรือเกิดความร้อนอุ่นมาเมื่อการอัดประจุเกิน
5) อัตราการถ่ายประจุต่ำ	5) เมื่อเกิดความเสียหายจะมีการปล่อยประจุและความร้อนอุ่นมา
6) สามารถอัดประจุได้อย่างรวดเร็ว	6) การออกแบบรูปทรงระบบอุ่นจะมีความหนาแน่นของพลังงานต่ำกว่านิกาลแอดเมี่ยนหรือนิกาลเมทัลไอกะรด
7) ความสามารถในการถ่ายประจุอุ่นมาอัตราที่สูงและกำลังสูง	
8) ประสิทธิภาพทางประจุและพลังงานสูง	
9) พลังงานจำเพาะและความหนาแน่นของพลังงานสูง	
10) ไม่มีผลหน่วยความจำ (Memory effect)	

### 2.1.1 คุณสมบัติทางเคมีแบตเตอรี่ชนิดลิเทียมไอออน

แบตเตอรี่ชนิดลิเทียมไอออนที่ใช้สารประกอบออกไซด์ของโลหะลิเทียมเป็นวัสดุในการสร้างขึ้นมา ซึ่งได้แก่ลิเทียมโคลอเดตออกไซด์ ลิเทียมแมงกานีสออกไซด์ และลิเทียมนิกาลออกไซด์ ( $\text{LiNiO}_2$ ) แต่ที่นิยมใช้กันมากที่สุดคือ ลิเทียมโคลอเดตออกไซด์ เพราะให้ถ่ายไฟฟ้าได้มากกว่าและมีความหนาแน่นของพลังงานสูงที่สุด ส่วนข้อลบใช้การบอนที่มีความพรุนสูง เช่น แกรไฟฟ์ เป็นส่วนประกอบที่เล็กที่สุดของแบตเตอรี่ชนิดลิเทียมไอออน ใช้เกลือของลิเทียมหรือฟอสเฟสของลิเทียมที่ละลาย

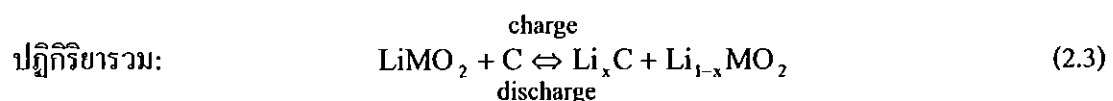
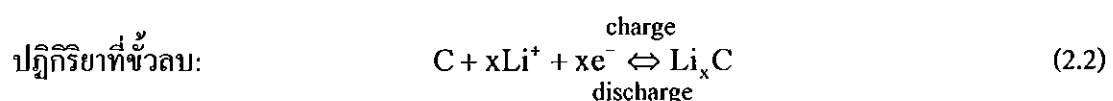
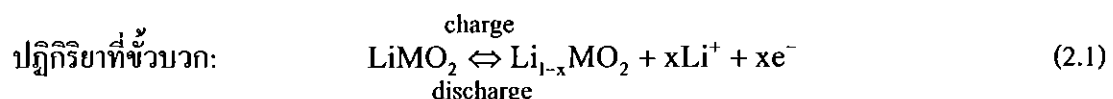
ในสารละลายนทรีย์ ในขณะที่ตัวกั้น (Separator) นิยมทำมาจากพลาสติก เช่น โพลิโพรพีลีน (Polypropylene: PP) หรือ โพลีเอทธิลีน (Polyethylene: PE)

ปฏิกิริยาทางเคมีที่เกิดขึ้นเป็นปฏิกิริยาที่ขอนกลับได้ โดยจะมีอัตราประจุ ออกไซด์ของโลหะลิเทียมที่ขั่นวนวากแตกตัวให้ไอออนของลิเทียมและอิเล็กตรอน ( $e^-$ ) ออกมาน ไอ้อนของลิเทียมเคลื่อนที่ออกจากขั่นวนวากผ่านอิเล็กโทร ไอล์ตแล้วแทรกตัวอยู่ในชั้นของการบอนที่ขั่นวน ส่วนอิเล็กตรอนเคลื่อนที่จากขั่นวนวากผ่านวงจรภายนอกไปยังขั่นวนเพื่อร่วมตัวกับไอ้อนของลิเทียม และขณะที่คายประจุจะเกิดปฏิกิริยาขอนกลับลิเทียม ไอ้อนและอิเล็กตรอนแยกตัวออกมาน ไอ้อนของลิเทียมเคลื่อนที่ออกจากขั่นวนวากผ่านอิเล็กโทร ไอล์ตไปยังขั่นวนวากและอิเล็กตรอนเคลื่อนที่จากขั่นวน ผ่านวงจรภายนอกไปยังขั่นวนเพื่อร่วมตัวกับไอ้อนของลิเทียมอีกรั้ง [1] ดังแสดงในรูปที่ 2.1



รูปที่ 2.1 กระบวนการเกิดปฏิกิริยาไฟฟ้าเคมีในเซลล์ของแบตเตอรี่ชั้นนิกลิติเทียม ไอออน [1]

ปฏิกิริยาของการอัดและคายประจุในเซลล์แบบเตอร์ชั่นนิกลิติเทียม ไอออน [1] มีดังนี้



### 2.1.2 การคายประจุของแบตเตอรี่ชั้นนิคลิเทียมไอออน

คุณลักษณะในการทำงานโดยทั่วไปของแบตเตอรี่ชั้นนิคลิเทียมไอออน ได้ระบุไว้ในตารางที่ 2.2 โดยทั่วไปแบตเตอรี่ชั้นนิคลิเทียมไอออนให้แรงดันสูงอยู่ในช่วง 2.5 – 4.2 V ซึ่งมากกว่าประมาณสามเท่าของแบตเตอรี่ชั้นนิกานิกเลคเมิร์นหรือนิกเลมทัลไธร์ด โดยมีค่าพลังงานจำเพาะมากกว่า 150 Wh/Kg และค่าความหนาแน่นพลังงานมากกว่า 400 Wh/L สามารถคายประจุได้ในอัตราสูงถึง 5C อย่างต่อเนื่องหรือกระแสพัลส์ 25C มีค่าความหนาแน่นของกำลังสูงและมีอัตราการคายประจุคงตัวจากานนี้ขึ้นกับการใช้งานหลายปีไม่มีผลหน่วยวัดความจำและมีช่วงอุณหภูมิในการทำงานกว้างโดยสามารถอัดประจุในช่วงอุณหภูมิ 20°C – 60°C และคายประจุในช่วงอุณหภูมิ -40°C – 65°C [1]

หมายเหตุ: ค่า C คือ จำนวนเท่านองความจุแบตเตอรี่ เช่น ถ้าแบตเตอรี่มีความจุ 650 mAh กระแส 1C มีค่าเท่ากับ  $1 \times 650 = 650 \text{ mA}$  ในขณะที่กระแส 0.8 C มีค่าเท่ากับ  $0.8 \times 650 = 520 \text{ mA}$

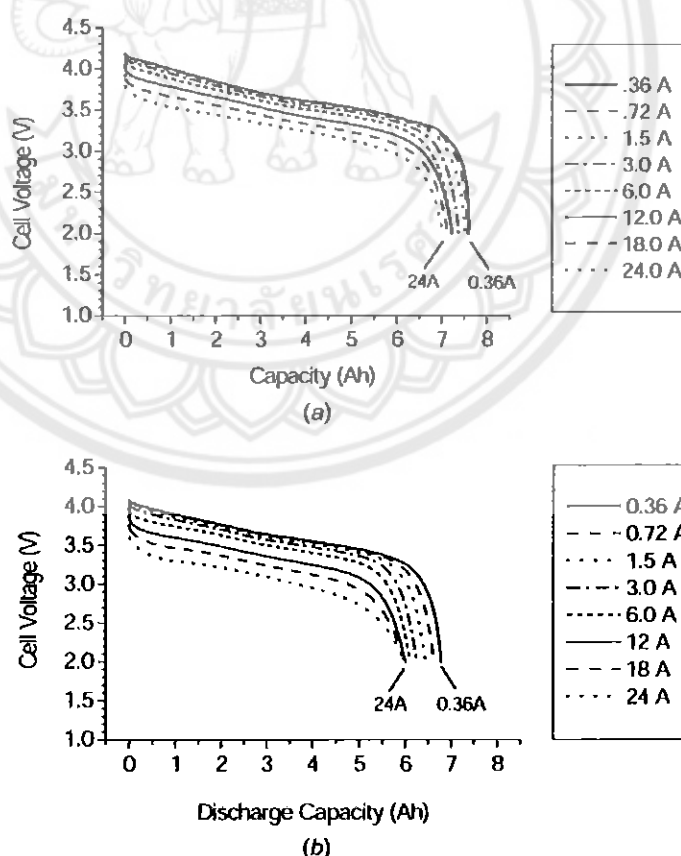
ตารางที่ 2.2 คุณลักษณะการทำงานโดยทั่วไปของแบตเตอรี่ชั้นนิคลิเทียมไอออน [1]

คุณลักษณะ	สมรรถนะ
แรงดันของเซลล์ที่ใช้งาน	2.5 V – 4.2 V
ค่าพลังงานจำเพาะ	100 – 158 Wh/kg
ค่าความหนาแน่นของพลังงาน	245 – 430 Wh/L
ความสามารถในการคายประจุ	ใช้งานปกติได้ 1C, สูงสุดได้ 5C
ความสามารถในการจ่ายกระแส (Pulse rate capability)	สูงถึง 25C
อายุการใช้งานที่ 100% ของความลึกของการคายประจุ (Depth of discharge: DoD)	โดยทั่วไป 3,000 รอบการอัดประจุ
อายุการใช้งานที่ 20% – 40% ของความลึกของการคายประจุ	มากกว่า 20,000 รอบการอัดประจุ
อายุการใช้งาน	มากกว่า 5 ปี
อัตราการคายประจุคงตัว	2% – 10% ต่อเดือน
ช่วงอุณหภูมิในการทำงาน	-40°C – 65°C
ผลหน่วยความจำ (Memory effect)	ไม่มี
ค่าความหนาแน่นของกำลัง (Power density)	2,000 – 3,000 W/L
ค่ากำลังเฉพาะ (Specific power)	700 – 1,300 W/Kg

### 2.1.3 การอัดประจุของแบตเตอรี่นิคเกิลไฮด์ริด

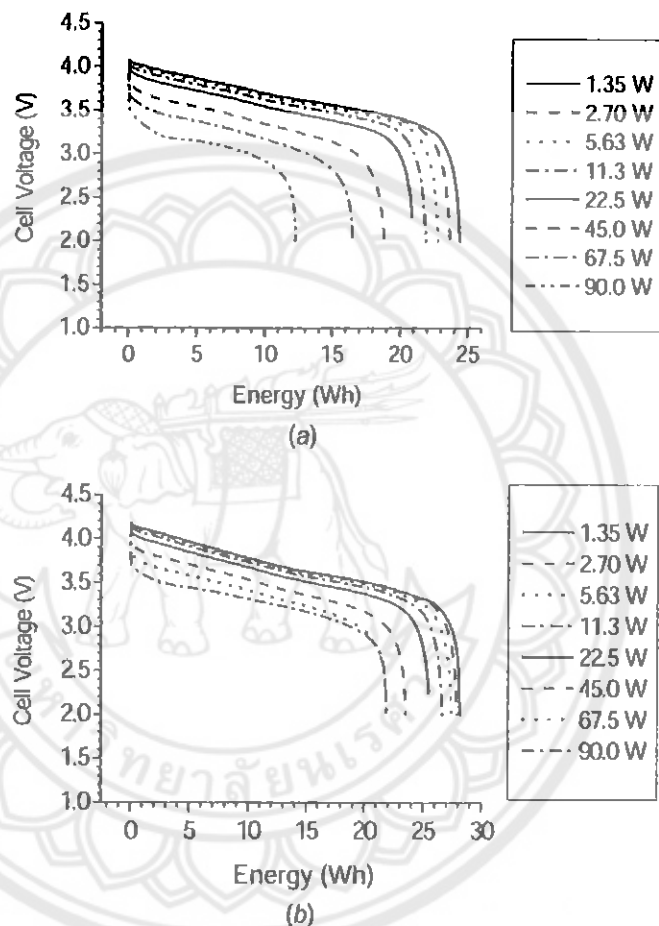
โดยทั่วไปการอัดประจุเซลล์ของแบตเตอรี่นิคเกิลไฮด์ริด ไอยอนนิยมใช้หลักการอัดประจุแบบกระแสคงที่ (Constant current: CC) หรือกระแสคงที่-แรงดันคงที่ (Constant current-constant voltage: CCCV) โดยใช้วงจรควบคุมการอัดประจุแบบเตอร์ที่อัตราการอัดประจุต่ำ (0.2C) การอัดประจุแบบกระแสคงที่ให้ผลเดียวกันกับการอัดประจุแบบกระแสคงที่-แรงดันคงที่ เมื่อแรงดันของเซลล์มีค่าเท่ากับพิกัดแรงดันแสดงว่าเซลล์ถูกอัดประจุจนเต็ม

โดยทั่วไปแรงดันที่ใช้สำหรับอัดประจุเซลล์นิคเกิลไฮด์ริดไอยอนอยู่ที่ 4.1 V หรือ 4.2 V ขณะที่เซลล์นิคเกิลไฮด์ริด koboltออกไซด์สามารถใช้ได้กับทั้งสองแรงดัน แรงดันสูงสุดการอัดประจุส่างผลต่อสมรรถนะของเซลล์นิคเกิลไฮด์ริด koboltออกไซด์ ( $\text{LiNi}_{1-x}\text{Co}_x\text{O}_2$ ) เมื่ออัดประจุเซลล์ที่ 4.2 V โดยวัสดุขั้วบวกสามารถให้ความจุสูงขึ้น แต่อาจการใช้งานและเสียร้าฟในการสะสมพลังงานลดลงเมื่อเปรียบเทียบกับการอัดประจุเซลล์ด้วยแรงดัน 4.1 V ความจุของเซลล์การันตีนิคเกิลไฮด์ริด koboltออกไซด์ที่อัดประจุด้วยแรงดัน 4.1 V และ 4.2 V สำหรับการพยายามประจุแบบกระแสคงที่แสดงในรูปที่ 2.2



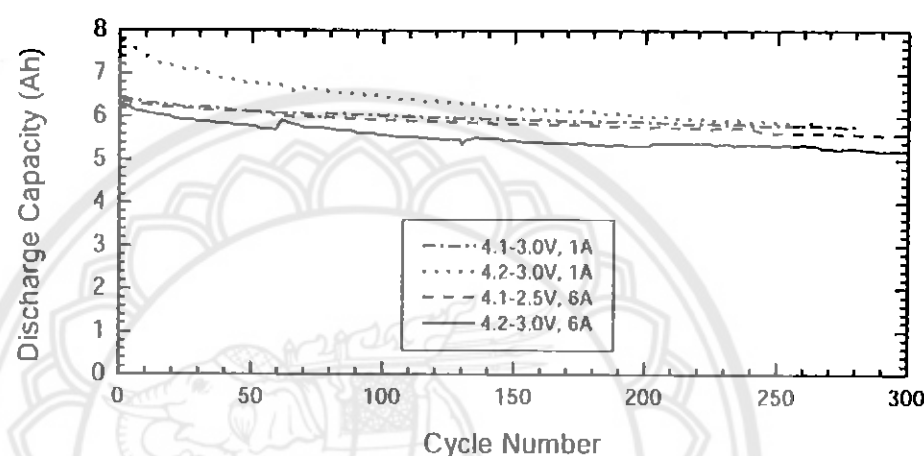
รูปที่ 2.2 การเปรียบเทียบแรงดันกับความจุสำหรับเซลล์ INCP 61/16/78 7 Ah เมื่อพยายามประจุด้วยกระแสคงที่ ที่ 25°C หลังจากการอัดประจุ (a) 4.1 V (b) 4.2 V ที่กระแส 1 A [1]

ความสามารถในการจ่ายพลังงานในช่วงการคายประจุด้วยกระแสที่แสดงในรูปที่ 2.3 จะเห็นว่าที่อัตราการอัดประจุต่ำ ( $0.1C$ ) เซลล์ที่ถูกอัดประจุด้วยแรงดัน  $4.2\text{ V}$  จ่ายพลังงานได้มากกว่าเซลล์ที่อัดประจุด้วยแรงดัน  $4.1\text{ V}$  ประมาณ 14% และที่อัตราการอัดประจุสูง ( $2C$ ) สามารถให้พลังงานมากกว่า 18% อย่างไรก็ตาม เมื่อใช้แรงดันการอัดประจุสูงขึ้น ทำให้เซลล์จ่ายพลังงานได้น้อยลง แต่ส่งผลให้การเสื่อมสภาพของเซลล์สูงขึ้นเช่นกัน

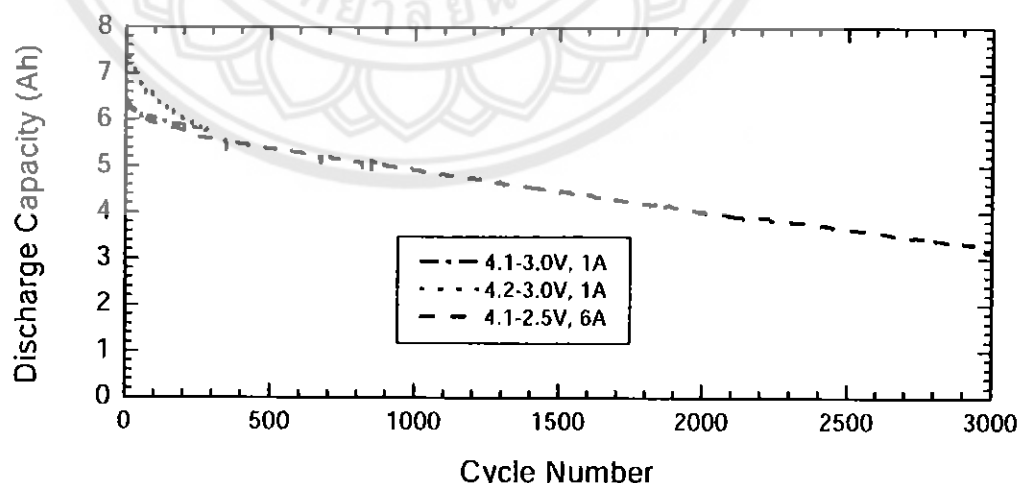


รูปที่ 2.3 การเปรียบเทียบแรงดันกับพลังงานสำหรับเซลล์ INCP 61/16/78 7 Ah เมื่อคายประจุด้วยกระแสที่  $25^\circ\text{C}$  หลังจากการอัดประจุ (a)  $4.1\text{ V}$  (b)  $4.2\text{ V}$  ที่กระแส  $1\text{ A}$  [1]

ความจุของเซลล์เมื่อคายประจุที่กระแสคงที่แสดงในรูปที่ 2.4 และรูปที่ 2.5 จะพบว่า ดึงแม่ตัวการเสื่อมสภาพของเซลล์ที่ถูกอัดประจุด้วยแรงดัน 4.2 V มีค่าสูงกว่าในช่วงการใช้งาน 300 รอบ ข้อมูลที่แสดงนี้บอกถึงสมรรถนะของเซลล์ชนิดเดียวกันที่ใช้อัตราการอัดประจุสูง (6 A) หรืออัตราการอัดประจุต่ำ (1 A) เซลล์ที่ใช้อัตราการอัดประจุต่ำจะให้พลังงานสูงกว่า อ่อนไหว ก็ตาม ความแตกต่างนี้ลดลงหลังจากใช้งาน 300 รอบ เพราะอัตราการเสื่อมสภาพของเซลล์มีค่าใกล้เคียงกัน

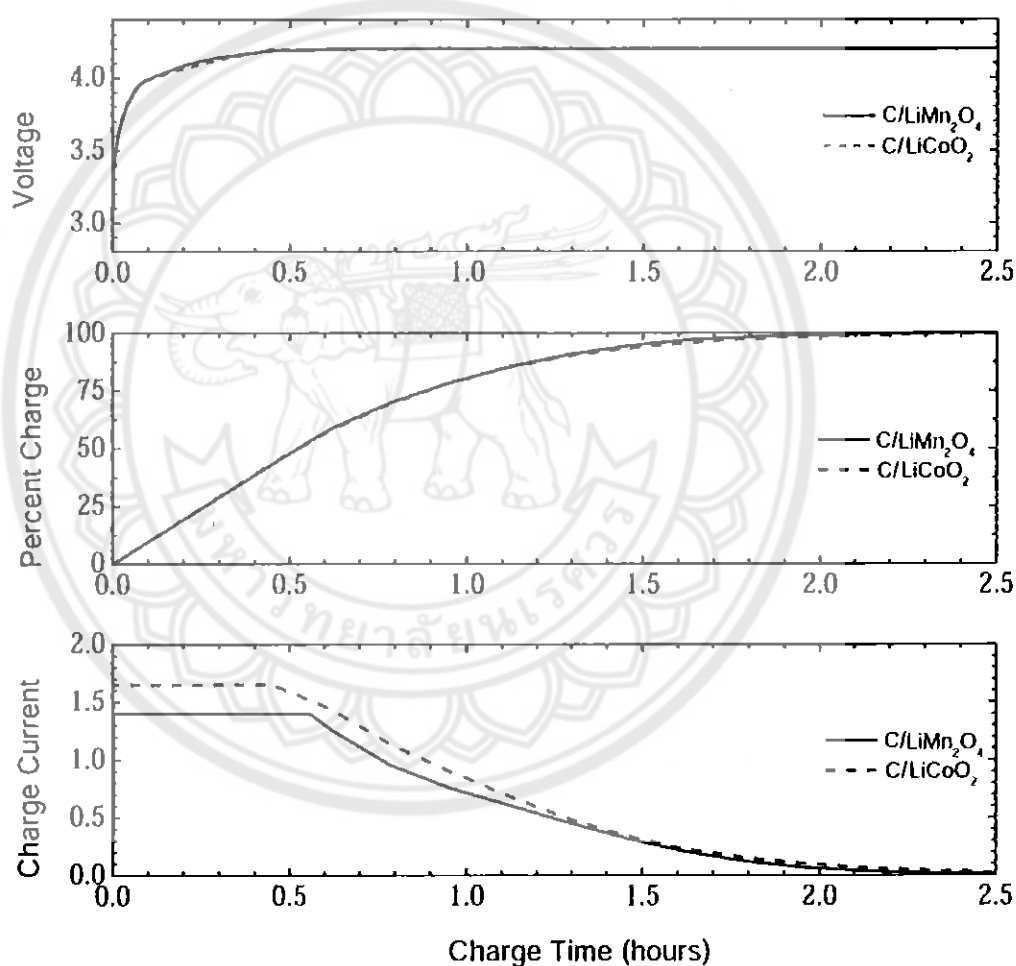


รูปที่ 2.4 ความจุของเซลล์ INCP 160/61/78 เมื่อใช้งานครบรอบด้วยกระแสคงที่ 1 A และ 6 A สำหรับการอัดประจุระหว่าง 4.1 V กับ 4.2 V และการคายประจุระหว่าง 2.5 V กับ 3.0 V ที่ 25°C [1]



รูปที่ 2.5 ความจุของเซลล์ INCP 160/61/78 เมื่ออัดประจุที่ 4.1 V กับ 4.2 V และคายประจุที่ 2.5 V กับ 3.0 V ที่ 25°C ที่ 1 A กับ 6 A โดยเซลล์ที่ใช้กระแส 1 A ใช้งานแล้ว 300 รอบ แต่ เซลล์ที่ใช้กระแส 6 A ใช้งานแล้ว 3,000 รอบ [1]

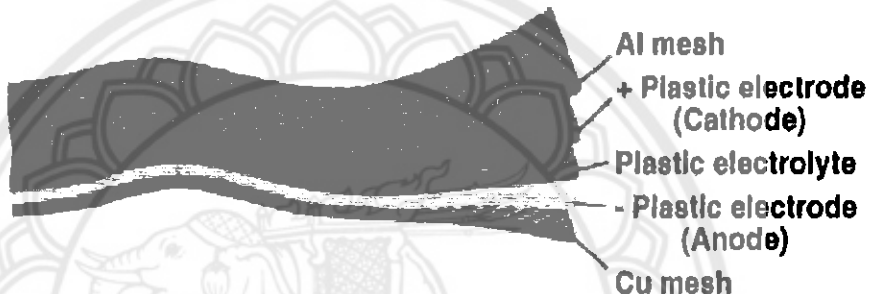
รูปที่ 2.6 แสดงข้อมูลของแรงดัน เปอร์เซ็นต์จำนวนประจุ และกระแสสำหรับการอัดประจุแบบกระแสคงที่-แรงดันคงที่ของเซลล์คาร์บอนลิเทียมแมงกานีสออกไซด์ 18650 ที่ 1.4 A โดยจำกัดแรงดันอัดประจุที่ 4.2 V และเซลล์คาร์บอนลิเทียมโคลอต์ออกไซด์ที่ 1.65 A และ 4.2 V ในขณะที่เซลล์ถูกอัดประจุในช่วงกระแสคงที่ จำนวนประจุเพิ่มขึ้นแบบเชิงเส้นจนกระทั่งขณะแรงดันเซลล์เข้าใกล้ 4.2 V ใน การอัดประจุช่วงแรงดันคงที่ กระแสมีค่าลดลงจนกระทั่งเซลล์ถูกอัดประจุจนเต็ม เซลล์ชนิดลิเทียมไออกอนมีประสิทธิภาพทางค้านประจุสูง (99.9%) และมีประสิทธิภาพทางค้านพลังงานสูง (95 – 98%) เพราะในปฏิกริยาเคมีของเซลล์ไม่มีกระบวนการสร้างแก๊สคงที่พนในเซลล์ที่มีน้ำ



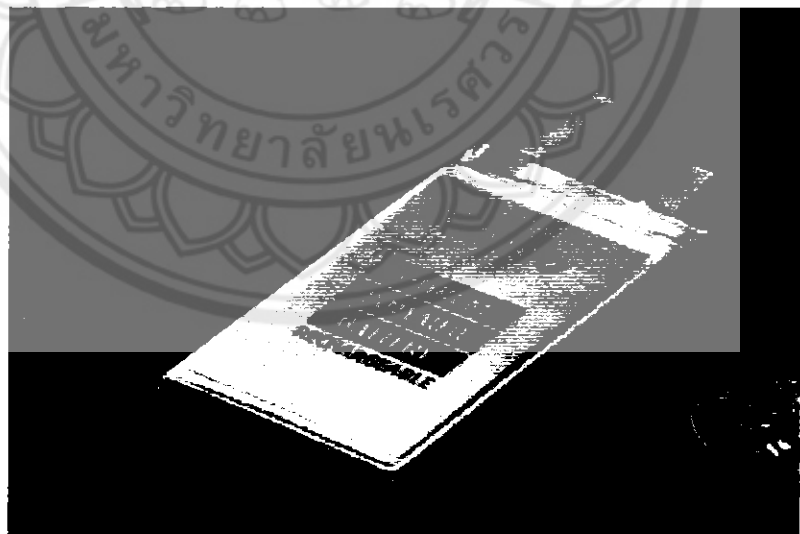
รูปที่ 2.6 ข้อมูลแรงดัน เปอร์เซ็นต์จำนวนประจุ และกระแสสำหรับเซลล์ชนิด C/LiMn<sub>2</sub>O<sub>4</sub> และเซลล์ชนิด C/LiCoO<sub>2</sub> 18650 ในการอัดประจุแบบกระแสคงที่แรงดันคงที่เป็นเวลา 2.5 ชั่วโมง ด้วยกระแสสูงสุดที่ 1.4 A กับ 1.65 A และแรงดันสูงสุดที่ 4.2 V [1]

## 2.2 แบตเตอรี่ชนิดลิเธียมไอออนพอลิเมอร์

แบตเตอรี่ชนิดลิเธียมไอออนพอลิเมอร์มีค่าพลังงานจำเพาะและความหนาแน่นของพลังงานสูง นิยมประยุกต์ใช้งานในอุปกรณ์สื่อสารชนิดพกพาได้และอุปกรณ์คอมพิวเตอร์ที่ต้องการความบาง เซลล์ชนิดลิเธียมไอออนพอลิเมอร์ใช้วัสดุเนื้อสารเหมือนกับเซลล์ชนิดลิเธียมไอออน ขั้น梧และขั้วนภายในเซลล์มีลักษณะแบบเรียบและติดกันเพื่อให้สามารถสร้างเซลล์ที่บางได้และบรรจุในฟิล์มกันดังรูปที่ 2.7 ซึ่งต่างจากการใช้เหล็กหรืออะลูมิเนียมในเซลล์ชนิดลิเธียมไอออน ที่แสดงชั้นต่างๆภายในโครงสร้าง ตัวอย่างผลิตภัณฑ์แบตเตอรี่ชนิดนี้แสดงดังรูปที่ 2.8



รูปที่ 2.7 โครงสร้างของเซลล์ชนิดลิเธียมไอออนพอลิเมอร์ [1]



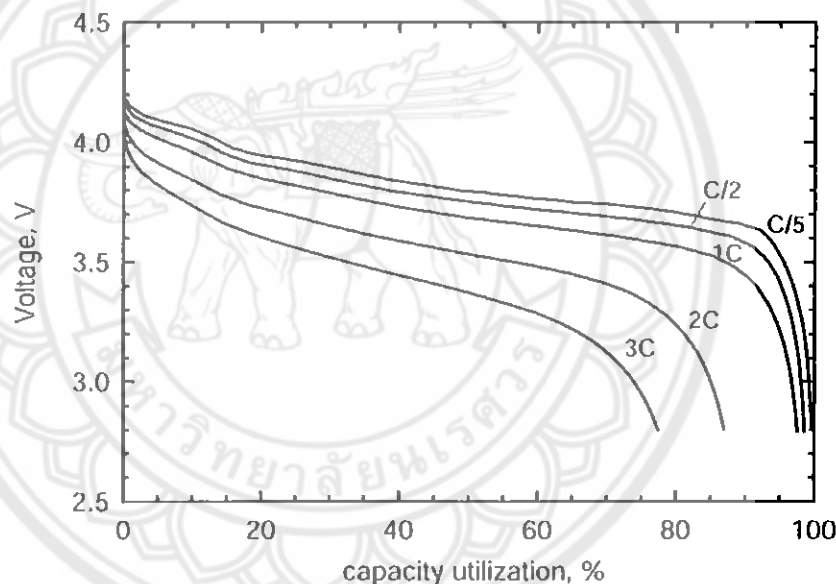
รูปที่ 2.8 แบตเตอรี่ชนิดลิเธียมไอออนพอลิเมอร์ 0.57 Ah [1]

ปัจจุบันเทคโนโลยีของแบตเตอรี่ชนิดลิเธียมไอออนพอลิเมอร์ทำให้ได้ค่าพลังงานจำเพาะและความหนาแน่นของพลังงานค่อนข้างสูงกว่าชนิดลิเธียมไอออนชนิดอิเล็กโทรไลต์เหลว แต่คุณสมบัติด้านไฟฟ้าเคมี ปริมาณตร และสัดส่วนน้ำหนักของส่วนประกอบต่างๆในเทคโนโลยี

สองอย่างนั้นยังคงเดิน ซึ่งอาจหมายความว่าสำหรับใช้งานในอุปกรณ์มือถือเพื่อให้สกุลห่อหุ้มเบาและบางกว่าที่ใช้ในแบตเตอรี่ชนิดลิเทียมไอออนโพลิเมอร์

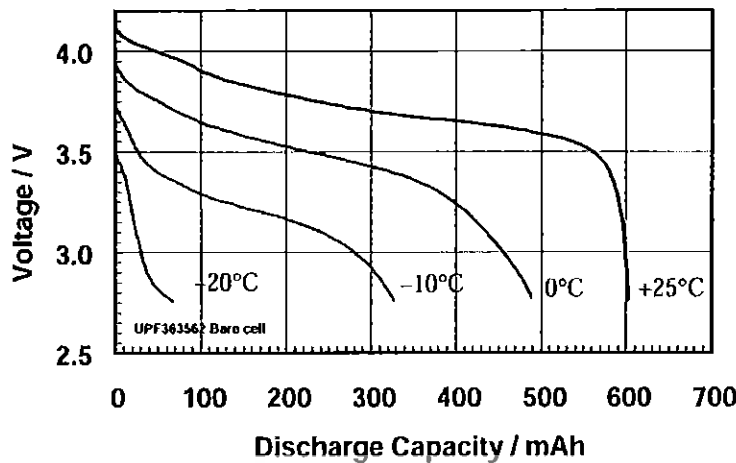
### 2.2.1 การคายประจุของแบตเตอรี่ชนิดลิเทียมไอออนโพลิเมอร์

ความสามารถในการคายประจุของแบตเตอรี่ชนิดลิเทียมไอออนโพลิเมอร์ชนิด  $\text{C}/\text{LiCoO}_2$  แสดงในรูปที่ 2.9 จากรูปจะเห็นได้ว่าการคายประจุที่ค่ากระแส  $1\text{C}$  ได้พลังงาน 95% และค่าแรงดันเฉลี่ยที่  $3.8 \text{ V}$  การคายประจุที่ค่า  $2\text{C}$  ได้พลังงาน 87% และค่าแรงดันเฉลี่ยที่  $3.55 \text{ V}$  ส่วนการคายประจุที่ค่า  $3\text{C}$  ได้ค่าพลังงานเพียง 77% และค่าแรงดันเฉลี่ยที่  $3.45 \text{ V}$  จากรูปจะเห็นว่าการคายประจุที่กระแสสูงทำให้ได้ค่าพลังงานและแรงดันเฉลี่ยของคายประจุน้อยลง โดยทั่วไปแบตเตอรี่สามารถให้พลังงานได้มากกว่า 80% ของค่าพิกัดถ้ากระแสคายประจุมีค่าน้อยกว่า  $2\text{C}$



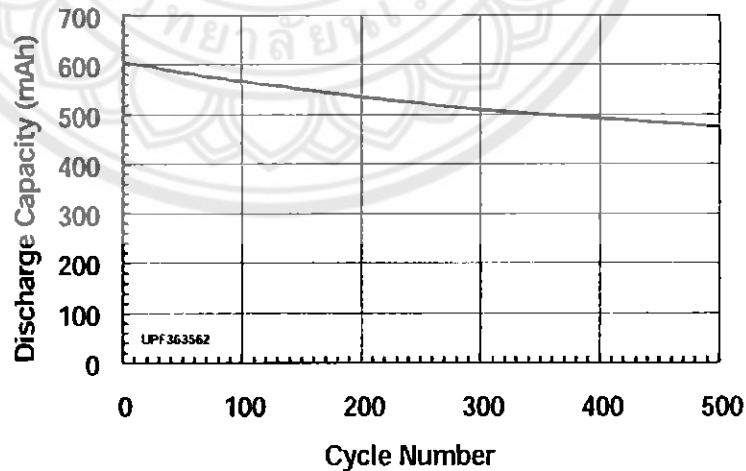
รูปที่ 2.9 การคายประจุของแบตเตอรี่ชนิดลิเทียมไอออนโพลิเมอร์ชนิด  $\text{C}/\text{LiCoO}_2$  ขนาด  $0.120 \text{ Ah}$  ที่ค่ากระแสคายประจุ  $0.2 - 3\text{C}$  ที่อุณหภูมิ  $21^\circ\text{C}$  [1]

คุณลักษณะของการคายประจุของแบตเตอรี่ชนิดลิเทียมไอออนโพลิเมอร์ที่อุณหภูมิค่าแสดงในรูปที่ 2.10 ซึ่งเป็นการทดสอบการคายประจุของแบตเตอรี่ชนิดลิเทียมไอออนโพลิเมอร์ชนิด  $\text{C}/\text{LiCoO}_2$  ขนาด  $0.57 \text{ Ah}$  ที่กระแสคายประจุ  $1\text{C}$  และระดับอุณหภูมิตั้งแต่  $-20^\circ\text{C} - +25^\circ\text{C}$  จากรูปจะเห็นได้ว่าแบตเตอรี่ให้พลังงานได้น้อยลงถ้าถูกใช้งานที่อุณหภูมิต่ำ โดยสามารถให้พลังงานได้เพียง 58% ที่อุณหภูมิ  $-10^\circ\text{C}$



รูปที่ 2.10 การคายประจุแบตเตอรี่ชนิดลิเธียมไอออนพอลิเมอร์ชนิด C/LiCoO<sub>2</sub> ขนาด 0.120 Ah ค่ากระแสคายประจุ 1C ที่อุณหภูมิตั้งแต่ -20°C – +25°C [1]

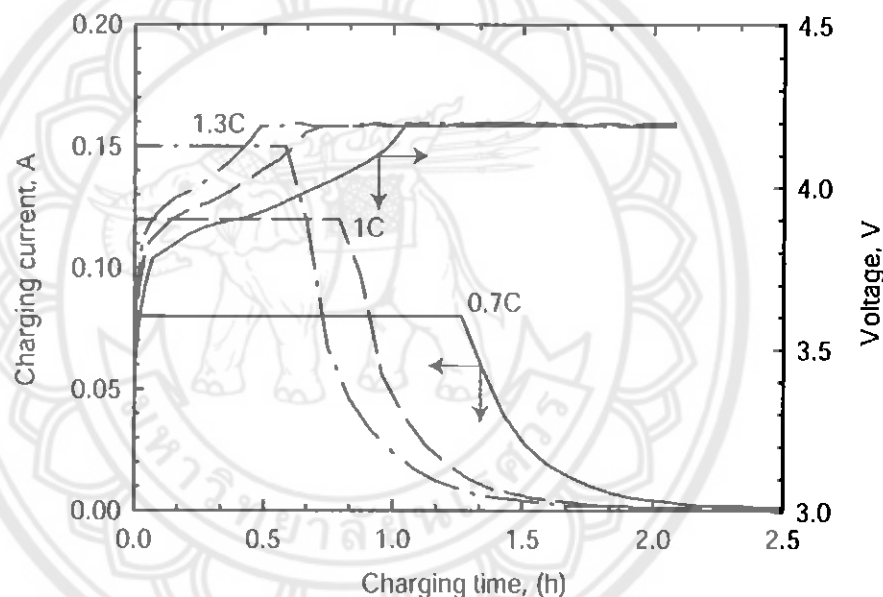
สมรรถนะด้านจำนวนรอบการใช้งานของแบตเตอรี่ชนิดลิเธียมไอออนพอลิเมอร์ชนิด C/LiCoO<sub>2</sub> ขนาด 0.57 Ah แสดงในรูปที่ 2.11 ซึ่งทดสอบโดยอัดประจุด้วยวิธี CCCV ที่แรงดัน 4.2 V ค่ากระแสอัดประจุ 1C และคายประจุที่ค่า 1C จนแรงดันของแบตเตอรี่นี้ค่าต่ำกว่า 2.57 V จึงหยุดการคายประจุ จากรูปจะเห็นได้ว่าค่าความจุของแบตเตอรี่ลดลงเพียงเล็กน้อยถึงแม้ว่ามีจำนวนรอบการใช้งานที่สูง จึงทำให้แบตเตอรี่ชนิดลิเธียมไอออนพอลิเมอร์เป็นแบตเตอรี่ที่มีอายุการใช้งานยาวนาน [1]



รูปที่ 2.11 ค่าความจุในแต่ละจำนวนรอบการใช้งานของแบตเตอรี่ชนิดลิเธียมไอออนพอลิเมอร์ชนิด C/LiCoO<sub>2</sub> ขนาด 0.57 Ah [1]

## 2.2.2 การอัดประจุของแบตเตอรี่ชั้นนิกลิเทียมไอลอนพอลิเมอร์

แบตเตอรี่ชั้นนิกลิเทียมไอลอนพอลิเมอร์ชนิด  $\text{C}/\text{LiCoO}_2$  สามารถอัดประจุโดยวิธีใช้กระแสไฟฟ้าอังก์แกรนท์-แรงคันคงที่ กระแสและแรงดันอัดประจุสำหรับแบตเตอรี่ชั้นนิกลิเทียมไอลอนพอลิเมอร์ขนาด  $0.012 \text{ Ah}$  ที่กระแสอัดประจุ  $0.7\text{C}$   $1\text{C}$  และ  $1.3\text{C}$  แสดงในรูปที่ 2.12 ในแต่ละกรณีแบตเตอรี่ถูกอัดประจุด้วยกระแสไฟฟ้าอังก์แกรนท์คงที่  $4.2 \text{ V}$  หลังจากนั้นจึงอัดประจุด้วยแรงดันคงที่ในกระแสอัดประจุมีค่าเข้าใกล้ศูนย์ จึงถือว่าแบตเตอรี่เต็ม จากรูปจะเห็นได้ว่าการอัดประจุแบตเตอรี่ที่กระแสสูงไม่ได้ช่วยให้แบตเตอรี่เต็มเร็ว เพียงแต่ช่วยให้ในช่วงแรกแรงดันของแบตเตอรี่เพิ่มสูงถึงค่าพิกัด ได้เร็วขึ้นเท่านั้น จากทั้ง 3 กรณีจะเห็นได้ว่าเวลาที่ใช้ในการอัดประจุให้เต็มนั้นมีค่าใกล้เคียงกัน



รูปที่ 2.12 การอัดประจุแบตเตอรี่ชั้นนิกลิเทียมไอลอนพอลิเมอร์ชนิด  $\text{C}/\text{LiCoO}_2$  ขนาด  $0.120 \text{ Ah}$  ที่ค่ากระแสอัดประจุ  $0.7\text{C}$   $1\text{C}$  และ  $1.3\text{C}$  ที่อุณหภูมิ  $21^\circ\text{C}$  [1]

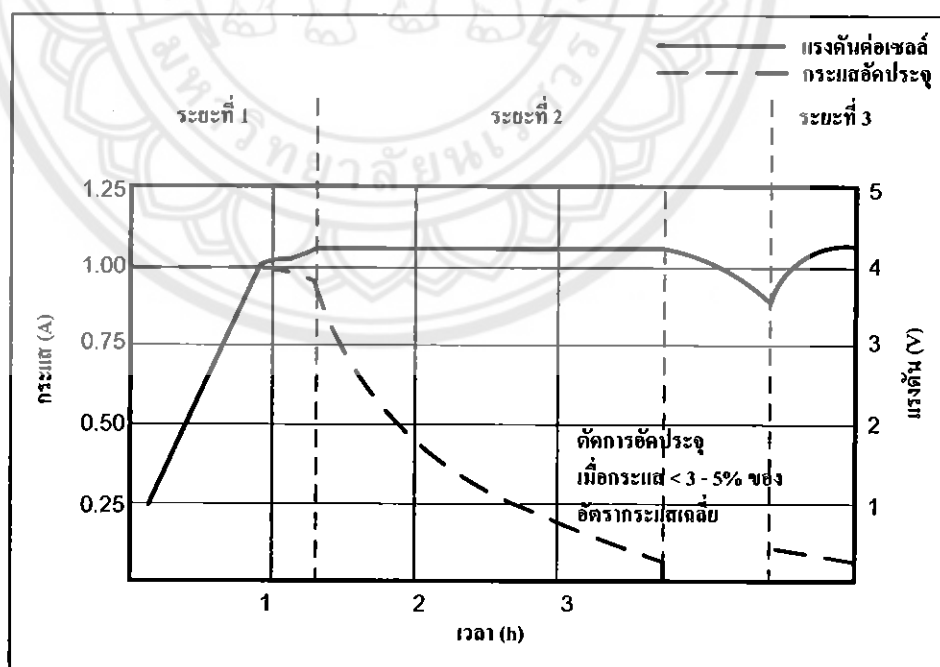
### 2.3 หลักการอัดประจุแบบเตอร์ริ่นิดลิเทียมไอออนและลิเทียมไอออนพอลิเมอร์

เซลล์ชนิดลิเทียมไอออนส่วนใหญ่ถูกอัดประจุที่แรงดัน  $4.2 \text{ V} \pm 0.05 \text{ V}$  (วงจรควบคุมการอัดประจุ จะตั้งวงจรที่  $4.3 \text{ V}$  หรือหากอุณหภูมิขึ้นถึง  $90^\circ\text{C}$ ) กระบวนการอัดประจุแบ่งออกเป็น 3 ระยะดังนี้

ระยะที่ 1: การอัดประจุด้วยกระแสคงที่ โดยจำกัดค่ากระแสสูงสุด จนเซลล์มีแรงดันสูงถึงค่าที่กำหนดไว้ ซึ่งกระแสอัดประจุที่เหมาะสมไม่ควรมากกว่าเกิน 1 เท่าของค่าความจุแบตเตอรี่ (IC)

ระยะที่ 2: การอัดประจุด้วยแรงดันคงที่ เพื่อให้แรงดันของแต่ละเซลล์ในแบตเตอรี่มีค่าสูงถึงระดับแรงดันสูงสุด ในช่วงนี้กระแสอัดประจุมีค่าลดลงซึ่งแสดงค่าวัลเด้นประนีรูปที่ 2.13 จนกระทั่งเข้าสู่สภาวะอัดประจุเต็มเมื่อกระแสอัดประจุมีค่าต่ำกว่า  $3 - 5\%$  ของอัตรากระแสเฉลี่ยแล้วจึงตัดวงจรการอัดประจุ

ระยะที่ 3: การอัดประจุแบบเติมเต็มเป็นครั้งคราว (Occasional topping charge) หลังจากที่แรงดันแบตเตอรี่ลดลงหลังจากตัดวงจรการอัดประจุแล้ว เพื่อรักษาแรงดันของแบตเตอรี่ให้เพิ่มอยู่ตลอดเวลาด้วยการเติมประจุประมาณ 1 ครั้งทุก 500 ชั่วโมง [2]



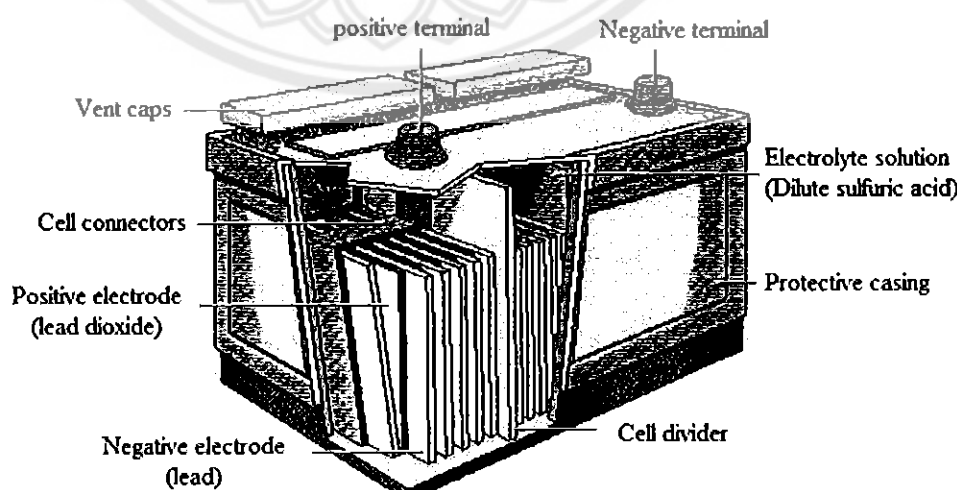
รูปที่ 2.13 การอัดประจุแบบกระแสคงที่-แรงดันคงที่ (CCCV) [2]

## 2.4 แหล่งจ่ายพลังงานที่ให้ค่าแรงดันไฟฟ้าไม่คงที่

ในโครงการนี้ได้ออกแบบให้ตัวควบคุมการอัคประจุสามารถเชื่อมต่อกับแหล่งจ่ายพลังงาน 3 ประเภท คือ ไฟกระแสสลับขนาดแรงดัน 220 V ความถี่ 50 Hz จากการไฟฟ้าฯ ไฟกระแสตรงจากแบตเตอรี่ร่องรอยต์ขนาดแรงดัน 12 V และไฟกระแสตรงจากแผงเซลล์แสงอาทิตย์ ไฟกระแสสลับที่ได้จากการไฟฟ้าฯ หรือไฟบ้าน ถือได้ว่าเป็นแหล่งจ่ายพลังงานที่ให้แรงดันคงที่ ในที่นี่ไฟบ้านจะถูกแปลงด้วยอะแดปเตอร์ให้เป็นไฟกระแสตรงขนาด 19 V ก่อนป้อนให้กับตัวควบคุมการอัคประจุ อีกทั้งไฟกระแสตรงขนาด 12 V ที่ได้จากการไฟฟ้าฯ หรือไฟบ้าน ถือได้ว่าเป็นแหล่งจ่ายพลังงานที่ให้แรงดันไม่คงที่ โดยขึ้นอยู่กับเงื่อนไขการใช้งานรวมถึงชนิดและขนาดของไฟหลอด ดังนั้นผู้ดำเนินโครงการจึงศึกษาหลักการทำงานของแหล่งจ่ายพลังงานทั้งสอง ซึ่งจะได้กล่าวต่อไป

### 2.4.1 แบตเตอรี่ชีวนิคตะกั่ว (Lead-acid batteries)

แบตเตอรี่ที่ใช้ร่องรอยต์เป็นแบตเตอรี่ชีวนิคตะกั่ว ซึ่งมีส่วนประกอบแสดงได้ดังรูปที่ 2.14 แผ่นชาตุ (Plates) ในแบตเตอรี่นี้ 2 ชนิดคือแผ่นบวกและแผ่นลบ แผ่นชาตุบวกทำจากตะกั่วออกไซด์ ( $PbO_2$ ) และแผ่นชาตุลบทำจากตะกั่ว ( $Pb$ ) วางเรียงสลับกันและกันไม่ให้แตะกันด้วยแผ่นกั้น (Separators) ซึ่งมีลักษณะเป็นรูพรุนเพื่อให้น้ำกรดหรือน้ำยาอิเล็กโทรไลต์ (Electrolyte) สามารถไหลถ่ายเทไปมาได้ และมีขนาดความกว้างยาวเท่ากับแผ่นชาตุบวกและแผ่นลบ น้ำยาอิเล็กโทรไลต์ในแบตเตอรี่เป็นน้ำกรดกำมะถันเจือจางประกอบด้วยกรดกำมะถัน ( $H_2SO_4$ ) ประมาณ 38% ความถ่วงจำเพาะของน้ำกรดมีค่า  $1.26 - 1.28$  ที่อุณหภูมิ  $20^\circ C$

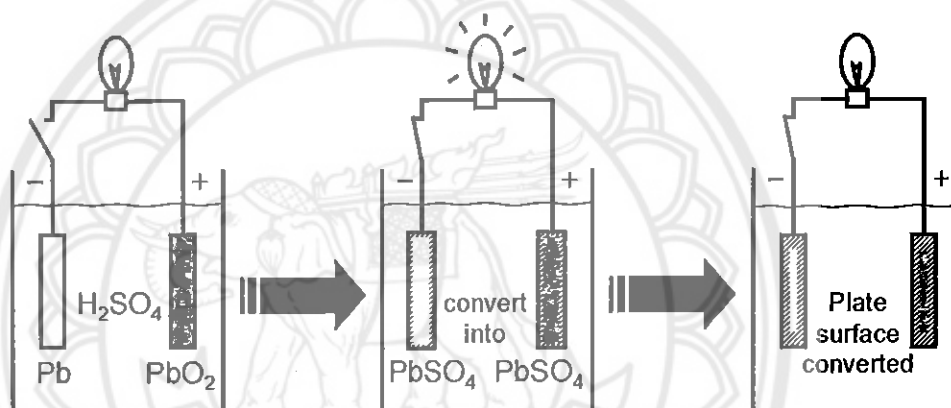


รูปที่ 2.14 โครงสร้างภายในของแบตเตอรี่ชีวนิคตะกั่ว

ที่มา: สามิตสาร ปีที่ 5 ฉบับที่ 5, กรมสรรพสามิต, 2542

เซลล์ (Cell) ในแบตเตอรี่คือช่องที่บรรจุแผ่นธาตุวากและธาตุลูบซึ่งวางสลับกันและกันด้วยแผ่นกันแล่เวลาในกรด โดยทั่วไปแบตเตอรี่จะสร้างให้เกิดแรงเกลื่อนไฟฟ้า 2 V ต่อเซลล์ ดังนั้นแรงดันไฟฟ้าของแบตเตอรี่แต่ละลูกจะขึ้นอยู่กับจำนวนเซลล์ในแบตเตอรี่นั้นๆ เช่น แบตเตอรี่ที่มี 6 เซลล์จะให้แรงดันไฟฟ้าเฉลี่ย 12 V

การเปลี่ยนแปลงทางเคมีภายในแบตเตอรี่จะแสดงดังรูปที่ 2.15 ถ้ากำหนดให้ แบตเตอรี่มีประจุเต็ม (Fully charged condition) ก่อนต่อ กับ โหลด เนื้อสารที่ขึ้นวนเป็นตะกั่ว ส่วน ขัววนกเป็นตะกั่วออกไซด์ หลังจากนำไฟล์ดมาต่อทำให้แบตเตอรี่เริ่มขายประจุโดยเนื้อสารที่ขึ้นวน และขัววนทำปฏิกิริยา กับสารละลายอิเด็กโทร ได้ตั้งนกายเป็นตะกั่วชั้นเฟด การขายประจุของ แบตเตอรี่สิ้นสุดลงเมื่อเนื้อสารทั้งขึ้นวนและขัววนกายเป็นตะกั่วชั้นเฟดทั้งหมด



รูปที่ 2.15 การเกิดปฏิกิริยาภายในแบตเตอรี่ชนิดตะกั่วเมื่อขายประจุ [3]

การเปลี่ยนแปลงทางเคมีที่เกิดขึ้นภายในแบตเตอรี่เป็นปฏิกิริยาชนิดย้อนกลับได้ (Reversible reaction) ซึ่งสามารถอธิบายได้ดังสมการเคมีต่อไปนี้



จากสมการที่ (2.4) การขายประจุจะอธิบายได้โดยการเปลี่ยนแปลงทางเคมีจากซ้ายไปขวา ในขณะที่การอัดประจุแบตเตอรี่จะอธิบายได้โดยการเปลี่ยนแปลงทางเคมีในสมการจากขวาไปซ้ายเมื่อต่อแหล่งจ่ายไฟกระแสตรงเข้ากับแบตเตอรี่

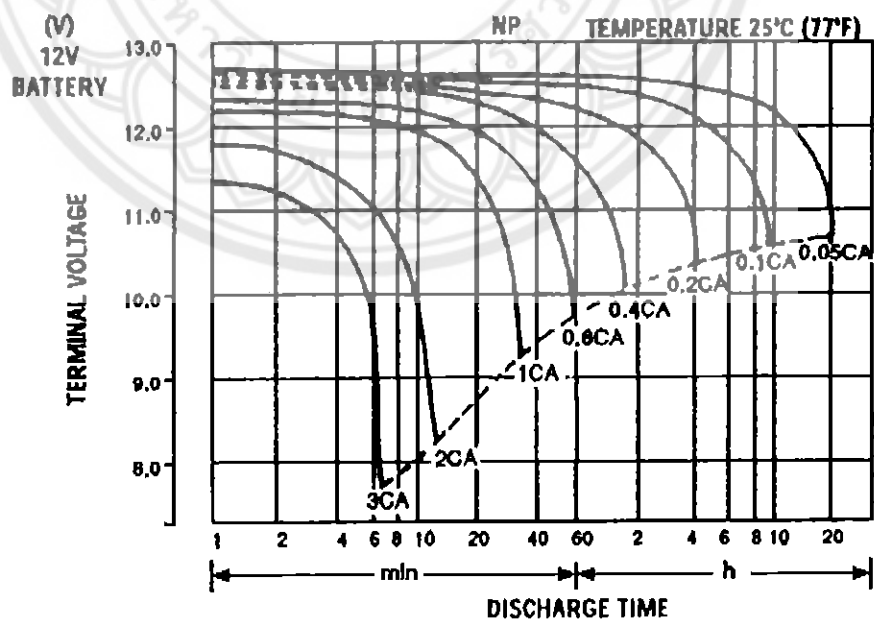
อัตราการขายประจุของแบตเตอรี่ชนิดตะกั่วไม่ควรเกิน 0.2C หรือ 20% ของความจุ ถ้า อัตราการขายประจุมากขึ้นประสิทธิภาพของมันจะลดลง แต่อย่างไรก็ตามเราไม่ควรจะขายประจุใน อัตราที่มากกว่า 1C

การใช้งานแบตเตอรี่จำเป็นต้องศึกษาปริมาณต่าง ๆ ที่เกี่ยวข้องกับแบตเตอรี่ ได้แก่

1) ความจุของแบตเตอรี่ (Battery capacity) มีหน่วยคือ “แอมป์-ชั่วโมง” (Ah) หรือ “วัตต์-ชั่วโมง” (Wh) ซึ่งบ่งบอกถึงพลังงานที่แบตเตอรี่จ่ายได้ เราสามารถคำนวณหาความจุของแบตเตอรี่ได้ด้วยการคำนวณโดยใช้ความจุที่ใช้งานได้จะเขียนอยู่กับปั๊มขี้ทาง โครงสร้างซึ่งเชื่อมโยงกับการอุดแบตเตอรี่ ได้แก่ ปริมาณของตะกั่ว ตะกั่วออกไซด์ น้ำกรด ความหนาของแผ่นโลหะ และผิวสัมผัสของโลหะ นอกจากนี้ยังเขียนอยู่ลักษณะการนำไฟไปใช้งาน ได้แก่ อุณหภูมิ ถ้าอุณหภูมิสูงขึ้นความจุของแบตเตอรี่จะเพิ่มขึ้นเนื่องจากอัตราการเกิดปฏิกิริยาเคมีจะสูงขึ้น แต่จะทำให้อายุการใช้งานสั้นลง ค่าพลังงานสูงสุดที่แบตเตอรี่จ่ายได้ ณ ค่ากระแส และอุณหภูมิค่าหนึ่งที่กำหนดโดยผู้ผลิต เรียกว่า พิกัดความจุ (Rated capacity หรือ Nominal capacity) ของแบตเตอรี่

2) จุดสิ้นสุดของการคำนวณ (End of discharge) คือระดับแรงดันที่เรายอมให้แบตเตอรี่คำนวณได้ก่อนจะสิ้นสุดกระบวนการคำนวณ จุดสิ้นสุดของการคำนวณจะเขียนอยู่กับค่ากระแส ค่าประจุคงที่ โดยผู้ผลิตดังรูปที่ 2.16 ซึ่งกราฟคุณลักษณะการคำนวณของแบตเตอรี่ชนิดตะกั่ว NP4-12 ซึ่งค่าพิกัดความจุมีค่า 4 Ah ที่กระแส 0.2 A (0.05C) อุณหภูมิ 25°C และจุดสิ้นสุดการคำนวณที่ 10.7 V จะเห็นว่าถ้าแบตเตอรี่คำนวณที่กระแสสูงกว่า 0.2 A จุดสิ้นสุดการคำนวณจะต่ำกว่านี้เนื่องจากยังมีเนื้อสารที่สามารถทำปฏิกิริยากันน้ำกรดต่อได้อีก แต่ค่าความจุที่ใช้งานได้จะลดลงจากค่าพิกัด [3]

### DISCHARGE CHARACTERISTIC CURVES



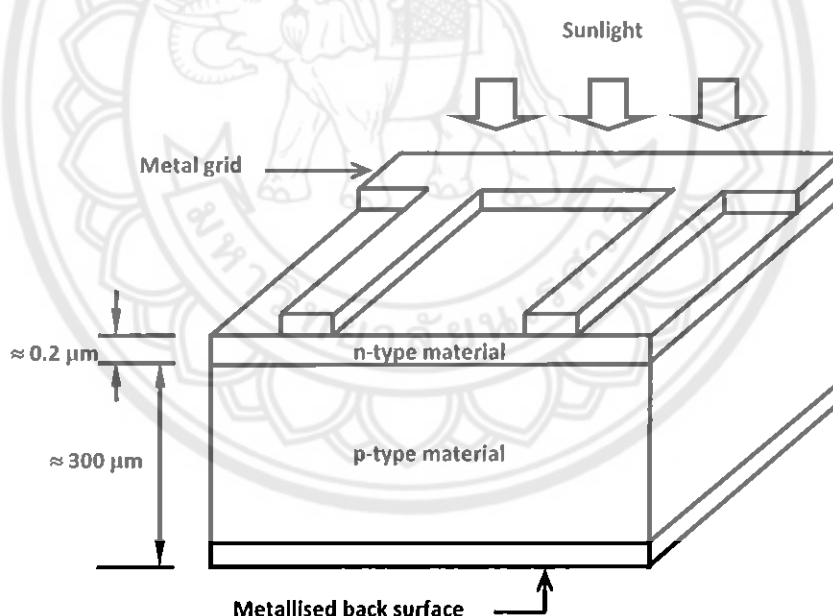
รูปที่ 2.16 เส้นโค้งคุณลักษณะการคำนวณของแบตเตอรี่ NP4-12

ที่มา: [www.yuasabatteries.com](http://www.yuasabatteries.com)

## 2.4.2 เซลล์แสงอาทิตย์

การเปลี่ยนพลังงานการแพร่รังสีแสงอาทิตย์ให้เป็นพลังงานไฟฟ้าโดยตรง สามารถเป็นจริงได้ด้วย原理การณ์แรงดันไฟฟ้าพลังแสง (Photovoltaic effect) โดยใช้เซลล์แสงอาทิตย์ (Solar cells) พลังงานการแพร่รังสีถูกส่งผ่านโดยตรงไปยังอิเล็กตรอนในเซลล์แสงอาทิตย์จากการคุกคามเนื่องจาก原理การณ์ไฟฟ้าพลังแสง (Photoelectric absorption) จะมีแรงดันไฟฟ้าเกิดขึ้นอันเป็นผลมาจากการคุกคามพลังงานที่มากระตุนวัตถุดินปืนฐานของเซลล์แสงอาทิตย์เกือบทั้งหมดที่ใช้งานกันอยู่ในปัจจุบันคือ ชิลิกอน โครงสร้างโดยทั่วไปของเซลล์แสงอาทิตย์ที่ทำมาจากชิลิกอนถูกแสดงได้ดังรูปที่ 2.17

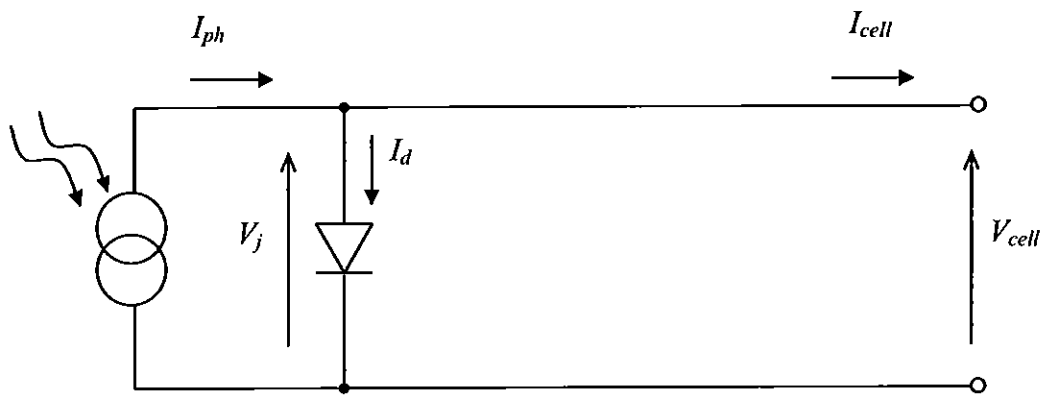
เวเฟอร์ชิลิกอนหนาประมาณ  $300 \mu\text{m}$  ประกอบด้วย 2 ชั้นที่มีคุณสมบัติทางไฟฟ้าแตกต่างกัน ชั้นส่วนมากถูกเจือด้วย硼อนและฟอฟอรัส ผิวด้านหลังของเซลล์ทำจากโลหะทั้งหมดเพื่อรับรวมประจุ ในขณะที่ด้านหน้าซึ่งเป็นส่วนรับแสงที่จะมาต่อกรอบ จะใช้เพียงกริดโลหะ 1 ชั้น เพื่อให้แสงผ่านเข้าสู่เซลล์ได้มากที่สุด โดยปกติผิวของเซลล์จะถูกเคลือบด้วยสารต้านการสะท้อนแสง (Antireflection coating) เพื่อลดความสูญเสียจากการสะท้อนให้เหลือน้อยที่สุด



Source: Fraunhofer Institute for Solar Energy Systems

รูปที่ 2.17 โครงสร้างทั่วไปของเซลล์แสงอาทิตย์ที่ทำมาจากชิลิกอน [4]

ดังที่ได้กล่าวมาแล้วข้างต้น เซลล์อาทิตย์ที่ถูกแสงจะสร้างประจุพาหะอิสระ ซึ่งทำให้เกิดกระแสไฟล์ผ่านภาระ (Load) ที่ต่ออยู่ ปริมาณประจุพาหะอิสระที่เกิดขึ้นแบ่งผันตามค่าความเข้มของแสงอาทิตย์ที่ตกกระทบ เห็นเดิวกับกระแสพลังแสง ( $I_{ph}$ ) ซึ่งเกิดภายในเซลล์แสงอาทิตย์ ดังนั้นเซลล์แสงอาทิตย์ในอุณหภูมิคงที่สามารถทดสอบด้วยวงจรสมมูลอย่างง่ายในรูปที่ 2.18

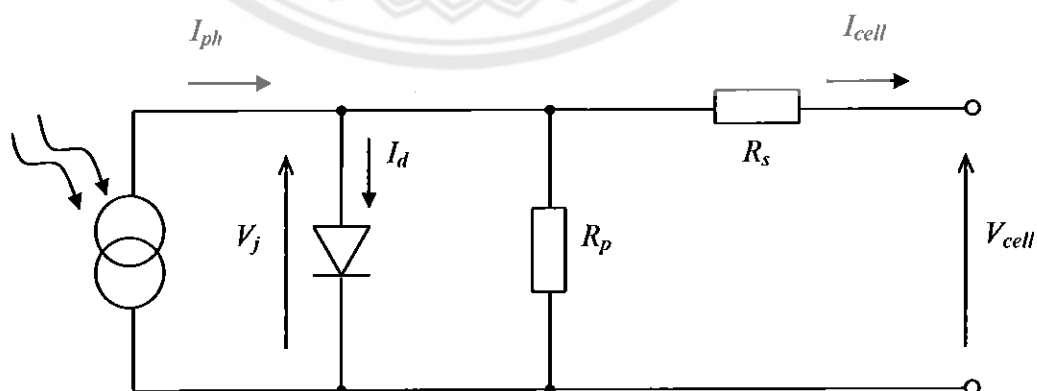


รูปที่ 2.18 วงจรสมมูลของเซลล์แสงอาทิตย์ในอุณหภูมิที่ต่อกับกระแส [4]

จากรูปที่ 2.18 จึงประกอนด้วยได้โดยที่เกิดขึ้นจากการอยู่ต่อพื้นแดะแหล่งจ่ายกระแส พลังแสง ที่มีค่ากระแสขึ้นอยู่กับค่าความเห็นของแสงอาทิตย์ ตัวด้านหน้าปรับค่าได้ถูกต่อเป็นกระแส ของเซลล์แสงอาทิตย์กระบวนการทางคณิตศาสตร์ของเซลล์แสงอาทิตย์ในอุณหภูมิที่ถูกแสดงนำไปสู่ สมการต่อไปนี้

$$I_{cell} = I_{ph} - I_D = I_{ph} - I_o \cdot \left[ \exp\left(\frac{qV_j}{AkT_{cell}}\right) - 1 \right] \quad (2.5)$$

ในสภาพความเป็นจริง เนื้อสารถึงตัวนำและหน้าสัมผัส โลหะของเซลล์แสงอาทิตย์ ก่อให้เกิดค่าความต้านทานอนุกรม  $R_s$  (Parasitic series resistance) ในวงจรสมมูลของเซลล์ แสงอาทิตย์ในขณะที่กระแสรั่ว robust ๆ ของของเซลล์ซึ่งเกิดจากความไม่สมบูรณ์ในผิวของเซลล์ และคำนวณที่เกิดจากการเชื่อมต่อหน้าสัมผัสก่อให้เกิดค่าความต้านทานขนาน  $R_p$  (Parasitic parallel resistance) ดังแสดงในรูปที่ 2.19



รูปที่ 2.19 วงจรสมมูลของเซลล์แสงอาทิตย์จริงที่ต่อกับกระแส [4]

กระแสที่ไหลผ่านໄໂໂອດในรูปที่ 2.19 สามารถรับข้อมูลสมการໄໂໂອดต่อไปนี้

$$I_d = I_o \left[ \exp\left(\frac{qV_j}{AkT_{cell}}\right) - 1 \right] \quad (2.6)$$

โดยที่  $I_o$  คือ กระแสอิมตัวข้อนกลับ (Reverse saturation current) (A)

$q$  คือ ประจุของอิเล็กตรอน ( $1.6 \times 10^{-19}$  C)

$V_j$  คือ แรงดันไฟฟ้าที่ตกคร่อมรอยต่อพีเอ็น (V)

$k$  คือ ค่าคงที่ของโบลท์มัณฑ์ ( $8.65 \times 10^{-5}$  eV/K)

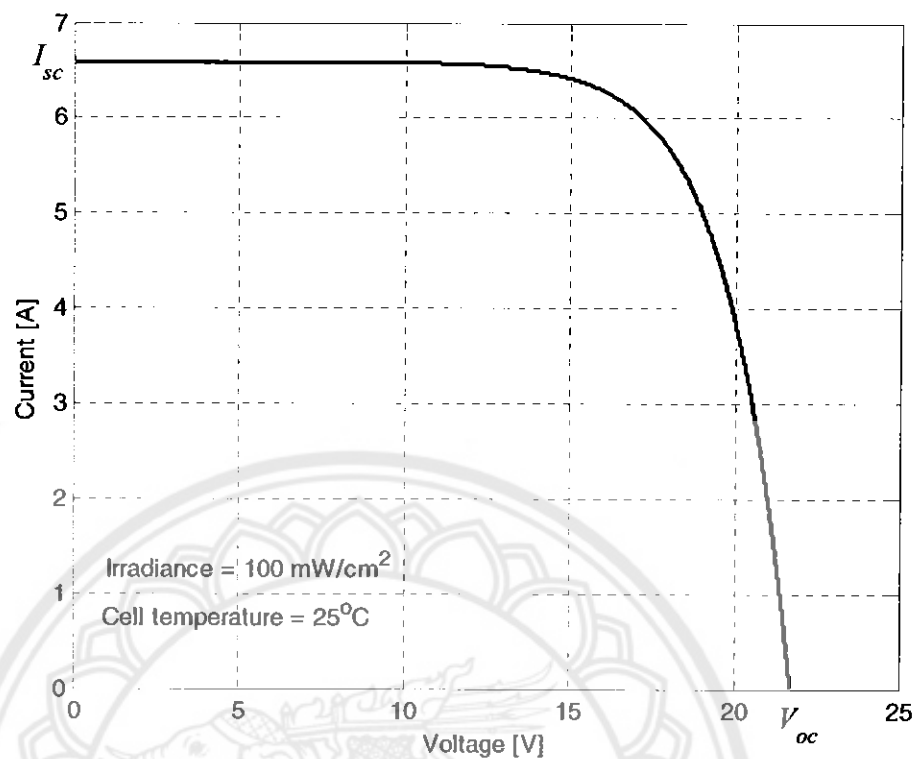
$T_{cell}$  คือ อุณหภูมิของเซลล์แสงอาทิตย์ (K)

$A$  คือ ค่าความสมบูรณ์ของรอยต่อพีเอ็น

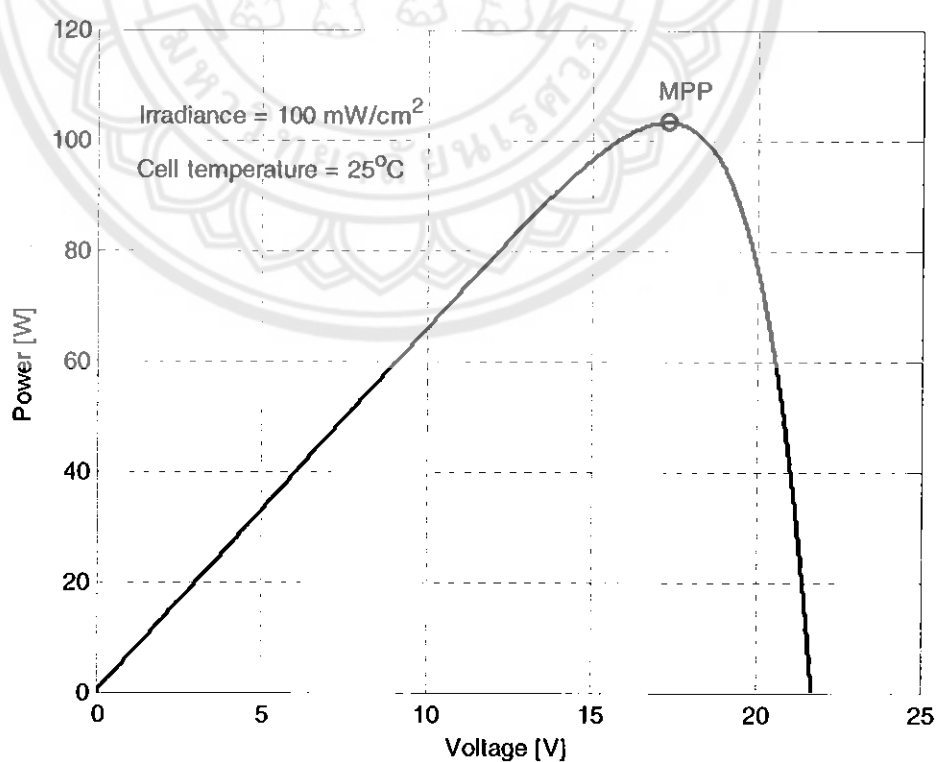
เราสามารถเขียนสมการของกระแสของเซลล์แสงอาทิตย์  $I_{cell}$  ได้ดังนี้

$$I_{cell} = I_{ph} - I_o \cdot \left[ \exp\left(\frac{q}{AkT_{cell}}(V_{cell} + R_s I_{cell})\right) - 1 \right] - \left( \frac{V_{cell} + R_s I_{cell}}{R_p} \right) \quad (2.7)$$

ลักษณะเด่น โถงคุณลักษณะกระแส-แรงดันของแพนเซลล์อาทิตย์หนึ่ง ๆ สามารถแสดงดังในรูปที่ 2.20 ภายใต้สภาพอากาศหนึ่ง ๆ แพนเซลล์แสงอาทิตย์จะกำลังด้านออกสูงสุดเมื่อทำงานที่จุดกำลังสูงสุด โดยเราคำนวณหาค่ากำลังไฟฟ้าของแพนได้จากผลคูณของกระแสและแรงดันของแพนจากรูปที่ 2.20 เราสามารถสร้างเส้นโถงคุณลักษณะกำลัง-แรงดันของแพนได้ดังรูปที่ 2.21 แพนเซลล์แสงอาทิตย์สร้างกระแสสูงสุดเท่ากับค่ากระแสลัดวงจร (Short-circuit current,  $I_{sc}$ ) เมื่อแรงดันของแพนมีค่าเท่ากับศูนย์ ซึ่งที่จุดนี้จะไม่มีกำลังด้านออกเนื่องจากผลคูณของกระแสกับแรงดันมีค่าเท่ากับศูนย์ ในทางกลับกัน ค่ากระแสด้านออกของแพนมีค่าเป็นศูนย์เมื่อแรงดันของแพนมีค่าเท่ากับแรงดันเปิดวงจร (Open-circuit voltage,  $V_{oc}$ ) ทำให้กำลังด้านออกมีค่าเป็นศูนย์เท่านั้น อย่างไรก็ตามระหว่างจุดทั้งสองดังกล่าว กำลังด้านออกของแพนมีค่ามากกว่าศูนย์ โดยจุดกำลังสูงสุดถูกแสดงด้วยวงกลมเล็กในรูป



รูปที่ 2.20 เส้นโค้งคุณลักษณะกระแส-แรงดันของแผงเซลล์แสงอาทิตย์



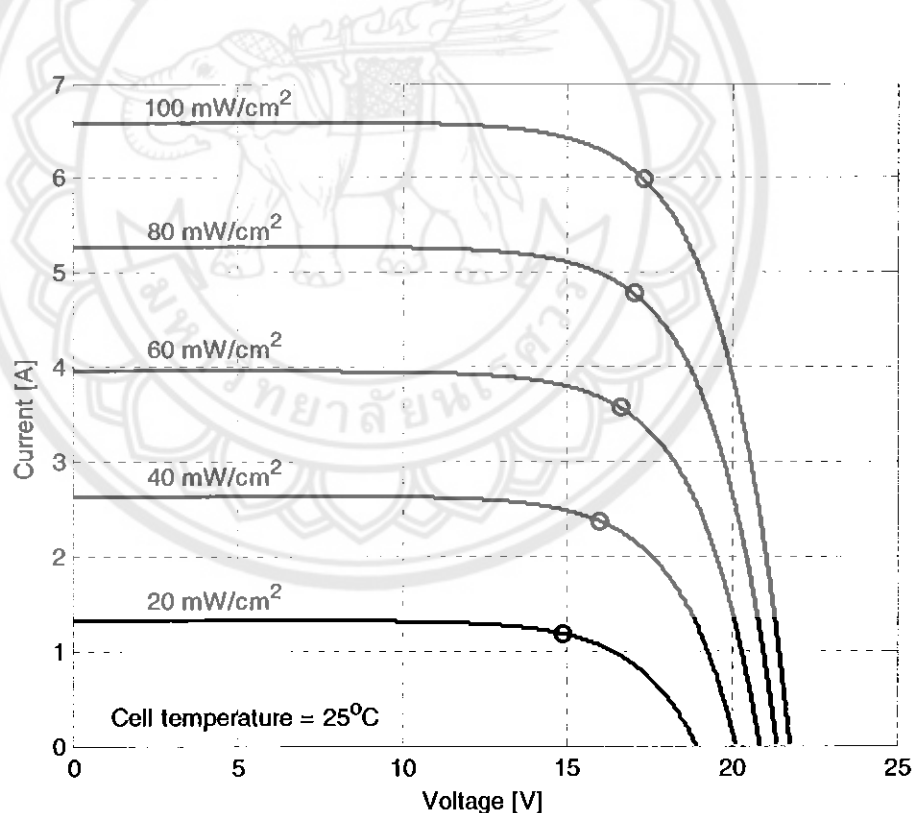
รูปที่ 2.21 ตัวอย่างเส้นโค้งคุณลักษณะกำลัง-แรงดันของแผงเซลล์แสงอาทิตย์

เส้นโค้งคุณลักษณะกระแส-แรงดันของแผงเซลล์แสงอาทิตย์ที่ระดับความเข้มแสงต่าง ๆ กันแสดงได้ดังรูปที่ 2.22 กระแสพลังแสงเปลี่ยนแปลงแบบเชิงเส้นกับค่าความเข้มแสงเมื่ออุณหภูมิของเซลล์คงที่ ดังนั้นค่ากระแสตัวคงที่จะเปรียบเทียบกับค่าความเข้มแสง

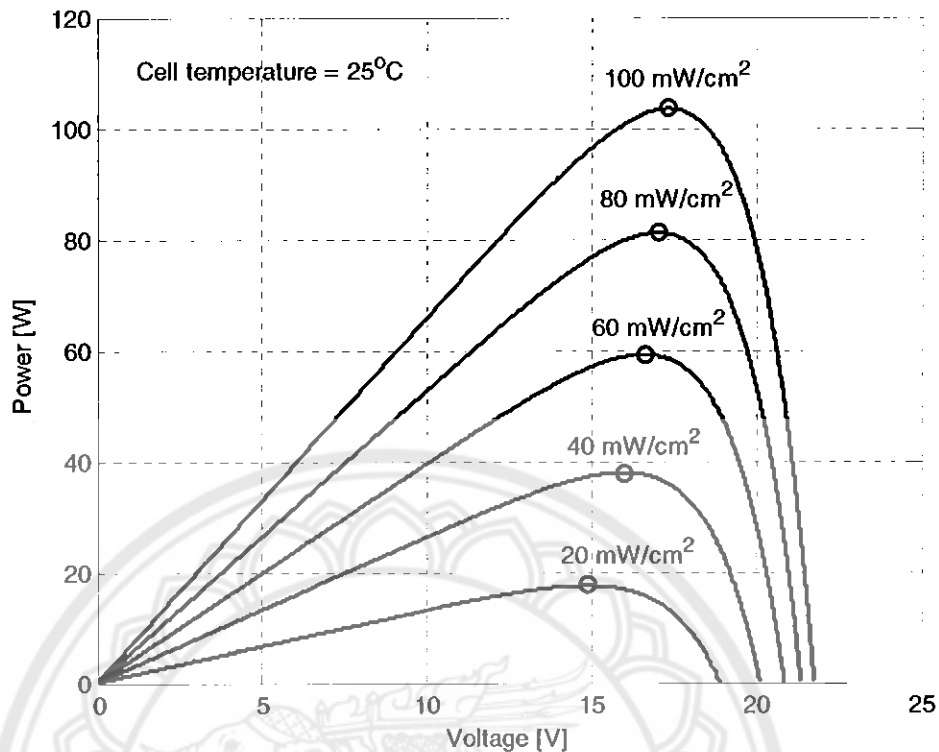
ภายใต้เงื่อนไขการเปิดวงจร (เมื่อไม่พิจารณาค่าความด้านทานนาน) จะได้

$$V_{oc} = \frac{n_s A k T_{cell}}{q} \ln\left(\frac{I_{ph}}{I_o}\right) \quad (2.8)$$

สมการที่ (2.8) แสดงให้เห็นว่าในขณะที่กระแสพลังแสงมีค่าเปรียบเทียบกับความเข้มแสงแรงดันเปิดวงจรจะเปรียบเทียบเป็นฟังก์ชันลอกริทึม เส้นโค้งคุณลักษณะกำลัง-แรงดันที่สามพันธ์กับรูปที่ 2.22 แสดงได้ดังรูปที่ 2.23 โดยจะเห็นได้ชัดว่ากำลังด้านออกของแผงมีค่าลดลงตามค่าความเข้มแสง

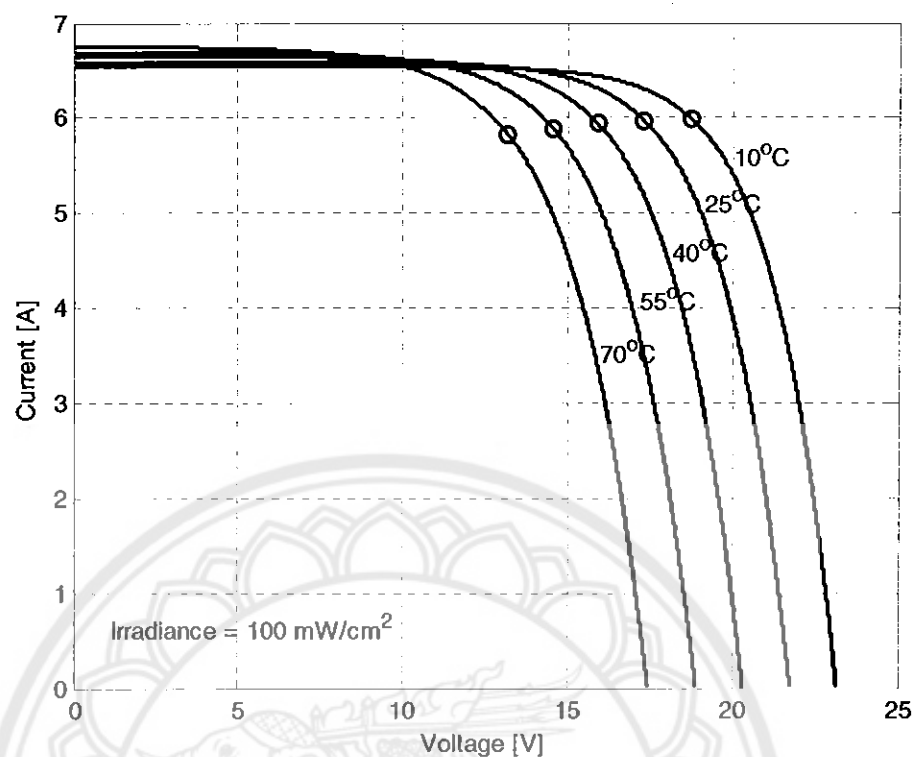


รูปที่ 2.22 ผลของความเข้มแสงต่อเส้นโค้งคุณลักษณะกระแส-แรงดัน

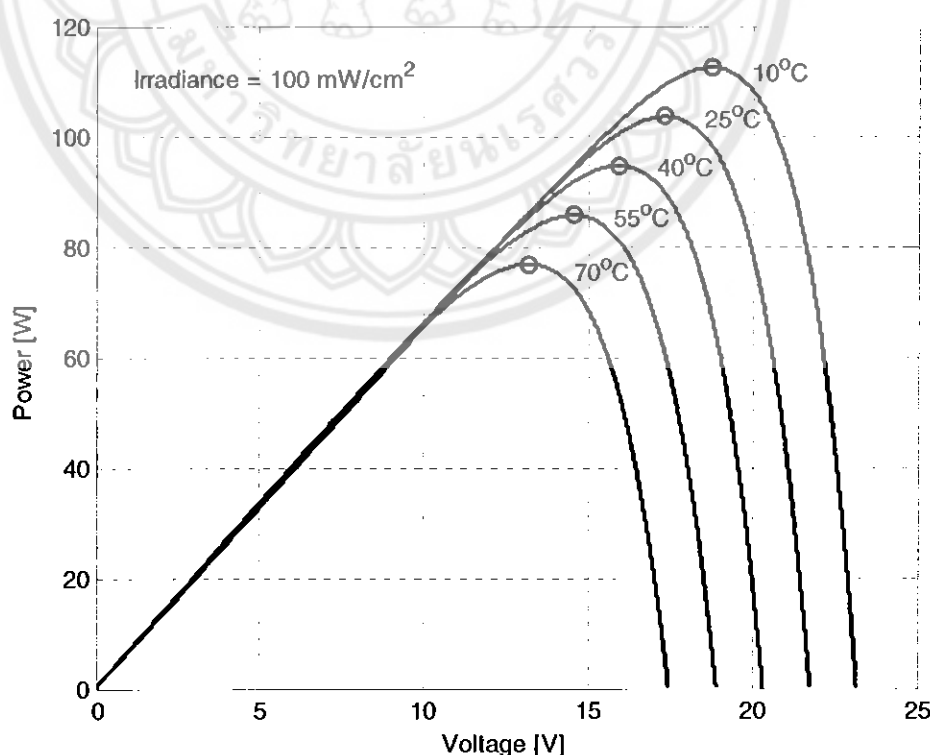


รูปที่ 2.23 ผลของการเพิ่มพลังงานต่อเส้นโค้งคุณลักษณะกำลัง-แรงดัน

คุณลักษณะของกระแส-แรงดันสำหรับค่าอุณหภูมิของเซลล์แสงอาทิตย์ที่แตกต่างกันแสดงได้ดังรูปที่ 2.24 ในขณะที่อุณหภูมิสูงขึ้นกระแสเพลิงแสงมีค่าเพิ่มขึ้นตามเพรำบช่องว่าง พลังงานแคนลงและระษะเพร่ของประจุพานะมีค่าเพิ่มขึ้น อย่างไรก็ตามการเพิ่มขึ้นของอุณหภูมิของเซลล์ส่งผลให้กระแสลดลงรวมมีค่าเพิ่มขึ้นเพียงเล็กน้อย (ประมาณ  $0.07\%/\text{°C}$  สำหรับเซลล์ที่ทำจากซิลิโคน) ในทางตรงกันข้าม แรงดันเปิดวงจรขึ้นอยู่กับอุณหภูมิอย่างมาก การเพิ่มขึ้นของอุณหภูมิทำให้กระแสอ่อนตัวข้อนกลับเพิ่มขึ้นอย่างมาก และช่องว่างแคนพลังงานแคนลง ส่งผลให้แรงดันเปิดวงจนมีค่าลดลง จากการแสดงให้เห็นในรูป แรงดันเปิดวงจนมีค่าลดลงตามอุณหภูมิในลักษณะค่อนข้างเชิงเส้นในอัตราประมาณ  $0.4\%/\text{°C}$  สำหรับเซลล์ที่ทำจากซิลิโคน ผลของอุณหภูมิที่มีต่อเส้นโค้งคุณลักษณะกำลัง-แรงดันแสดงได้ดังรูปที่ 2.25 จะเห็นว่าอุณหภูมนีผลอย่างมากต่อค่ากำลังค้านออกที่ระดับแรงดันสูงกว่าแรงดันที่จุดกำลังสูงสุด [4]



รูปที่ 2.24 ผลของอุณหภูมิต่อเส้น โกร์กุณลักษณะกระแส-แรงดัน

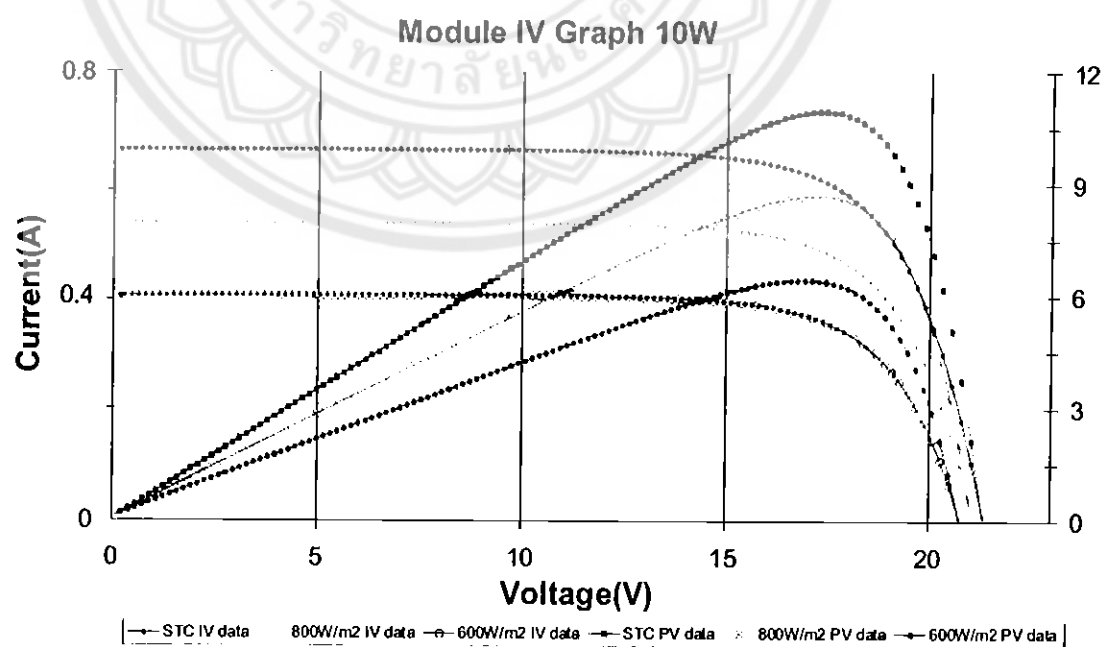


รูปที่ 2.25 ผลของอุณหภูมิต่อเส้น โกร์กุณลักษณะกำลัง-แรงดัน

แผงเซลล์แสงอาทิตย์ที่นำมาใช้ในโครงการนี้เป็นชนิดซิลิกอนผลึกเดียว (Monocrystalline silicon) ของบริษัท Suntech Power รุ่น STP010S-12/kb ซึ่งมีคุณสมบัติดังนี้

ชนิดของเซลล์ (Cell type)	ซิลิกอนผลึกเดียว
ขนาด กว้าง×ยาว×สูง (Dimension)	310×366×18 mm
น้ำหนัก (Weight)	1.5 kg
จำนวนเซลล์และการเชื่อมต่อ (No. of cells and connections)	36 (4×9)
แรงดันเปิดวงจร (Open circuit voltage: $V_{oc}$ )	21.6 V
แรงดันที่มุกกำลังสูงสุด (Optimum operating point voltage: $V_{mpp}$ )	17.2 V
กระแสสั้นวงจร (Short circuit current: $I_{sc}$ )	0.66 A
กระแสที่มุกกำลังสูงสุด (Optimum operating point current: $I_{mpp}$ )	0.58 A
กำลังสูงสุดภายใต้เงื่อนไข STC (Maximum power at STC: $P_{mpp}$ )	10 Wp
อุณหภูมิขณะใช้งาน (Operating temperature)	-40 – 80°C
ระดับแรงดันสูงสุดของระบบ (Maximum system voltage)	715 V
หมายเหตุ STC: ความเข้มแสง 1000 W/m <sup>2</sup> อุณหภูมิของแสง 25°C และมวลอากาศ = 1.5	

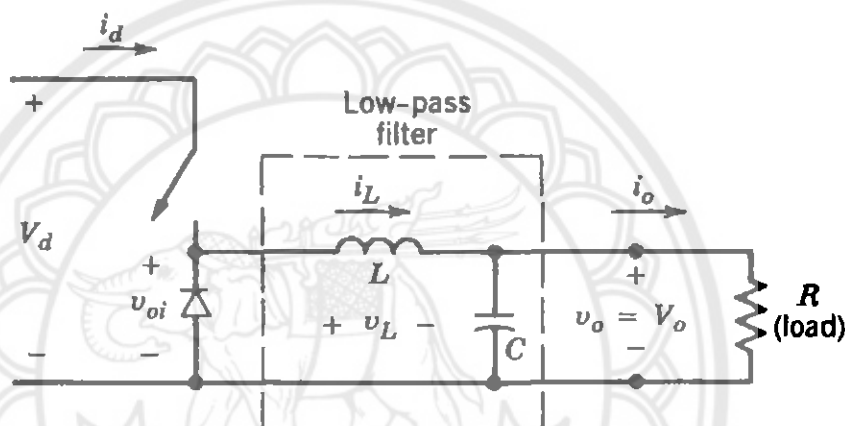
เส้นโค้งคุณลักษณะของกระแส-แรงดันรวมทั้งเส้นโค้งคุณลักษณะของกำลัง-แรงดันของแผงเซลล์แสงอาทิตย์รุ่น STP010S-12/kb แสดงได้รูปที่ 2.26



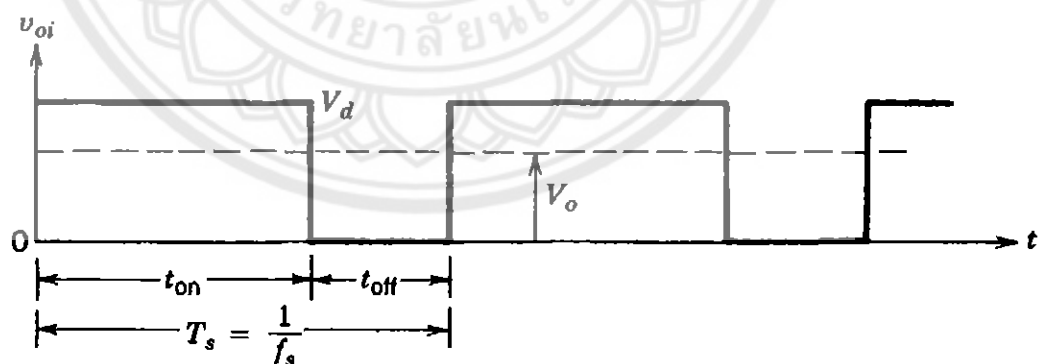
รูปที่ 2.26 เส้นโค้งคุณลักษณะของแผงเซลล์แสงอาทิตย์รุ่น STP010S-12/kb  
ที่มา: Suntech Power

## 2.5 วงจรตอนระดับแรงดัน

วงจรตอนระดับแรงดัน (Step-down converter หรือ Buck converter) มีหน้าที่สร้างแรงดันด้านออกที่มีค่าเฉลี่ยต่ำกว่าแรงดันด้านเข้า นิยมนำไปใช้ในแหล่งจ่ายกำลังกระแสตรงและการควบคุมความเร็วของมอเตอร์กระแสตรง แผนภาพวงจรตอนระดับแรงดันซึ่งมีโหลดเป็นตัวด้านทานแสดงได้ดังรูปที่ 2.27 แรงดันด้านออกถูกกรองสัญญาณ (ทำให้เรียบ) ด้วยวงจรกรองผ่านความถี่ต่ำ สมนติให้สวิตช์มีคุณสมบัติในอุดมคติ และแรงดันด้านเข้ามีค่าคงที่ ถ้าไม่มีวงจรกรองผ่านความถี่ต่ำแรงดันด้านออกจะเท่ากับแรงดันต่ำที่ได้โดย  $v_{oi}$  ซึ่งมีรูปคลื่นสัญญาณเป็นฟังก์ชันของตำแหน่งหน้าสัมผัสของสวิตช์ดังรูปที่ 2.28



รูปที่ 2.27 แผนภาพวงจรตอนระดับแรงดัน [5]



รูปที่ 2.28 รูปสัญญาณแรงดันด้านออกของวงจรตอนระดับแรงดันเมื่อไม่มีวงจรกรอง [5]

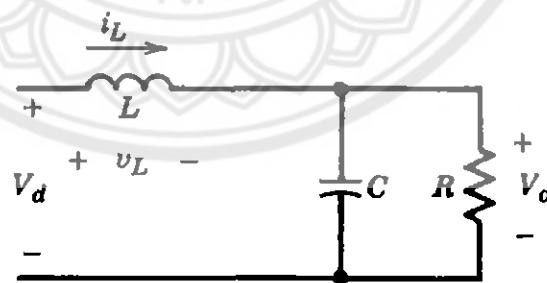
ตัวกรองผ่านความถี่ต่ำซึ่งประกอบด้วยตัวเหนี่ยวนำและตัวเก็บประจุอย่างละหนึ่งตัว สามารถลดการเปลี่ยนแปลงขั้นลงของสัญญาณด้านออกได้โดยทำจัดส่วนประกอบ harmonic ออกไปในสัญญาณ  $v_{oi}$  โดยมีเป้าหมายคือให้เหลือเฉพาะส่วนประจุอย่างลักษณะของ  $v_{oi}$  (นั่นคือ  $V_o$ ) ไปสู่โหลด เราคำนวณค่าเฉลี่ยของแรงดันด้านออกในรูปของค่าวัดใช้เกลิดังนี้

$$V_o = \frac{1}{T_s} \int_0^{T_s} v_{oi} dt = \frac{1}{T_s} \int_0^{t_{on}} V_d dt = \frac{t_{on}}{T_s} V_d = DV_d \quad (2.9)$$

- โดยที่
- $V_o$  คือ ค่าเฉลี่ยของแรงดันด้านออก (V)
  - $V_d$  คือ ค่าเฉลี่ยของแรงดันด้านเข้า (V)
  - $D$  คือ ค่าดิวตี้ไซเคิล
  - $t_{on}$  คือ ระยะเวลาที่สวิตช์นำกระแสใน । คานสวิตชิ่ง (s)
  - $T_s$  คือ คานสวิตชิ่ง (s) =  $1/f_s$
  - $f_s$  คือ ความถี่สวิตชิ่ง (Hz)

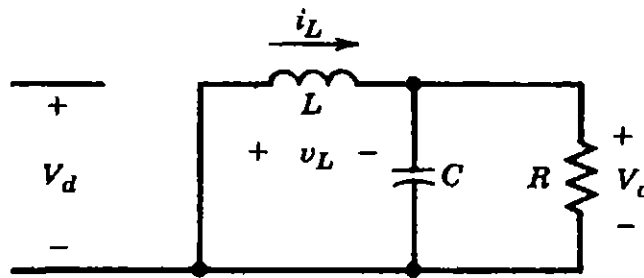
จะเห็นว่า การปรับเปลี่ยนค่าดิวตี้ไซเคิลของสวิตช์จะทำให้เราสามารถควบคุม  $V_o$  ได้ สำหรับการวิเคราะห์การทำงานในสถานะอยู่ตัวของวงจรตอนระดับแรงดัน เราสมมติให้ ตัวเก็บประจุมีค่าสูง ซึ่งสอดคล้องกับการใช้งานจริงทั่วไปที่ต้องการให้แรงดันด้านออกมีค่าเกือบคงที่ และพิจารณาการทำงานของวงจร ในแบบวิธีการนำกระแสต่อเนื่อง (Continuous conduction mode; CCM) นั่นคือไม่มีช่วงใดที่กระแสของตัวเหนี่ยวนำมีค่าเป็นศูนย์ ( $i_L > 0$ )

การทำงานของวงจรตอนระดับแรงดันในขณะที่สวิตช์นำกระแสแสดง ได้ด้วยวงจร สมมูลคังรูปที่ 2.29 เมื่อสวิตช์นำกระแสในช่วงระยะเวลา  $t_{on}$  ໄດ้โดยได้รับไบเอสข้อน ส่งผลให้เกิด แรงดันต่อกันต่อมตัวเหนี่ยวนำมีค่าเป็นบวก ทำให้กระแสของตัวเหนี่ยวนำมีค่าเพิ่มขึ้นแบบเชิงเส้น จึงเกิดการสะสมพลังงานในตัวเหนี่ยวนำ ในช่วงนี้แหล่งกำเนิดจ่ายพลังงานให้กับตัวเหนี่ยวนำและ โหลด



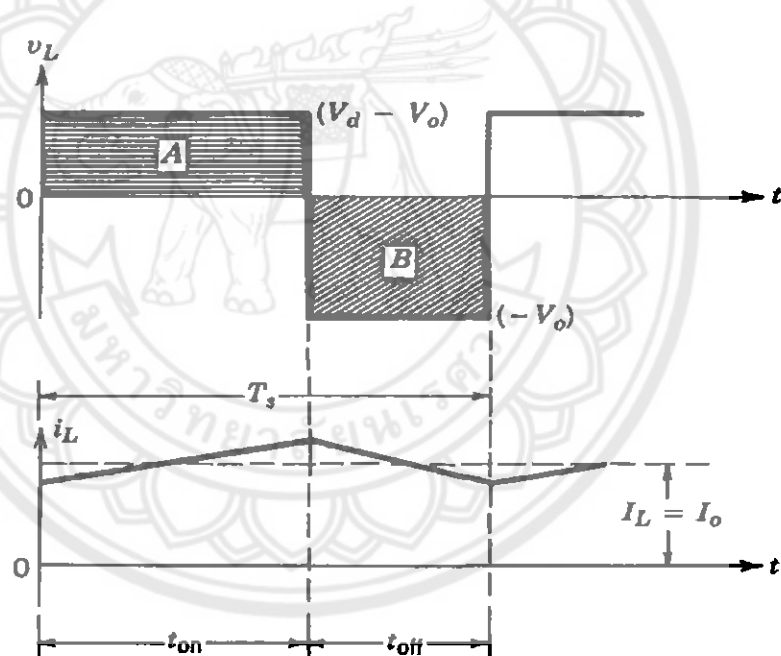
รูปที่ 2.29 วงจรสมมูลของวงจรตอนระดับแรงดันเมื่อสวิตช์ปิด [5]

การทำงานของวงจรตอนระดับแรงดันในขณะที่สวิตช์ไม่นำกระแสแสดง ได้ด้วยวงจร สมมูลคังรูปที่ 2.30



รูปที่ 2.30 วงจรสมมูลของวงจรทอนระดับแรงดันเมื่อสวิตซ์เปิด [5]

ในขณะที่สวิตซ์หุค้นำกระแสเป็นระยะเวลา  $t_{off}$  พลังงานที่สะสมในตัวเหนี่ยวนำจะทำให้ได้อุดหนากระแส (ทำหน้าที่เป็นไดโอดพรีวิลลิ่ง) กระแสของตัวเหนี่ยวนำจึงยังคงไหลต่อเนื่องโดยไฟลผ่านไดโอดเพื่อส่งผ่านพลังงานที่สะสมไว้ไปยังโหลด ในช่วงนี้แรงดันตกคร่อมตัวเหนี่ยวน้ำมีค่าเป็นลบ กระแสของตัวเหนี่ยวน้ำมีค่าลดลงแบบเชิงเส้นดังรูปที่ 2.31



รูปที่ 2.31 แรงดันและกระแสของตัวเหนี่ยวน้ำในวงจรทอนระดับแรงดันในสถานะอยู่ตัว [5]

ในสถานะอยู่ตัว ค่าเฉลี่ยของแรงดันตกคร่อมตัวเหนี่ยวน้ำต้องเป็นศูนย์

$$\int_0^{T_s} v_L dt = \int_0^{t_{on}} v_L dt + \int_{t_{on}}^{T_s} v_L dt = 0$$

$$(V_d - V_o)t_{on} = V_o(T_s - t_{on})$$

$$\frac{V_o}{V_d} = \frac{t_{on}}{T_s} = D \quad (2.10)$$

ถ้าไม่พิจารณากำลังสูญเสียในตัวแปลงผันฯ จะได้กำลังด้านเข้า ( $P_{in}$ ) มีค่าเท่ากับกำลังด้านออก ( $P_{out}$ )

$$\begin{aligned} P_{in} &= P_{out} \\ V_d I_d &= V_o I_o \\ \frac{V_o}{V_d} &= \frac{I_d}{I_o} = D \end{aligned} \quad (2.11)$$

โดยที่  $I_o$  คือ ค่าเฉลี่ยของกระแสด้านออก (A)  
 $I_d$  คือ ค่าเฉลี่ยของกระแสด้านเข้า (A)

จะพบว่าค่าเฉลี่ยของแรงดันด้านออกมีค่าต่ำกว่าแรงดันด้านเข้า วงจรตอนระดับแรงดันซึ่งทำตัวสมมือนเป็นหน้อแปลงไฟฟ้ากระแสตรง (DC transformer) โดยปรับค่าตัวแปร  $D$  (0 ≤  $D$  ≤ 1) ในวงจรตอนระดับแรงดัน ค่าเฉลี่ยของกระแสของตัวหนีบวนน้ำ  $I_L$  มีค่าเท่ากับค่าเฉลี่ยของกระแสด้านออก  $I_o$  เพราะค่าเฉลี่ยของกระแสของตัวเก็บประจุในสถานะอยู่ตัวมีค่าเป็นศูนย์ ค่าประสิทธิภาพของวงจรตอนระดับแรงดันหาได้จากสมการที่ (2.12)

$$\eta = \frac{P_o}{P_d} = \frac{V_o I_o}{V_d I_d} \quad (2.12)$$

ความคลื่วของแรงดันด้านออก (Output voltage ripple) แสดงดังรูปที่ 2.32 และคำนวณได้โดยพิจารณาให้ส่วนความคลื่วของ  $i_L$  ให้ผ่านตัวเก็บประจุ และค่าเฉลี่ยของ  $i_L$  ให้ไปที่โอลด์เจนรูปที่ 2.32 เราสามารถประมาณค่ายอดถึงยอด (Peak-to-peak value) ของความคลื่วของแรงดันด้านออก ( $\Delta V_o$ ) ได้จาก

$$\Delta V_o = \frac{\Delta Q}{C} = \frac{1}{C} \left( \frac{1}{2} \cdot \frac{\Delta I_L}{2} \cdot \frac{T_s}{2} \right)$$

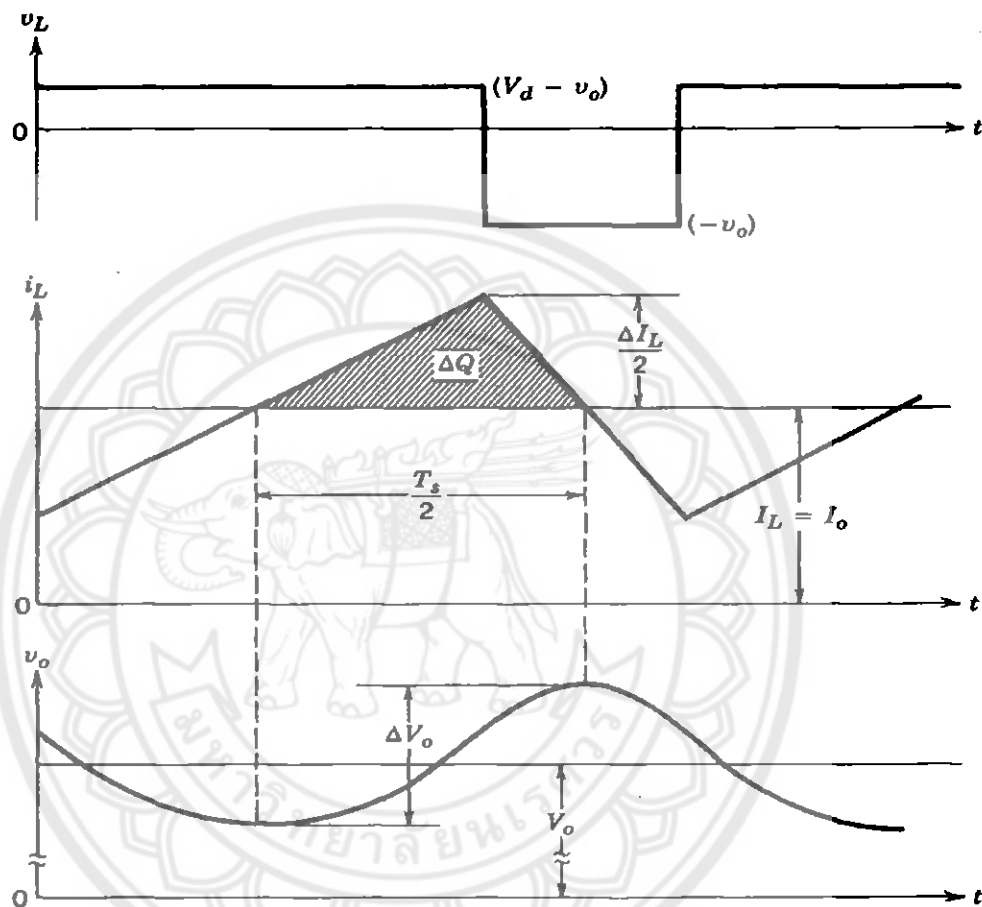
พิจารณาช่วง  $t_{off}$

$$\Delta I_L = \frac{V_o}{L} (1 - D) T_s$$

แทนค่า  $\Delta I_L$  ใน  $\Delta V_o$  จะได้

$$\frac{\Delta V_o}{V_o} = \frac{1}{8} \frac{(1 - D) T_s^2}{LC} = \frac{1}{8} \frac{(1 - D)}{LC f_s^2} \quad (2.13)$$

จะเห็นว่าที่ค่าดิจิต์ใช้เคลื่อนที่นั่ง ๆ ความพลีวของแรงดันด้านออกแปรผกผันกับค่าความเหนี่ยวนำ  $L$  และค่าความจุ  $C$  และแปรผกผันกับความถี่สวิตซิ่งยกกำลังสอง นั่นคือเราสามารถลดความต้องการในการกรองสัญญาณแรงดันด้านออกได้โดยเพิ่มความถี่สวิตซิ่ง อย่างไรก็ตามผลที่ตามมาคือกำลังสูญเสียในสวิตซ์จะเพิ่มขึ้น [5]



รูปที่ 2.32 ความพลีวของแรงดันด้านออกในวงจรอนระดับแรงดัน [5]

## บทที่ 3

### การออกแบบและสร้างตัวควบคุมการอัดประจุ

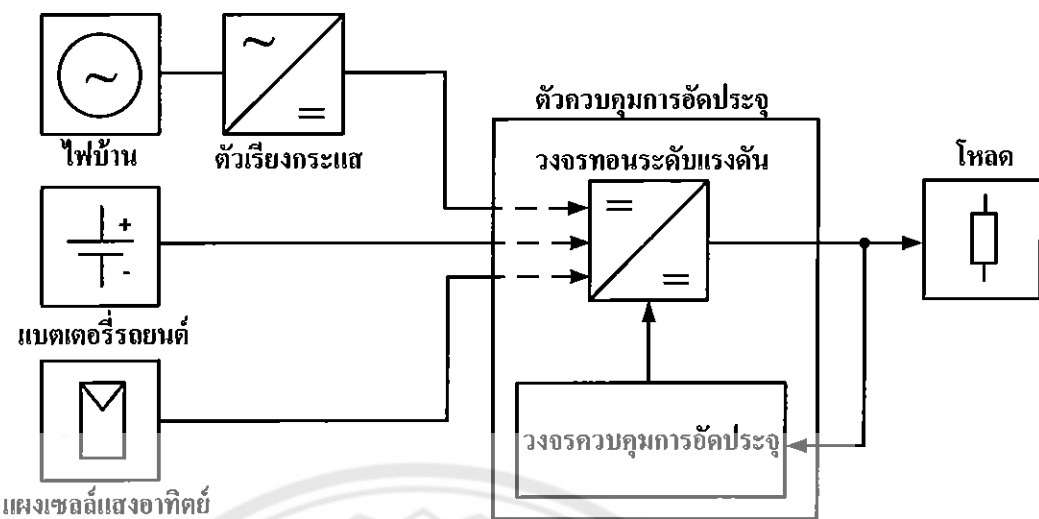
เนื่องจากแบตเตอรี่ชนิดลิเทียม ไอออนและลิเธียม ไอออนพอลิเมอร์เสื่อมสภาพได้ช้ามากอยู่ในสภาวะการอัดประจุเกิน ดังนั้นในระหว่างการอัดประจุจึงต้องควบคุมแรงดันและกระแสที่จ่ายออกจากรวงจรตอนระดับแรงดันให้เหมาะสมกับขนาดของแบตเตอรี่ที่ต้องการอัดประจุ และเพื่อให้สะดวกในการนำไปใช้งานในสถานที่ต่างๆ จึงได้ออกแบบตัวควบคุมการอัดประจุให้สามารถรับพลังงานไฟฟ้าได้ทั้งจากการไฟฟ้าฯ แบตเตอร์รี่ถ่านต์และแบงเชลล์แสงอาทิตย์ โดยแบ่งโครงสร้างหลักของตัวควบคุมการอัดประจุออกเป็น 2 ส่วน คือ วงจรตอนระดับแรงดัน และวงจรควบคุมการอัดประจุ

#### 3.1 การออกแบบการทำงานของตัวควบคุมการอัดประจุ

รูปแบบการทำงานของตัวควบคุมการอัดประจุที่ออกแบบในโครงงานนี้แสดงดังรูปที่ 3.1 โดยแสดงของตัวควบคุมการอัดประจุคือ แบตเตอรี่ชนิดลิเทียม ไอออนและลิเธียม ไอออนพอลิเมอร์ที่นิยมใช้ในโทรศัพท์เคลื่อนที่และกล้องถ่ายภาพดิจิตอล โดยแบตเตอรี่ของโทรศัพท์เคลื่อนที่ต้องการแรงดันอัดประจุ 5 V รวมถึงอุปกรณ์อื่นๆ ที่ใช้แบตเตอรี่ชนิดเดียวกันและต้องการแรงดันอัดประจุ 5 V อันได้แก่ แท็บเล็ต (Tablet) และเครื่องเล่นเพลงแบบพกพา เช่น ไอพอด (iPod) เป็นต้น ส่วนแบตเตอรี่ของกล้องถ่ายภาพดิจิตอลต้องการแรงดันอัดประจุ 4.2 V หรือ 8.4 V โดยบีบีนอยู่กับชนิดของกล้อง ทั้งนี้พลังงานอัดประจุสามารถมาจากแหล่งจ่าย 3 ประเภท คือ

- 1) ไฟกระแสสลับขนาดแรงดัน 220 V ความถี่ 50 Hz ที่ได้รับจากการไฟฟ้าฯ ผ่านทางอะแดปเตอร์ (Adapter) ซึ่งทำหน้าที่แปลงเป็นไฟกระแสตรงที่มีขนาดแรงดันคงที่ 19 V และกระแสไม่เกิน 4.74 A
- 2) ไฟกระแสตรงขนาดแรงดัน 12 V จากแบตเตอร์รี่ถ่านต์
- 3) ไฟกระแสตรงจากแบงเชลล์แสงอาทิตย์ โดยในที่นี้ใช้แบงขนาด 10 W แรงดัน 17.2 V และกระแส 0.58 A

ซึ่งจะเห็นว่าแรงดันของแหล่งจ่ายพลังงานทั้งสามชนิดข้างต้น มีค่าสูงกว่าค่าที่ใช้ในการอัดประจุ ดังนั้นจึงออกแบบให้ตัวควบคุมการอัดประจุประกอบด้วยวงจรตอนระดับแรงดันและวงจรควบคุมการอัดประจุ เพื่อรับรองรับไฟฟ้าจากทั้งสามแหล่งพลังงานดังกล่าวได้ รวมทั้งควบคุมการจ่ายแรงดันอัดประจุ 3 ระดับ คือ 4.2 V 5 V และ 8.4 V และคุณค่ากระแสอัดประจุได้สูงสุดในช่วง 0.3 – 2 A



รูปที่ 3.1 แผนภาพกรอบแสดงส่วนประกอบของตัวควบคุมการอัดประจุ

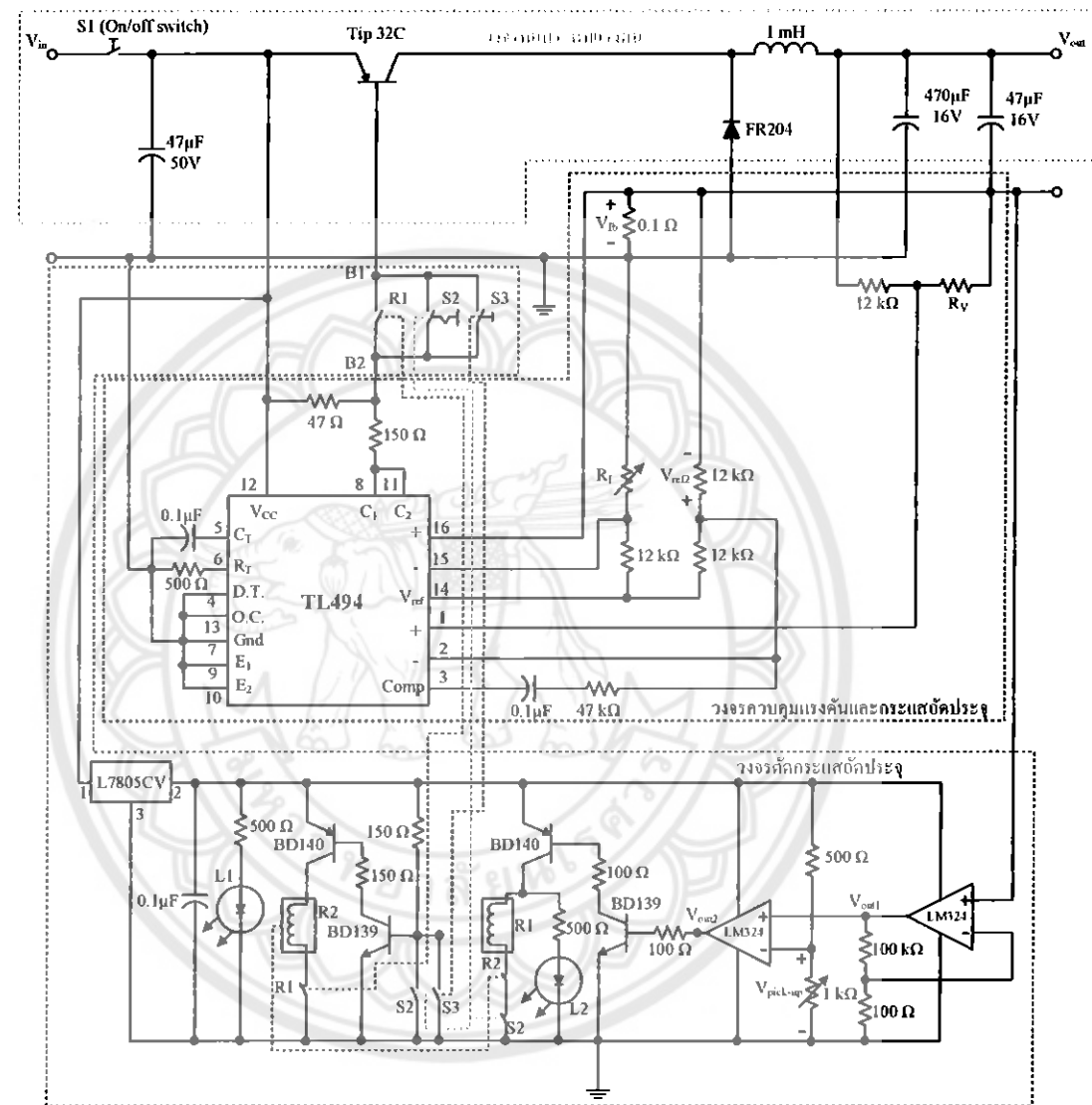
### 3.2 โครงสร้างและหลักการทำงานของตัวควบคุมการอัดประจุ

แผนภาพวงจรของตัวควบคุมการอัดประจุที่ออกแบบในโครงการนี้แสดงดังรูปที่ 3.2 โดยประกอบขึ้นจากการทบทวนระดับแรงดันและวงจรควบคุมการอัดประจุ วงจรทอนระดับแรงดัน มีหน้าที่ปรับลดระดับแรงดันของแหล่งจ่ายพลังงานให้สอดคล้องกับค่าโหลดที่ต้องการ ในวงจร ทอนระดับแรงดันนอกจากตัวเก็บประจุที่ต่ออยู่ด้านเข้าและด้านออกแล้วยังมีทรานซิสเตอร์ชนิดพี เอ็นพีหมายเลข Tip 32C ทำหน้าที่เป็นสวิตช์ และมีตัวเหนี่ยวบานขนาด 1 mH และไดโอดชนิดพีน็อตตัว เร็ว (Fast recovery diode) หมายเลข FR204

วงจรควบคุมการอัดประจุ ประกอบด้วย 2 ส่วน คือ วงจรควบคุมแรงดันและกระแส อัดประจุ และวงจรตัดกระแสอัดประจุ ในวงจรควบคุมแรงดันและกระแสอัดประจุ ได้เลือกใช้วงจร รวมหมายเลข TL494 ให้ทำหน้าที่สร้างสัญญาณควบคุมการทำงานของ Tip 32C เพื่อควบคุม แรงดันและกระแสด้านออกของวงจรทอนระดับแรงดันสำหรับการอัดประจุให้เหมาะสมกับ แบตเตอรี่ต่ำขนาด ได้ ส่วนวงจรตัดกระแสอัดประจุมีหน้าที่ยุติกระบวนการอัดประจุโดยหตตค ตัญญาณควบคุมการทำงานของ Tip 32C ในวงจรทอนระดับแรงดัน

ตัวควบคุมการอัดประจุถูกออกแบบให้เริ่มทำงานด้วยลองจิกสูงที่ได้รับจากการตัด กระแสอัดประจุเพื่อทำให้รีเลย์ทำงาน เมื่อหน้าสัมผัสของรีเลย์ปิดลงทำให้ทรานซิสเตอร์ Tip 32C ซึ่งทำหน้าที่เป็นสวิตช์ของวงจรทอนระดับแรงดัน ได้รับสัญญาณพืดับเบิลยูอีมจาก TL494 ซึ่งอยู่ในวงจรควบคุมแรงดันและกระแสอัดประจุ หลังจากที่การอัดประจุเริ่มนั่นเอง กระแสอัดประจุมีค่าสูงส่งผลให้วงจรตัดกระแสอัดประจุขังคงสร้างลองจิกสูงเพื่อรักษาสถานะการทำงานของ รีเลย์ทำให้การอัดประจุดำเนินต่อไปอย่างต่อเนื่อง ในที่นี่เราใช้การกดสวิตช์ S3 เพื่อเริ่มการทำงาน

ของตัวควบคุมการอัดประจุ โดยทำให้ Tip 32C ได้รับสัญญาณพีดับเบิลยูเอ็นจาก TL494 จนกระทั่ง วงจรตัดกระแสอัดประจุสร้างคลื่นจิกสูงเพื่อทำให้รีเล耶์ทำงาน หลังจากหน้าตั้มผัสของรีเลียปิดลง เราสามารถเปิดหน้าตั้มผัสของสวิตช์ S3 ได้



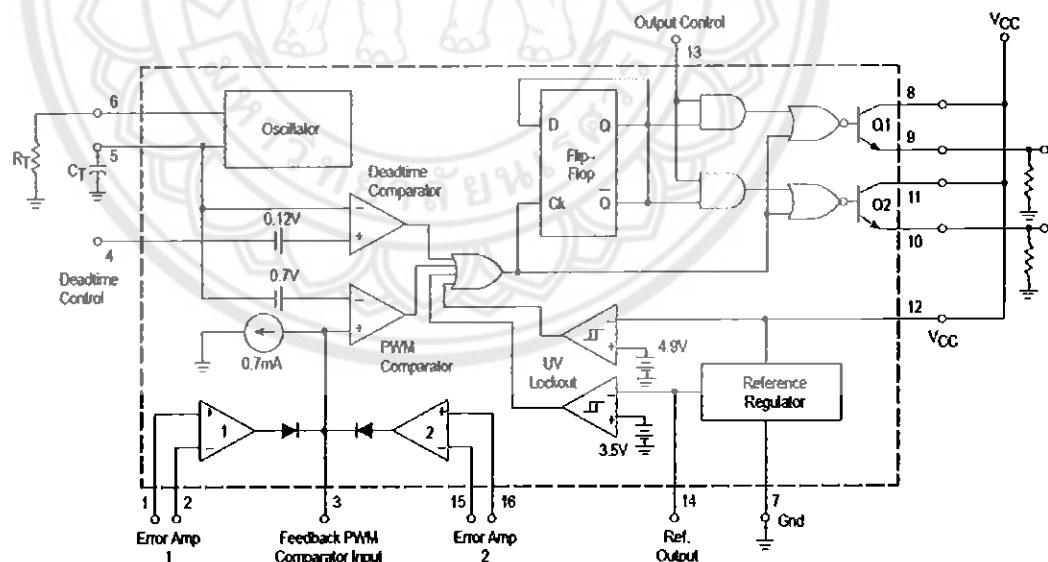
รูปที่ 3.2 แผนภาพวงจรของตัวควบคุมการอัดประจุ

หลังจากที่การอัดประจุดำเนินไปจนกระทั่งกระแสอัดประจุลดต่ำลงจนถึงค่าที่ออกแบบไว้ ซึ่งบ่งบอกถึงสภาพการอัดประจุจนเต็มแล้ว วงจรตัดกระแสอัดประจุจะสร้างคลื่นจิกต่ำทำให้ รีเลียหุดทำงาน หน้าตั้มผัสจะเปิดออกเมื่อ Tip 32C ไม่ได้รับสัญญาณพีดับเบิลยูเอ็นจาก TL494 วงจรตอนระดับแรงดันจึงหยุดทำงานส่งผลให้การอัดประจุสิ้นสุดลง

อย่างไรก็ตามหากการทำงานของวงจรตัดกระแสอัคประจุหรือเรียกว่าเกิดความผิดพลาด เราจึงสามารถใช้งานตัวควบคุมการอัคประจุที่ออกแบบและสร้างขึ้นนี้ต่อไปได้ โดยใช้สวิตช์ S2 เพื่อควบคุมการเริ่มและหยุดการอัคประจุ (Manual control)

### 3.3 วงจรควบคุมแรงดันและกระแสอัคประจุ

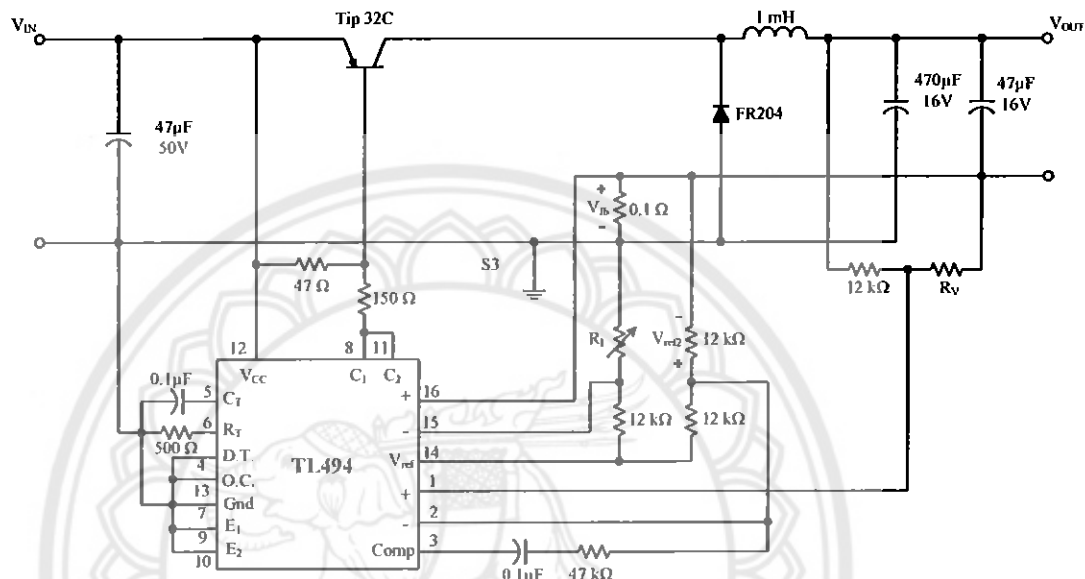
ในการสร้างวงจรควบคุมแรงดันและกระแสอัคประจุเราได้เลือกใช้ TL494 ซึ่งสร้างสัญญาณควบคุมการทำงานของ Tip 32C โดยใช้หลักการมอตูเดตความกว้างพัลส์หรือพีดับเบิลยูเอ็ม แผนภาพวงจรภายในของ TL494 ดังแสดงในรูปที่ 3.3 สัญญาณพีดับเบิลยูเอ็มนี้สร้างจากสัญญาณรูปคลื่นฟันเลื่อย (Sawtooth waveform) ที่ได้จากการกำเนิดสัญญาณ (Oscillator) เปรียบเทียบกับสัญญาณควบคุมที่เกิดจากการวัดความผิดพลาด (Error amplifier) 2 วงจร เพื่อทำให้ความกว้างของสัญญาณพีดับเบิลยูเอ็มเปลี่ยนแปลงได้ ส่งผลให้ค่าตัวแปรที่ใช้เกิดเปลี่ยนแปลง เช่น กัน โดยเราสามารถปรับความถี่ของสัญญาณรูปคลื่นฟันเลื่อยได้ด้วยการเลือกค่าของตัวเก็บประจุ  $C_T$  และตัวต้านทาน  $R_T$  ที่ต่อกับขาที่ 5 และ 6 ตามลำดับ นอกจากนี้ TL494 ยังให้แรงดันคงที่ 5 V ออกมายังขาที่ 14 ซึ่งใช้เป็นแรงดันอ้างอิงในการควบคุมแรงดันและกระแสอัคประจุ โดย TL494 สามารถรับแรงดันเข้ามาผ่านขาที่ 12 ( $V_{CC}$ ) ในช่วง 7 – 40 V



รูปที่ 3.3 แผนภาพวงจรภายในวงจรรวมหมายเลข TL494

วงจรควบคุมแรงดันและกระแสอัคประจุที่ออกแบบและสร้างขึ้นในโครงการนี้แสดงดังรูปที่ 3.4 ใน การควบคุมแรงดันอัคประจุเราได้เลือกใช้วงจรขยายความผิดพลาดตัวที่ 1 โดยขาที่ 1 รับแรงดันต่ำกว่าตัวต้านทาน  $R_T$  เข้ามานะเพื่อบริบทกับแรงดันอ้างอิงที่ขาที่ 2 เพื่อจำกัดแรงดัน

อัคประจุไม่ให้สูงเกินค่าที่ออกแบบไว้ ส่วนการควบคุมกระแสอัคประจุได้เลือกใช้วงจรขยายความผิดพลาดตัวที่ 2 โดยขาที่ 16 รับค่าแรงดันต่ำกว่าตัวด้านหน้า  $0.1 \Omega$  ซึ่งทำหน้าที่เป็นตัวรับรู้ค่ากระแส (Current sensor) โดยให้ค่าแรงดันที่สอดคล้องกับค่ากระแสอัคประจุ เข้ามาเปรียบเทียบกับแรงดันอ้างอิงที่ขาที่ 15 ซึ่งเกิดจากการแบ่งแรงดันโดยการปรับค่าตัวด้านหน้า  $R_v$  เพื่อจำกัดค่ากระแสอัคประจุไม่ให้สูงเกินค่าที่ออกแบบไว้



รูปที่ 3.4 แผนภาพวงจรควบคุมแรงดันและกระแสอัคประจุ

การกำหนดแรงดันอัคประจุทำได้โดยเลือกค่าความต้านทานของ  $R_v$  ทั้งหมด 3 ค่า ตามขนาดแรงดันที่ได้ออกแบบไว้ คือ  $4.2 \text{ V}$   $5 \text{ V}$  และ  $8.4 \text{ V}$  ซึ่งหาได้จากสมการที่ (3.1) โดยค่าแรงดัน  $V_{ref2}$  เท่ากับ  $2.5 \text{ V}$  ซึ่งเกิดจากการแบ่งแรงดันของตัวด้านหน้า  $12 \text{ k}\Omega$  กับตัวด้านหน้า  $12 \text{ k}\Omega$  ที่ต่อ กับขา  $V_{ref}$  (ขาที่ 14) ที่มีค่าแรงดันคงที่  $5 \text{ V}$  ดังนั้นแรงดันที่ขาที่ 1 จึงเท่ากับ  $2.5 \text{ V}$

หากค่า  $R_v$  โดยใช้หลักการแบ่งแรงดันของตัวด้านหน้า  $12 \text{ k}\Omega$  กับตัวด้านหน้า  $R_v$

$$V_{ref2} = \left( \frac{R_v}{R_v + 12000} \right) \cdot V_{out}$$

$$R_v = \frac{12000 \cdot V_{ref2}}{V_{out} - V_{ref2}} \quad (3.1)$$

โดยที่  $V_{out}$  คือ แรงดันอัคประจุ ( $\text{V}$ )

$V_{ref2}$  คือ แรงดันอ้างอิง ( $= 2.5 \text{ V}$ )

ที่  $V_{out} = 4.2 \text{ V}$  จะได้

$$R_v = 17.647 \text{ k}\Omega \approx 17.5 \text{ k}\Omega$$

ที่  $V_{out} = 5 \text{ V}$  จะได้

$$R_v = 12 \text{ k}\Omega$$

ที่  $V_{out} = 8.4 \text{ V}$  จะได้

$$R_v = 5.08 \text{ k}\Omega \approx 5 \text{ k}\Omega$$

ดังนั้นหากต้องการแรงดันอัคประจุที่  $4.2 \text{ V}$   $5 \text{ V}$  และ  $8.4 \text{ V}$  จึงเลือกใช้ตัวต้านทาน  $R_I$  เท่ากับ  $17.5 \text{ k}\Omega$   $12 \text{ k}\Omega$  และ  $5 \text{ k}\Omega$  ตามลำดับ

การคำานวณค่าสูงสุดของกระแสอัคประจุทำได้โดยเลือกค่าความต้านทานของ  $R_I$  ให้อยู่ในช่วงกระแสอัคประจุของค่าที่ออกแบบไว้คือ  $0.3 - 2 \text{ A}$  ซึ่งหาจากสมการที่ (3.2) โดยคำานวณแรงดัน  $V_{ref}$  เท่ากับ  $5 \text{ V}$  ซึ่งต่อ กับขา  $V_{ref}$  (ขาที่ 14)

หาค่า  $R_I$  โดยใช้หลักการการแบ่งแรงดันที่ข้าที่ 15 ซึ่งทำให้แรงดันตกคร่อมตัวต้านทาน  $R_I$  เท่ากับแรงดันตกคร่อมตัวต้านทาน  $0.1 \Omega$

$$\begin{aligned} 0.1 \cdot I_{out} &= \left( \frac{R_I}{12000 + R_I} \right) \cdot V_{ref} \\ R_I &= \frac{1200 \cdot I_{out}}{V_{ref} - 0.1 \cdot I_{out}} \end{aligned} \quad (3.2)$$

โดยที่  $I_{out}$  คือ กระแสอัคประจุ ( $\text{A}$ )

$V_{ref}$  คือ แรงดันอ้างอิง ( $= 5 \text{ V}$ )

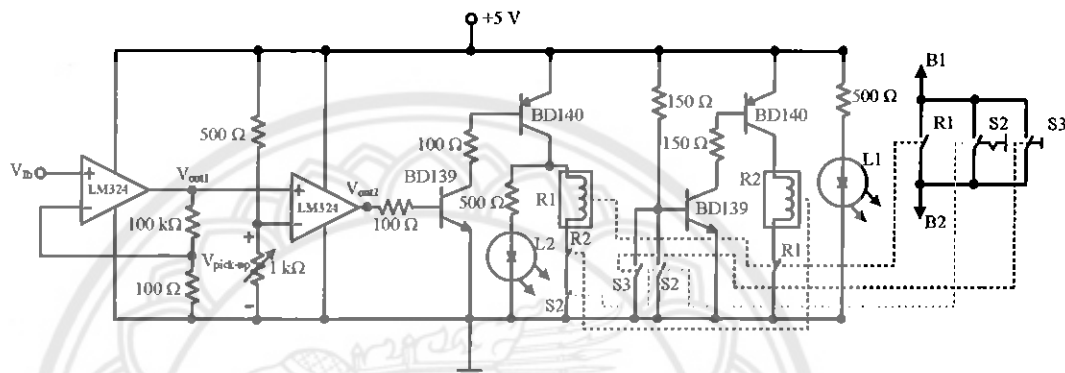
ที่  $I_{out} = 0.3 \text{ A}$  จะได้  $R_I = 72.43 \Omega \approx 72 \Omega$

ที่  $I_{out} = 2 \text{ A}$  จะได้  $R_I = 500 \Omega$

ในที่นี้ได้เลือกใช้ตัวต้านทานชนิดปรับค่าได้ขนาด  $1 \text{ k}\Omega$  เพื่อปรับค่าความต้านทาน  $R_I$  ให้อยู่ในช่วงที่ออกแบบได้

### 3.4 วงจรตัดกระแสอัดประจุ

หลังจากการอัดประจุแบบเตอร์ไกล์เติมแล้ว จำเป็นต้องมีวงจรที่ทำหน้าที่หยุดการอัดประจุ เพื่อป้องกันการอัดประจุเกิน โดยใช้วงจรตัดกระแสอัดประจุ ดังแสดงในรูปที่ 3.5 ซึ่งประกอบด้วยวงจรขยายไม่กลับข้อ (Non-inverting amplifier) วงจรเปรียบเทียบแรงดัน (Voltage comparator) และรีเล耶 (พร้อมวงจรขยายกระแสซึ่งใช้ขั้บเริ่ล)



รูปที่ 3.5 แผนภาพวงจรตัดกระแสอัดประจุ

วงจรตัดกระแสอัดประจุจะตัดสัญญาณพีคันเบิลยูเอ็ม เพื่อหยุดการทำงานของวงจรตอนระดับแรงดัน เมื่อค่ากระแสอัดประจุนี้ค่าต่ำลงจนถึงค่าที่ปรับตั้งไว้ คือ  $2 \text{ mA}$  อย่างไรก็ตาม ที่ค่ากระแสนี้ตัวรับรู้กระแส (ตัวด้านทาน  $0.1 \Omega$ ) จะเกิดแรงดัน  $V_{lb}$  เท่ากับ  $2 \text{ mV}$  ซึ่งนี้ค่าน้อยมาก จึงยากแก่การนำไปเปรียบเทียบ เราจึงนำตัวขยายเชิงดำเนินการ หรืออปแอนป (Operational amplifier: Op-Amp) ในวงจรรวมหมายเลข LM324 มาสร้างเป็นวงจรขยายไม่กลับข้อที่มีอัตราขยายประมาณ 1000 เท่า โดยใช้ตัวด้านทานที่มีค่า  $100 \text{ k}\Omega$  และ  $100 \Omega$  แรงดันด้านออกของวงจรขยายไม่กลับข้อ ( $V_{out1}$ ) คำนวณหาได้จากสมการที่ (3.3)

$$V_{out1} = V_{lb} \cdot \left(1 + \frac{100 \times 10^3}{100}\right) = 1001 \cdot V_{lb} \quad (3.3)$$

โดยที่  $V_{out1}$  คือ แรงดันด้านออกของวงจรขยายไม่กลับข้อ (V)

$V_{lb}$  คือ แรงดันตกคร่อมตัวด้านทาน  $0.1 \Omega$  (V)

ที่  $V_{lb} = 2 \text{ mV}$  จะได้  $V_{out1} = 1001 \times 2 \times 10^{-3} = 2.002 \text{ V}$

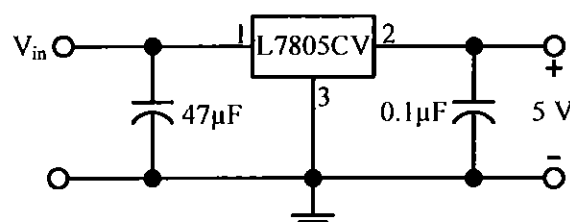
เนื่องจากไฟเดียงที่จ่ายให้กับวงจนี้มีค่า  $0 \text{ V}$  และ  $+5 \text{ V}$  ทำให้อปแอนปมีแรงดันออกเบต้า ( $V_{offset}$ ) ประมาณ  $0.6 \text{ V}$  ส่งผลให้แรงดันด้านออก  $V_{out1}$  มีค่าสูงขึ้นอีก  $0.6 \text{ V}$  จากค่าที่ออกแบบไว้ดังนั้นในกรณีนี้แรงดันด้านออกที่แท้จริงมีค่าเท่ากับ  $2.002 + 0.6 = 2.602 \text{ V}$  ซึ่งค่านี้ถูกนำไปใช้ในการปรับตั้งค่าแรงดันอ้างอิงของวงจรเปรียบเทียบแรงดัน ( $V_{pick-up}$ )

ค่ากระแสอัคประจุขณะใดๆ ก็ตามที่ตัวบันวัดกระแส (ตัวด้านหน้า 0.1  $\Omega$ ) ซึ่งให้ค่าอ่อนน้ำเป็นแรงดัน  $V_{in}$  และคันด้านอกของวงจรขยายไม่กลับข้อกันนำค่ามาเปรียบเทียบกับค่าแรงดันอ้างอิงของวงจรเปรียบเทียบแรงดัน โดยใช้อปแอนปีกายใน LM324 ถ้าแรงดัน  $V_{out}$  ซึ่งต่อเข้าที่ขาบวกของอปแอนเป็นมีค่ามากกว่าค่าแรงดันอ้างอิงซึ่งต่ออยู่ที่ขาลบของอปแอนปีกามาทำให้วงจรนี้สร้างลอกิกสูง ในระหว่างการอัดประจุนั้นกระแสอัคประจุขึ้น มีค่าสูงจึงทำให้วงจรเปรียบเทียบแรงดันสร้างลอกิกสูงอย่างต่อเนื่อง แต่หลังจากที่กระแสอัคประจุลดลงจนถึงค่าที่ปรับตั้งไว้ คือ 20 mA ทำให้แรงดันที่นำมาเปรียบเทียบมีค่าน้อยกว่าแรงดันอ้างอิงจะทำให้วงจรนี้สร้างลอกิกต่ำ

เมื่อวงจรเปรียบเทียบแรงดันสร้างลอกิกสูงเพื่อจ่ายให้กับคลื่นของรีเลย์ R1 แต่ค่ากระแสที่ไหลในคลื่นนี้ค่าต่ำจึงไม่สามารถทำให้รีเลย์ R1 เปิดขึ้นหน้าสัมผัสได้ เราจึงใช้วงจรขยายกระแสเพื่อเพิ่มกำลังไฟฟ้าให้กับคลื่นของรีเลย์ R1 โดยใช้ทรานซิสเตอร์ชนิดอินพีเอ็นหมาดเลข BD139 ร่วมกับทรานซิสเตอร์ชนิดพีเอ็นพีหมาดเลข BD140 โดยที่ลอกิกสูงจากวงจรเปรียบเทียบแรงดันทำให้เกิดกระแสแบบสไปร์คูลั่นให้ BD139 ทำงาน จึงมีกระแสออกเดกต่อร์ไฟล์ผ่าน BD139 ซึ่งเป็นกระแสแบบที่อ่อนน้ำจาก BD140 ส่งผลให้เกิดกระแสออกเดกต่อร์ไฟล์ออกจาก BD140 เพื่อป้อนให้คลื่นของรีเลย์ R1

เนื่องจากวงจรขยายไม่กลับข้อมือตราชายประมาณ 1000 เท่า การเปลี่ยนแปลงค่าเพียงเดือนน้อยของกระแสอัคประจุย่อมส่งผลให้แรงดัน  $V_{out}$  มีค่าไม่คงที่ ดังนั้นในช่วงที่กระแสอัคประจุลดลงเหลือประมาณ 20 mA การแก่วงของค่า  $V_{out}$  จึงทำให้วงจรเปรียบเทียบแรงดันสร้างลอกิกสูง และต่ำสักนั้น ส่งผลให้หน้าสัมผัสของรีเลย์ R1 เปิดขึ้นสถานะสักนิปปานทำให้วงจรขาดเสียบริภาพและอาจบุกริบงานของรีเลย์ R1 ลดลง เราจึงใช้งานรีเลย์ R2 โดยมีวงจรขยายกระแสเดียวกับรีเลย์ R1 เพื่อแก้ไขปัญหาดังกล่าวด้วยหลักการบีดระห่วงกัน (Interlocking)

วงจรตัดกระแสอัคประจุต้องการไฟเลี้ยง 5 V เพื่อจ่ายให้กับ LM324 และรีเลย์ ซึ่งในที่นี้ไฟกระแสตรงคั่งกล่าวถูกสร้างขึ้นด้วยตัวคุณค่าแรงดัน (Voltage regulator) หมายเลข L7805CV โดยรับแรงดันด้านเข้ามาจากแหล่งจ่ายพลังงานที่ใช้อัคประจุแล้วคุณค่าให้คงที่เท่ากับ +5 V ดังแสดงในรูปที่ 3.6 เพื่อเป็นไฟเลี้ยงให้กับวงจรควบคุม



รูปที่ 3.6 แผนภาระไฟเลี้ยง 5 V

การออกแบบวงจรควบคุมการอัดประจุได้เลือกใช้รีเลย์และสวิตช์เพื่อควบคุมการทำงานทั้งการอัดประจุและการตัดกระแสอัดประจุ อันได้แก่

1) รีเลย์ R1 มีหน้าที่ต่อวงจรเพื่ออัดประจุเมื่อกระแสอัดประจุบังคงมีค่าสูงกว่าค่าต่ำสุดที่กำหนดในโหมดตัดกระแส (Cut-off mode) ในที่นี้เลือกใช้รีเลย์ที่มีหน้าสัมผัส 2 ชุด โดยใช้หน้าสัมผัสแบบปกติเปิด (Normally open: NO) ต่ออนุกรมกับขาเบสของ Tip 32C และหน้าสัมผัสแบบปกติปิด (Normally closed: NC) ต่ออนุกรมกับขาคลัวดของรีเลย์ R2 เพื่อทำหน้าที่เป็นหน้าสัมผัสแบบซึ่คระหว่างกัน (Interlocking contact)

2) รีเลย์ R2 มีหน้าที่ขัดการอัดประจุทันทีที่กระแสอัดประจุลดต่ำลงถึงค่าต่ำสุดที่กำหนดในโหมดตัดกระแส (Cutoff mode) ในที่นี้เลือกใช้รีเลย์ที่มีหน้าสัมผัส NC 1 ชุด โดยต่ออนุกรมกับขาคลัวดของรีเลย์ R1 เพื่อทำหน้าที่เป็นหน้าสัมผัสแบบซึ่คระหว่างกัน

3) สวิตช์ S1 มีหน้าที่ตัดกระแสต่อวงจรระหว่างแหล่งจ่ายพลังงานกับตัวควบคุมการอัดประจุ ในที่นี้เลือกใช้สวิตช์เปิด-ปิดธรรมชาติ (Toggle switch) ที่มีหน้าสัมผัส NO 1 ชุด โดยต่ออันดับระหว่างแหล่งจ่ายไฟกับตัวควบคุมการอัดประจุ

4) สวิตช์ S2 ช่วยให้ผู้ใช้สามารถเลือกรูปแบบการทำงานของตัวควบคุมการอัดประจุว่าเป็นโหมดตัดกระแสหรือไม่ตัดกระแส (Non-cutoff mode) ในที่นี้เลือกใช้สวิตช์เปิด-ปิดธรรมชาติที่มีหน้าสัมผัส NO 2 ชุด และ NC 1 ชุด โดยต่อหน้าสัมผัส NO ชุดแรกบนกับหน้าสัมผัส NO ของรีเลย์ R1 เพื่อควบคุมการขับ Tip 32C และต่อ NO ชุดที่สองระหว่างขาเบสของ BD139 ในวงจรของรีเลย์ R2 กับกราวด์ของระบบ และใช้หน้าสัมผัส NC ต่ออนุกรมกับขาคลัวดของรีเลย์ R1 เพื่อป้องกันการทำงานของรีเลย์ทั้งสองในโหมดไม่ตัดกระแส อย่างไรก็ตาม ถ้ากดสวิตช์ S2 เพื่อเลือกใช้งานโหมดไม่ตัดกระแสจะทำให้การอัดประจุเริ่มต้นทันที

5) สวิตช์ S3 ช่วยให้ผู้ใช้เริ่มกระบวนการอัดประจุในโหมดตัดกระแส ในที่นี้เลือกใช้สวิตช์ปุ่มกด (Push-button switch) ที่มีหน้าสัมผัส NO 2 ชุด โดยต่อหน้าสัมผัสชุดแรกบนกับ NO ของรีเลย์ R1 เพื่อเริ่มขับ Tip 32C และต่อหน้าสัมผัสอีกชุดระหว่างขาเบสของ BD139 ในวงจรของรีเลย์ R2 กับกราวด์ของระบบเพื่อป้องกันการทำงานของรีเลย์ R2 ในขณะเริ่มอัดประจุในโหมดตัดกระแส

6) ไอดีโอดีเพลจิงแสฟนหรือหลอดแอลอีดี (Light emitting diode: LED) 2 หลอด มีหน้าที่แสดงสถานะการทำงานของตัวควบคุมการอัดประจุ โดยใช้หลอด L1 แสดงการเริ่มต่อแหล่งพลังงานอัดประจุเข้ากับตัวควบคุมฯ ในขณะที่หลอด L2 แสดงสถานะของระดับกระแสอัดประจุที่สูงกว่าค่าต่ำสุดที่กำหนด

หลังจากกดสวิตช์ S1 เพื่อทำให้วงจรเตรียมพร้อมในการเริ่มอัดประจุ ทำให้หลอด L1 สว่างขึ้น ในกรณีที่กด S2 เพื่อเลือกให้ตัวควบคุมการอัดประจุทำงานในโหมดตัดกระแสแล้ว เมื่อกดสวิตช์ S3 ทำให้ตัวควบคุมการอัดประจุเริ่มทำงาน เพราะมีการส่งสัญญาณพีคัมเบิลยูเอ็มให้กับ

Tip 32C จึงเกิดการไฟลของกระแสอัคประจุและเกิดแรงดันด้วยคร่อมตัวต้านทาน  $0.1 \Omega$  ส่งผลให้วงจรเปรียบเทียบสร้างลองจิกรสูงทำให้หลอด L2 สว่างขึ้นเพื่อแสดงว่าเกิดการอัคประจุ นอกจากนี้ผลของการกด S3 ดังกล่าวขึ้นทำให้เรลย์ R2 ไม่ทำงาน ดังนั้นหน้าสัมผัส NC ของ R2 จึงต่อวงจรให้เรลย์ R1 ทำงาน ส่งผลให้หน้าสัมผัสทั้งสองของ R1 เปลี่ยนสถานะ นั่นคือหน้าสัมผัส NO ต่อวงจรให้การขับ Tip 32C เป็นไปอย่างต่อเนื่อง (แม้ว่าหน้าสัมผัสของ S3 เปิดออกกีตาม) และหน้าสัมผัส NC ตัววงจรเพื่อไม่ให้เรลย์ R2 ทำงาน

หลังจากที่กระแสอัคประจุมีค่าลดลงถึงค่าที่ปรับตั้งไว้ วงจรเปรียบเทียบแรงดันสร้างลองจิกรทำให้เรลย์ R1 หยุดทำงาน หน้าสัมผัสทั้งสองของ R1 เปลี่ยนกลับสถานะเดิม นั่นคือหน้าสัมผัส NO ทำให้การอัคประจุสิ้นสุดลง เพราะไม่มีสัญญาณพีดับเบิลยูเอ็มให้กับ Tip 32C ส่วนหน้าสัมผัส NC ทำให้เรลย์ R2 ทำงาน ส่งผลให้หน้าสัมผัส NC ของ R2 เปิดวงจรเพื่อป้องกันการกลับมาทำงานอีกครั้งของเรลย์ R1 (ความลิวของสัญญาณ  $V_{out}$  อาจทำให้วงจรเปรียบเทียบแรงดันสร้างลองจิกรสูงและต่ำสลับกันทำให้หน้าสัมผัสของ R1 เปลี่ยนสถานะสลับไปมา)

ในการณ์ที่กด S2 เพื่อเลือกให้ตัวควบคุมการอัคประจุทำงานใน ไมดไม่ตัดกระแส หน้าสัมผัส NO ที่ต่อ กับกราวด์และหน้าสัมผัส NC ของ S2 เปลี่ยนสถานะเพื่อไม่ให้เรลย์ R1 และ R2 ทำงาน ในขณะที่หน้าสัมผัส NO ที่ต่อคร่อมกับ NO ของเรลย์ R1 จะต่อวงจรให้มีการป้อนสัญญาณพีดับเบิลยูเอ็มเพื่อขับ Tip 32C อย่างต่อเนื่อง

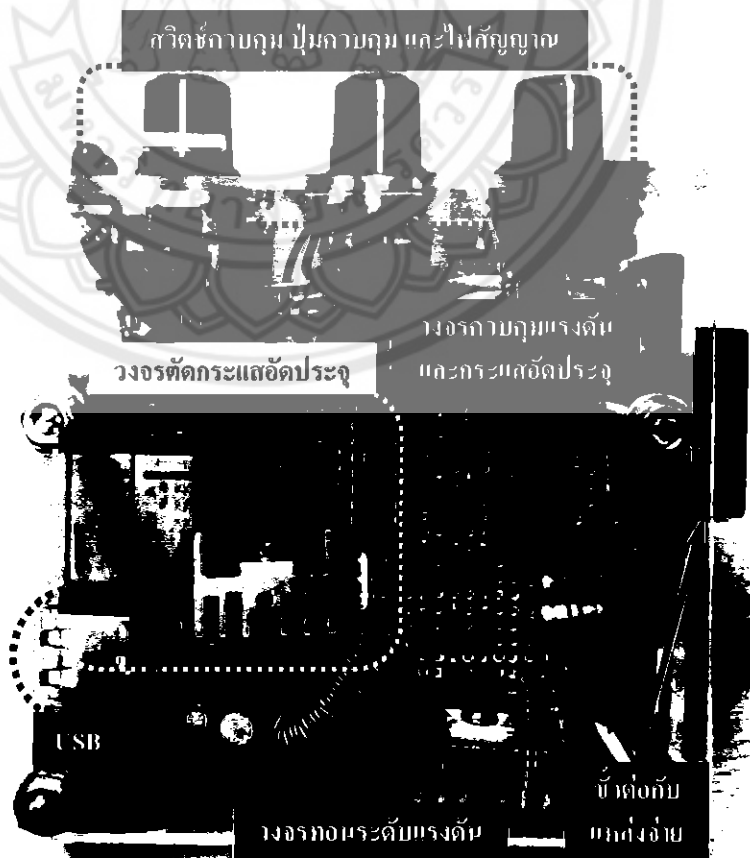
การใช้สวิตช์ S2 มีประโยชน์ต่อการใช้งานตัวควบคุมการอัคประจุโดยเฉพาะอย่างยิ่งในกรณีที่ใช้แพนเซลล์แสงอาทิตย์เป็นแหล่งจ่ายพลังงาน เนื่องจากกระแสอัคประจุมีค่าแปรผันโดยตรงกับความเข้มแสงในขณะนั้น ในระหว่างการอัคประจุนั้นความเข้มแสงมีโอกาสลดลงอย่างรวดเร็ว ทำให้กระแสที่ได้จากการแพนเซลล์แสงอาทิตย์อาจมีค่าลดลงจนไม่เพียงพอต่อการอัคประจุ ซึ่งสถานการณ์นี้อาจเกิดขึ้นเพียงชั่วครู่ ดังนั้นหากเลือกใช้งานไมดไม่ตัดกระแสจะทำให้การอัคประจุวงจรสิ้นสุดทันที แต่ถ้าหากเลือกใช้ไมดไม่ตัดกระแสจะทำให้วงจรยังคงทำงานได้อย่างต่อเนื่องอย่างไรก็ตามการใช้งานในไมดไม่ตัดกระแสอาจมีข้อเสียคือทำให้เกิดสภาพการอัคประจุเกิดได้

### 3.5 การประกอบตัวควบคุมการอัดประจุ

ในโครงการนี้ได้ออกแบบรูปทรงและสร้างว่างของตัวควบคุมการอัดประจุขึ้นมา มีขนาด  $10 \times 11.5 \times 5 \text{ cm}$  ซึ่งสามารถพกพาได้ ส่วนประกอบของชิ้นงานที่สร้างขึ้นแสดงดังรูปที่ 3.7 โดยจัดกลุ่มของอุปกรณ์ตามว่างจรต่างๆ ที่ประกอบขึ้นเป็นตัวควบคุมการอัดประจุ นอกจากนี้ยังมีชิ้วต่อ กับแหล่งจ่ายพลังงานและ โหลดดังนี้

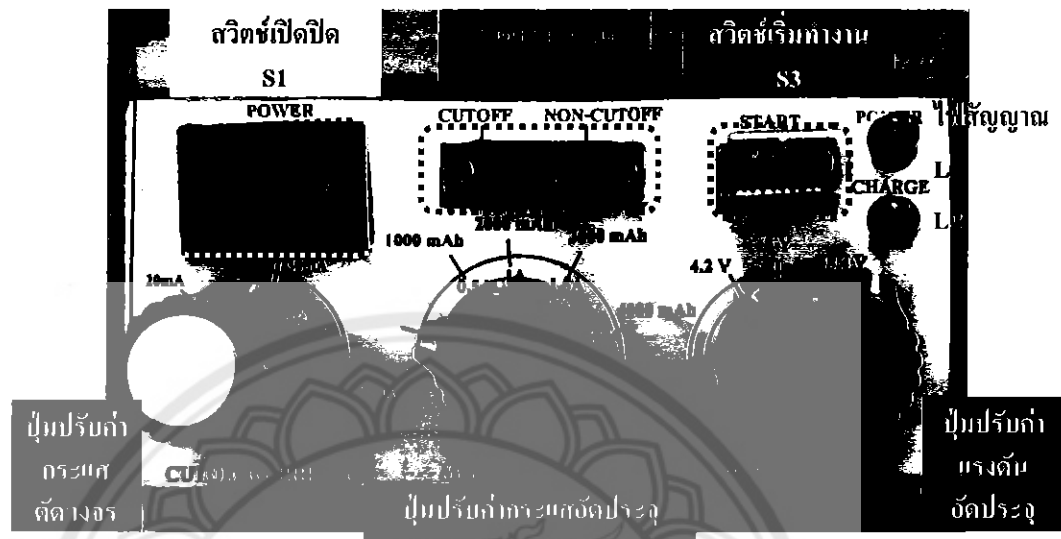
1) ชิ้วต่อ กับแหล่งจ่ายพลังงาน ในที่นี้ใช้ชิ้วต่อ 2 แบบ โดยชิ้วต่อแบบที่ 1 เป็นเตารับสำหรับอะแดปเตอร์ดังรูปที่ 3.7 ซึ่งในการผู้รับพลังงานจากแบตเตอรี่โดยนั่นจะใช้ร่วมกันหัวต่อของตัวจุดบุหรี่ในรถบันต์ ส่วนชิ้วต่อแบบที่ 2 เป็นเตารับสำหรับต่อตรงกับสายไฟชั่วนาทีและลงของแบงเชลล์แสงอาทิตย์ดังรูปที่ 3.7

2) ชิ้วต่อ กับ โหลด ในที่นี้ใช้บัสอุปกรณ์外 เอนกประสงค์ หรือยูเอสบี (Universal serial bus: USB) ซึ่งสามารถต่อ กับ อุปกรณ์ได้หลากหลายชนิด ซึ่งสามารถต่อ นำสายยูเอสบีเอนกประสงค์ (Universal USB) ที่สามารถเชื่อม กับ โทรศัพท์เคลื่อนที่ได้หลายรุ่น ในกรณีที่ต้องนำแบตเตอรี่มาอัดประจุภายนอกตัวอุปกรณ์ เช่น แบตเตอรี่ของกล้องถ่ายภาพดิจิตอล เราสามารถประยุกต์ใช้ กับ แหล่งจ่ายเอนกประสงค์ได้ดังรูปที่ 3.7



รูปที่ 3.7 ส่วนประกอบของตัวควบคุมการอัดประจุ

ตำแหน่งของสวิตช์ควบคุมและปุ่มปรับค่าต่างๆ รวมทั้งไฟสัญญาณของตัวควบคุมการอัดประจุที่สร้างขึ้นแสดงดังรูปที่ 3.8



รูปที่ 3.8 สวิตช์ควบคุม ปุ่มปรับค่า และไฟสัญญาณของตัวควบคุมการอัดประจุ

การใช้งานตัวควบคุมการอัดประจุมี 2 รูปแบบคือ ไม่ตัดกระแส โดยเริ่มจากการนำแหล่งจ่ายพลังงานและโหลดที่ต้องการมาต่อเข้ากับขั้วต่อของตัวควบคุมการอัดประจุ จากนั้นกดสวิตช์ S1 เพื่อจ่ายไฟให้วางเรซิ่งแสดงสถานะด้วยหลอดแอลอีดีสีแดง (L1) ติดสว่าง ถ้าต้องการใช้งานในไม่ตัดกระแส ให้เลื่อนคันโยกของสวิตช์ S2 ไปยังตำแหน่งที่ระบุว่า Cutoff แล้วตั้งค่าแรงคันอัดประจุด้วยปุ่ม Voltage และตั้งค่ากระแสอัดประจุสูงสุดด้วยปุ่ม Max. Current รวมทั้งตั้งค่าระดับกระแสที่ต้องการให้ตัวควบคุมฯตัดวงจรด้วยปุ่ม Cutoff current (เช่นที่ 20 mA) จากนั้นกดสวิตช์ S3 การอัดประจุจะเริ่มขึ้นซึ่งแสดงสถานะด้วยหลอดแอลอีดีสีเขียว (L2) ติดสว่าง จนกระทั่งเข้าสู่สภาวะการอัดประจุเต็มซึ่งแสดงสถานะด้วยหลอด L2 ดับ ถ้าต้องการใช้งานในไม่ตัดกระแส ให้ตั้งค่าแรงคันอัดประจุด้วยปุ่ม Voltage และตั้งค่ากระแสอัดประจุสูงสุดด้วยปุ่ม Max. Current และ “ควร” ตั้งค่าระดับกระแสที่บ่งบอกถึงสภาวะการอัดประจุเต็มด้วยปุ่ม Cutoff current (เช่นที่ 20 mA) แล้วเริ่มการอัดประจุโดยเลื่อนคันโยกของสวิตช์ S2 ไปยังตำแหน่งที่ระบุว่า Non-cutoff การอัดประจุจะเริ่มต้นทันทีโดยแสดงสถานะด้วยหลอด L2 ติดสว่าง จนกระทั่งเข้าสู่สภาวะการอัดประจุเต็ม หลอด L2 จะกระพริบเตือนจนดับลงในที่สุด

## บทที่ 4

### ผลการทดสอบ

ในบทนี้จะกล่าวถึงผลการทดสอบตัวควบคุมการอัดประจุ หลังจากที่ได้สร้างตัวควบคุมการอัดประจุแล้วจึงได้ทำการทดสอบการทำงานของตัวควบคุมการอัดประจุ โดยแบ่งออกเป็น 3 ส่วน ดังนี้

- 1) การทดสอบการทำงานของวงจรตอนระดับแรงดัน เพื่อตรวจสอบความสามารถในการควบคุมแรงดันและกระแสที่ได้ออกแบบไว้พร้อมทั้งหาค่าคิวต์ไซเคิล และหาค่าประสิทธิภาพของวงจรตอนระดับแรงดัน ซึ่งรับพลังงานไฟฟ้าจากไฟบ้าน แบบท่อรีรดูนท์ และแผงเซลล์แสงอาทิตย์ เพื่อนำไปจ่ายแก่โหลดตัวต้านทาน
- 2) การทดสอบวงจรตัดกระแสอัดประจุ เพื่อตรวจสอบความสามารถในการตัดวงจรเมื่อกระแสอัดประจุต่ำกว่าค่าที่ตั้งไว้
- 3) การทดสอบตัวควบคุมการอัดประจุ เพื่อตรวจสอบการทำงานโดยรวมของวงจรควบคุมแรงดันและกระแสอัดประจุ และวงจรตัดกระแสอัดประจุ เมื่อต่อกับโหลดที่เป็นแบบท่อรีของโทรศัพท์เคลื่อนที่และกล้องถ่ายภาพดิจิตอล

#### 4.1 การทดสอบการทำงานของวงจรตอนระดับแรงดัน

การทดสอบการทำงานของวงจรตอนระดับแรงดันมีเป้าหมายเพื่อตรวจสอบการทำงานจำกัดค่าแรงดันและกระแสให้เป็นไปตามค่าที่ออกแบบไว้ ซึ่งจะถูกปรับตั้งค่า  $R_v$  และ  $R_i$  ตามลำดับ โดยในการทดสอบมีการจำกัดค่าแรงดันและกระแส เพื่อหาค่าแรงดันและกระแสค้านออก และค่าคิวต์ไซเคิล รวมทั้งหาค่าประสิทธิภาพของวงจร ซึ่งผลการทดสอบจะกล่าวในหัวข้อดังไป

##### 4.1.1 การควบคุมค่าแรงดันและจำกัดค่ากระแสด้านออก

การควบคุมค่าแรงดันและจำกัดค่ากระแสด้านออกมีเป้าหมายเพื่อตรวจสอบแรงดันและแรงดันและกระแสด้านออกค่าวิกฤตการจำกัดค่าของ  $R_v$  และ  $R_i$  โดยจะพิจารณาค่าแรงดันและกระแสด้านออกเมื่อต่อกับโหลดตัวต้าน 3 ค่า คือ  $5 \Omega$ ,  $10 \Omega$  และ  $18 \Omega$  ซึ่งผลการทดสอบแสดงดังตารางที่ 4.1

ตารางที่ 4.1 แรงดันและกระแสค้านออกของวงจรควบคุมแรงดันและกระแสอัคปะจุ

ค่าจากการคำนวณ		ค่าจากการทดลอง						
		ไม่ต่อ โหลด	ตัวต้านทาน $5\ \Omega$	ตัวต้านทาน $10\ \Omega$	ตัวต้านทาน $18\ \Omega$	$V_{out}$ (V)	$I_{out}$ (A)	$V_{oc}$ (V)
4.5	0.4	4.4	2.042	0.4084	4.080	0.4080	4.291	0.2384
4.5	0.8	4.4	4.048	0.8096	4.202	0.4202	4.291	0.2384
4.5	1.2	4.4	4.331	0.8662	4.204	0.4204	4.293	0.2385
4.5	2	4.4	4.335	0.8670	4.206	0.4206	4.295	0.2386
4.5	ไม่จำกัด	4.4	4.336	0.8672	4.206	0.4206	4.301	0.2389
5	0.4	4.9	2.038	0.4076	4.096	0.4096	4.773	0.2652
5	0.8	4.9	4.047	0.8094	4.665	0.4665	4.773	0.2652
5	1.2	4.9	4.660	0.9320	4.666	0.4666	4.773	0.2652
5	2	4.9	4.682	0.9364	4.666	0.4666	4.773	0.2652
5	ไม่จำกัด	4.9	4.708	0.9416	4.666	0.4666	4.779	0.2655
8.5	0.4	8.4	2.040	0.4080	4.082	0.4082	7.350	0.4083
8.5	0.8	8.4	4.048	0.8096	8.090	0.8090	8.250	0.4583
8.5	1.2	8.4	6.080	1.2160	8.180	0.8180	8.230	0.4572
8.5	2	8.4	8.040	1.6080	8.180	0.8180	8.240	0.4578
8.5	ไม่จำกัด	8.4	8.040	1.6080	8.190	0.8190	8.250	0.4583

จากตารางที่ 4.1 จะเห็นว่าการจำกัดกระแสที่ 2 A ไม่สามารถทำได้ เนื่องจากมีการจำกัดแรงดันเข้ามาร่วมด้วย ทำให้แรงดันตกคร่อมตัวต้านทานมีค่าสูงสุดใกล้เคียงกับค่าแรงดันที่จำกัดไว้ ส่งผลให้กระแสไฟล์ผ่านโหลดตัวต้านทานไม่ถึงค่าที่จำกัดไว้ได้ ซึ่งเป็นไปตามกฎของโอลิม นอก จาก นี้ บังพบร่วมตัวต้านทาน  $5\ \Omega$  สามารถรับกระแสได้มากกว่าตัวต้านทาน  $10\ \Omega$  และ  $18\ \Omega$  ถ้าเปรียบเทียบกันที่ระดับแรงดันเดียวกัน เนื่องจากมีค่าความต้านทานต่ำที่สุด ทำให้ตัวต้านทาน  $5\ \Omega$  สามารถจำกัดกระแส 1.2 A ได้ที่การจำกัดแรงดัน 8.5 V ซึ่งตัวต้านทาน  $10\ \Omega$  และ  $18\ \Omega$  ไม่สามารถทำได้เนื่องจากมีการจำกัดค่าแรงดันทำให้ค่ากระแสเพิ่มไม่ถึง 1.2 A ดังนั้นวงจรควบคุมแรงดันและกระแสสามารถจำกัดค่าแรงดันด้านออกได้ทุกค่าและค่ากระแสได้ทุกค่าสำหรับกรณีที่ตัวต้านทานมีค่าต่ำ

#### 4.1.2 การวัดค่าดิวตี้ไซเคิลโดยใช้ออสซิลโลสโคป

หลังจากการทดสอบความสามารถในการควบคุมค่าแรงดันและจำกัดค่ากระแสต้านออก แล้ว เรานำวงจรทอนระดับแรงดันมาต่อโหลดตัวต้านทานขนาด  $5 \Omega$  โดยควบคุมค่าแรงดันและจำกัดค่ากระแสต้านออกพร้อมทั้งใช้ออสซิลโลสโคปปัจจุบันของแรงดันและกระแสต้านออก แล้วอ่านค่าดิวตี้ไซเคิลที่ได้จากการวัดสัญญาณนี้เปรียบเทียบกับค่าดิวตี้ไซเคิลจากการคำนวณซึ่งหาได้จากอัตราส่วนของแรงดันต้านออกต่อแรงดันต้านเข้า โดยค่าต่างๆ ที่ได้จากการทดสอบนี้แสดงดังตารางที่ 4.2

ตารางที่ 4.2 ค่าดิวตี้ไซเคิลของวงจรทอนระดับแรงดัน

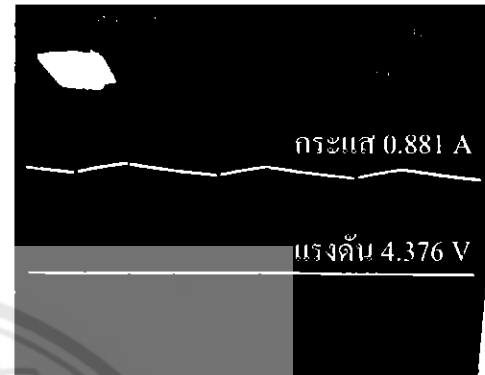
$V_{out}$ (V)	$I_{out}$ (A)	$V_{in}$ (V)	$V_{LOAD}$ (V)	$I_{LOAD}$ (A)	D	
					จากสัญญาณ	จากการคำนวณ
4.5	0.4	15.07	2.043	0.411	0.188	0.136
	0.8	15.05	4.052	0.817	0.313	0.269
	ไม่จำกัด	15.05	4.376	0.881	0.375	0.291
5	0.4	15.07	2.039	0.411	0.188	0.135
	0.8	15.06	4.052	0.817	0.313	0.269
	ไม่จำกัด	15.05	4.834	0.974	0.406	0.321
8.5	0.4	15.07	2.042	0.411	0.188	0.136
	0.8	15.05	4.054	0.817	0.313	0.269
	ไม่จำกัด	15.05	8.112	1.634	0.625	0.540

จากการทดสอบพบว่า ที่การจำกัดค่ากระแสต้านออก 0.4 A ซึ่งเป็นค่ากระแสตัว ในการจำกัดแรงดันทั้ง 3 ค่า จะได้ค่าดิวตี้ไซเคิลเมื่่าเท่ากับประมาณ 0.138 เนื่องจากกระแสที่โหลดผ่านตัวต้านทานถูกจำกัดทำให้แรงดันตกคร่อมตัวต้านทานนี้ค่าต่ำลงตามไปด้วยประมาณ 2.04 V โดยที่วงจรนี้สามารถจ่ายแรงดันให้กับตัวต้านทานสูงกว่าที่ได้ แต่มีอัตราดิวตี้ไซเคิลจากสัญญาณในรูปที่ 4.1 ก) 4.1 ค) และ 4.1 จ) มีค่าเท่ากับ 0.188 ซึ่งมีความคลาดเคลื่อนอยู่บ้าง แต่ถือว่าสามารถนำไปใช้งานได้ ส่วนกรณีไม่จำกัดกระแสจะได้ค่ากระแสตัวสูง (มากกว่า 0.8 A) ทั้ง 3 ระดับแรงดัน แต่จำกัดแรงดันไว้ที่ 8.5 V จะทำให้จ่ายกระแสได้มากที่สุด ทำให้ค่าดิวตี้ไซเคิลมีค่าสูงกว่า 0.5 โดยต่างจากการฉีกกระแสต้านที่ 4.5 V และ 5 V ซึ่งมีค่าดิวตี้ไซเคิลต่ำกว่า 0.5 เมื่อเปรียบเทียบค่าดิวตี้ไซเคิลจากสัญญาณในรูปที่ 4.1 ข) 4.1 จ) และ 4.1 ช) กับค่าที่ได้จากการคำนวณแล้วพบว่า มีความคลาดเคลื่อนเล็กน้อย นอกจากนี้รูปสัญญาณทั้งหมดในรูปที่ 4.1 จะสังเกตเห็นการกระชากร่องสัญญาณ (Spike) ในตำแหน่งที่เกิดการสวิตชิ่งเพื่อกระแสของตัวเหนี่ยวนำไม่สามารถเปลี่ยนแปลงลับพลันได้ โดยเกิดจากการตัดต่อวงจรของ Tip 32C ในสภาวะชั่วครู่ ซึ่งถือว่ามีผลกระทบต่อวงจรน้อยมาก ดังนั้นการทดสอบหาค่าดิวตี้ไซเคิลจากสัญญาณมีความคลาดเคลื่อน

จากค่าที่คำนวณประมาณ 0.053 ถึง 0.085 ซึ่งอาจเกิดจากความไม่เป็นอุคุณคติของอุปกรณ์ในวงจร หรือการสูญเสีย (Power losses) ในส่วนต่างๆ ของวงจรตอนระดับแรงดัน



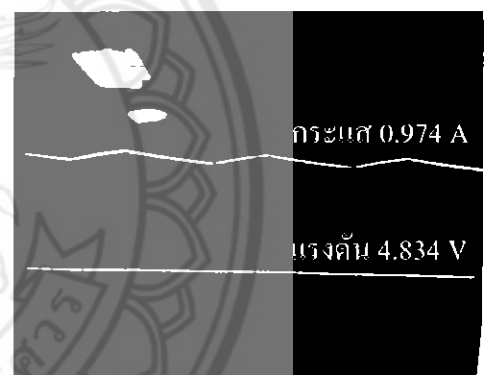
ก) แรงดันปรับตั้ง 4.5 V จำกัดกระแส 0.4 A



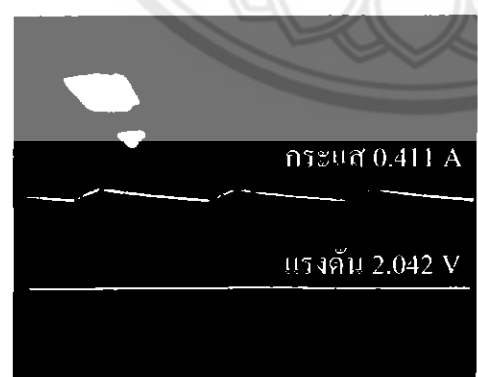
ข) แรงดันปรับตั้ง 4.5 V ไม่จำกัดกระแส



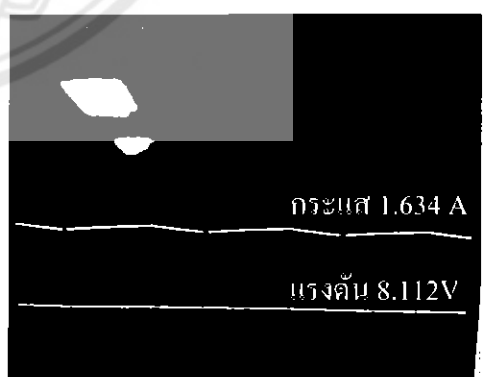
ค) แรงดันปรับตั้ง 5 V จำกัดกระแส 0.4 A



ง) แรงดันปรับตั้ง 5 V ไม่จำกัดกระแส



จ) แรงดันปรับตั้ง 8.4 V จำกัดกระแส 0.4 A



ฉ) แรงดันปรับตั้ง 8.4 V ไม่จำกัดกระแส

รูปที่ 4.1 รูปสัญญาณแรงดันและกระแสด้านนอกของวงจรตอนระดับแรงดัน

### 4.1.3 การทดสอบหาค่าประสิทธิภาพ

ในการทดสอบนี้เป็นการทดสอบเพื่อหาค่าประสิทธิภาพของจ่ายไฟบนระดับแรงดันโดยใช้แหล่งจ่ายพลังงาน 3 ประเภท คือไฟบ้านซึ่งจ่ายผ่านอะแดปเตอร์ขนาดแรงดัน 19 V 4.74 A แบตเตอรี่ร่องน้ำดีไซด์ 12 V และแฟลชเซลล์แสงอาทิตย์พิกัด 10 W แรงดัน 17.2 V กระแส 0.58 A ใน การทดสอบนี้มีการคุณค่าแรงดันและจํากัดกระแสสูงสุดค่านอก โดยต่อ กับตัวต้านทาน 2 ค่าคือ  $2.5 \Omega$  และ  $5 \Omega$  แล้ววัดค่าแรงดันและกระแสทั้งค้านเข้าและค้านออกเพื่อนำมาคำนวณหาค่าประสิทธิภาพ ผลการทดสอบแสดงในตารางที่ 4.3 ถึง 4.8

จากสมการที่ (2.12) เราสามารถหาค่าประสิทธิภาพของจ่ายไฟบนระดับแรงดันได้จากสมการที่ (4.1)

$$\eta = \frac{P_{out}}{P_{in}} \times 100\% = \frac{V_{LOAD} \cdot I_{LOAD}}{V_{in} \cdot I_{in}} \times 100\% \quad (4.1)$$

โดยที่

$V_{LOAD}$  คือ แรงดันต่อกล่องโอลด์ (V)

$I_{LOAD}$  คือ กระแสที่ไหลผ่านโอลด์ (A)

$V_{in}$  คือ แรงดันด้านเข้าของจ่ายไฟบนระดับแรงดัน (V)

$I_{in}$  คือ กระแสด้านเข้าของจ่ายไฟบนระดับแรงดัน (A)

ตารางที่ 4.3 ประสิทธิภาพของจ่ายไฟบนระดับแรงดันเมื่อใช้ไฟบ้านจ่ายผ่านอะแดปเตอร์และต่อโอลด์ตัวต้านทาน  $2.5 \Omega$

$V_{out}$ (V)	$I_{out}$ (A)	ตัวต้านทาน $2.5 \Omega$				
		$V_{LOAD}$ (V)	$I_{LOAD}$ (A)	$V_{in}$ (V)	$I_{in}$ (A)	$\eta$ (%)
4.23	0.4	1.025	0.410	18.95	0.084	26.40
	0.8	2.023	0.809	18.83	0.190	45.74
	1.2	3.027	1.211	18.66	0.341	57.61
	2	4.044	1.618	18.41	0.561	63.35
	ไม่จำกัด	4.036	1.614	18.41	0.559	63.30
4.99	0.4	1.026	0.410	18.95	0.084	26.43
	0.8	2.017	0.807	18.84	0.181	47.73
	1.2	3.027	1.211	18.66	0.339	57.95
	2	4.752	1.901	18.19	0.758	65.52
	ไม่จำกัด	4.752	1.901	18.19	0.757	65.60
8.44	0.4	1.027	0.411	18.95	0.084	26.52
	0.8	2.020	0.808	18.83	0.190	45.62
	1.2	3.024	1.210	18.66	0.339	57.84
	2	5.167	2.067	18.04	0.896	66.10
	ไม่จำกัด	-	-	-	-	-

ตารางที่ 4.4 ประสิทธิภาพของจังจรตอนระดับแรงดันเมื่อใช้ไฟบ้านจ่ายผ่านอะแดปเตอร์และต่อโหลดตัวต้านทาน  $5\ \Omega$

$V_{out}$ (V)	$I_{out}$ (A)	ตัวต้านทาน $5\ \Omega$				
		$V_{LOAD}$ (V)	$I_{LOAD}$ (A)	$V_{in}$ (V)	$I_{in}$ (A)	$\eta$ (%)
4.23	0.4	2.048	0.410	18.93	0.107	41.46
	0.8	4.066	0.813	18.73	0.283	62.36
	1.2	4.148	0.830	18.72	0.292	62.98
	2	4.148	0.830	18.72	0.292	62.98
	ไม่จำกัด	4.148	0.830	18.72	0.292	62.98
4.99	0.4	2.056	0.411	18.92	0.108	41.35
	0.8	4.068	0.814	18.72	0.283	62.50
	1.2	4.869	0.974	18.61	0.380	67.06
	2	4.869	0.974	18.61	0.380	67.06
	ไม่จำกัด	4.869	0.974	18.61	0.380	67.06
8.44	0.4	2.048	0.410	18.93	0.107	41.45
	0.8	4.059	0.812	18.73	0.283	62.18
	1.2	6.090	1.218	18.41	0.564	71.44
	2	8.000	1.600	18.00	0.933	76.22
	ไม่จำกัด	8.000	1.600	18.00	0.933	76.22

จากตารางที่ 4.3 และ 4.4 จะเห็นว่าเมื่อใช้อะแดปเตอร์ขนาดแรงดัน 19 V กระแส 4.74 A เป็นแหล่งจ่ายพลังงานให้กับวงจรควบคุมแรงดันและกระแสอัคปะจุ เมื่อจำกัดค่ากระแสที่ 0.4 A และจำกัดแรงดันที่ 3 กรณีพบว่าค่าประสิทธิภาพของจังจรเมื่อต่อตัวต้านทาน  $5\ \Omega$  มีค่าสูงกว่า จังจรที่ต่อ กับตัวต้านทาน  $2.5\ \Omega$  เนื่องจากมีค่าแรงดันคงกรรอมตัวต้านทาน  $5\ \Omega$  สูงกว่า นอกจากราคาที่ค่าประสิทธิภาพที่การจำกัดแรงดันค่าๆหนึ่งจะมีค่าเพิ่มขึ้นตามการจำกัดกระแสที่สูงขึ้น

จากตารางที่ 4.5 และ 4.6 จะเห็นว่าเมื่อใช้แบตเตอรี่รดชนต์ขนาดแรงดัน 12 V เป็นแหล่งจ่ายพลังงานให้กับวงจรควบคุมแรงดันและกระแสอัคปะจุ เมื่อจำกัดค่ากระแสที่ 0.4 A และจำกัดแรงดันที่ 3 กรณีพบว่าค่าประสิทธิภาพของจังจรเมื่อต่อตัวต้านทาน  $5\ \Omega$  มีค่าสูงกว่า จังจรที่ต่อ กับตัวต้านทาน  $2.5\ \Omega$  เนื่องจากมีค่าแรงดันคงกรรอมตัวต้านทาน  $5\ \Omega$  สูงกว่า นอกจากราคาที่ค่าประสิทธิภาพที่การจำกัดแรงดันค่าๆหนึ่งจะมีค่าเพิ่มขึ้นตามการจำกัดกระแสที่สูงขึ้น ซึ่งผลที่ได้นี้เหมือนกับกรณีใช้อะแดปเตอร์เป็นแหล่งพลังงาน

ตารางที่ 4.5 ประสิทธิภาพของจ่ายไฟด้วยแบตเตอรี่รีดบันต์และต่อโหลดตัวค้านทาน  $2.5 \Omega$

$V_{out}$ (V)	$I_{out}$ (A)	ตัวค้านทาน $2.5 \Omega$				
		$V_{LOAD}$ (V)	$I_{LOAD}$ (A)	$V_{in}$ (V)	$I_{in}$ (A)	$\eta$ (%)
4.23	0.4	1.021	0.408	12.37	0.107	31.50
	0.8	2.017	0.810	12.12	0.257	52.24
	1.2	3.030	0.829	11.69	0.514	61.12
	2	4.059	0.829	10.90	0.957	63.18
	ไม่จำกัด	4.052	0.829	10.86	0.959	63.06
4.99	0.4	1.022	0.409	12.38	0.102	33.09
	0.8	2.018	0.810	12.13	0.257	52.25
	1.2	3.030	0.973	11.69	0.514	61.12
	2	4.750	0.973	10.09	1.470	60.85
	ไม่จำกัด	4.750	0.973	10.03	1.496	60.15
8.44	0.4	1.021	0.409	12.38	0.108	31.19
	0.8	2.017	0.810	12.12	0.256	52.45
	1.2	3.030	1.217	11.69	0.541	58.07
	2	5.141	1.560	9.10	2.060	56.40
	ไม่จำกัด	5.135	1.560	9.10	2.058	56.32

ตารางที่ 4.6 ประสิทธิภาพของจ่ายไฟด้วยแบตเตอรี่รีดบันต์และต่อโหลดตัวค้านทาน  $5 \Omega$

$V_{out}$ (V)	$I_{out}$ (A)	ตัวค้านทาน $5 \Omega$				
		$V_{LOAD}$ (V)	$I_{LOAD}$ (A)	$V_{in}$ (V)	$I_{in}$ (A)	$\eta$ (%)
4.23	0.4	2.042	0.4084	12.27	0.140	48.55
	0.8	4.050	0.807	11.81	0.405	68.56
	1.2	4.143	1.212	11.78	0.421	69.22
	2	4.143	1.623	11.78	0.421	69.22
	ไม่จำกัด	4.143	1.621	11.78	0.421	69.22
4.99	0.4	2.044	0.409	12.28	0.140	48.60
	0.8	4.051	0.807	11.82	0.404	68.73
	1.2	4.867	1.212	11.54	0.563	72.92
	2	4.867	1.9	11.54	0.563	72.92
	ไม่จำกัด	4.867	1.9	11.58	0.555	73.71
8.44	0.4	2.044	0.4084	12.30	0.136	49.95
	0.8	4.051	0.807	11.58	0.400	70.86
	1.2	6.084	1.212	11.06	0.863	77.56
	2	7.800	2.056	9.85	1.569	78.73
	ไม่จำกัด	7.800	2.054	9.86	1.568	78.70

ตารางที่ 4.7 ประสิทธิภาพของวงจรตอนระดับแรงดันเมื่อจ่ายไฟด้วยแบตเตอรี่และต่อโหลดตัวค้านทาน  $2.5 \Omega$

$V_{out}$ (V)	$I_{out}$ (A)	ตัวค้านทาน $2.5 \Omega$				
		$V_{LOAD}$ (V)	$I_{LOAD}$ (A)	$V_{in}$ (V)	$I_{in}$ (A)	$\eta$ (%)
4.23	0.4	1.049	0.420	18.06	0.087	28.01
	0.8	2.035	0.814	17.34	0.196	48.74
	1.2	-	-	-	-	-
	2	-	-	-	-	-
	ไม่จำกัด	-	-	-	-	-
4.99	0.4	1.110	0.444	18.05	0.093	29.36
	0.8	2.026	0.810	17.39	0.195	48.42
	1.2	-	-	-	-	-
	2	-	-	-	-	-
	ไม่จำกัด	-	-	-	-	-
8.44	0.4	1.025	0.410	18.43	0.085	26.83
	0.8	2.018	0.807	17.67	0.194	47.52
	1.2	-	-	-	-	-
	2	-	-	-	-	-
	ไม่จำกัด	-	-	-	-	-

ตารางที่ 4.8 ประสิทธิภาพของวงจรตอนระดับแรงดันเมื่อจ่ายไฟด้วยแบตเตอรี่และต่อโหลดตัวค้านทาน  $5 \Omega$

$V_{out}$ (V)	$I_{out}$ (A)	ตัวค้านทาน $5 \Omega$				
		$V_{LOAD}$ (V)	$I_{LOAD}$ (A)	$V_{in}$ (V)	$I_{in}$ (A)	$\eta$ (%)
4.23	0.4	2.046	0.409	17.84	0.111	42.28
	0.8	-	-	-	-	-
	1.2	-	-	-	-	-
	2	-	-	-	-	-
	ไม่จำกัด	-	-	-	-	-
4.99	0.4	2.045	0.409	17.99	0.110	42.27
	0.8	-	-	-	-	-
	1.2	-	-	-	-	-
	2	-	-	-	-	-
	ไม่จำกัด	-	-	-	-	-
8.44	0.4	2.044	0.409	18.01	0.110	42.18
	0.8	-	-	-	-	-
	1.2	-	-	-	-	-
	2	-	-	-	-	-
	ไม่จำกัด	-	-	-	-	-

จากตารางที่ 4.7 และ 4.8 จะเห็นว่าเมื่อใช้แผลงเซลล์แสงอาทิตย์ขนาด 10 W แรงดัน 17.2 V กระแส 0.58 A เป็นแหล่งจ่ายพลังงานให้กับวงจรควบคุมแรงดันและกระแสอัคปะจุสามารถจำกัดค่ากระแสได้เพียง 0.8 A เมื่อต่อวงจรกับตัวด้านหาน  $2.5 \Omega$  และจำกัดค่ากระแสได้เพียง 0.4 A เมื่อต่อวงจรกับตัวด้านหาน  $5 \Omega$  เมื่อจากแผลงเซลล์แสงอาทิตย์จ่ายกระแสให้กับตัวด้านหานได้ไม่เกิน 0.8 A ทำให้การทดสอบที่การจำกัดกระแสสูงกว่า 0.8 A ทำให้ค่าแรงดันและกระแสด้านเข้าผิดปกติจากความเป็นจริง ถือเป็นข้อจำกัดของแผลงเซลล์แสงอาทิตย์รุ่นที่นำมาทดลองกับวงจรนี้

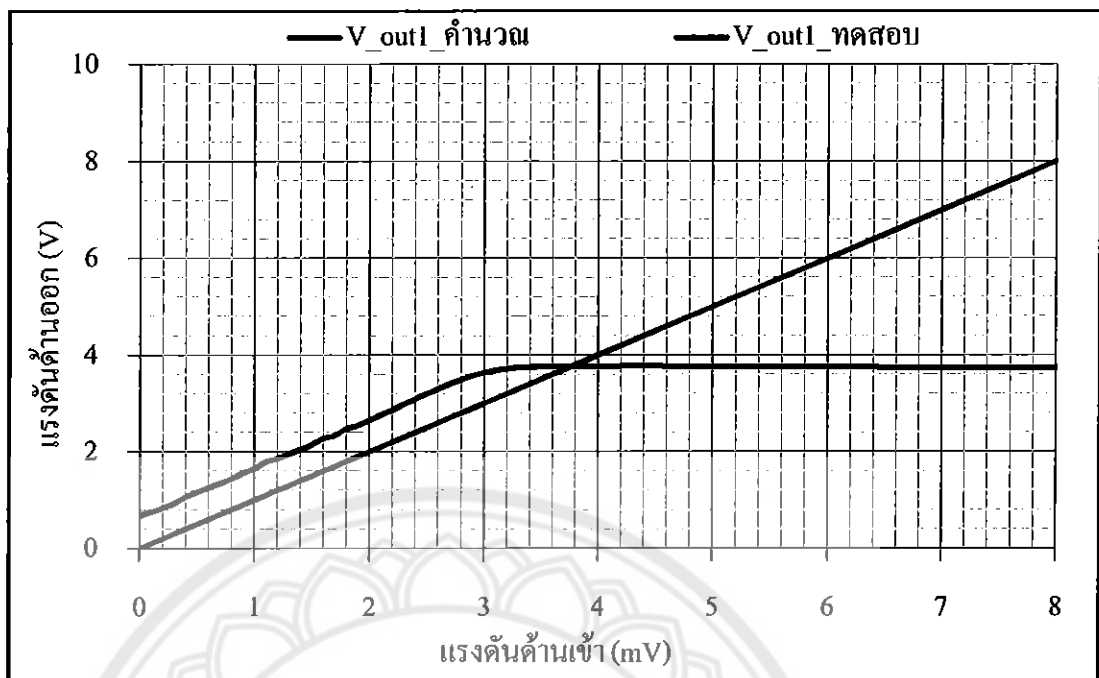
จากการทดสอบที่ผ่านมาสรุปได้ว่า เมื่อใช้อะแดปเตอร์แบบเตอร์เรตชนิดและแผลงเซลล์แสงอาทิตย์เป็นแหล่งจ่ายพลังงานเพื่อจ่ายให้วงจรควบคุมแรงดันและกระแสอัคปะจุ ซึ่งได้ค่าประสิทธิภาพเป็นไปในทางเดียวกันคือ เมื่อจำกัดค่ากระแสที่ 0.4 A และจำกัดแรงดันที่ 3 กรณีพบว่าค่าประสิทธิภาพของวงจรที่ต่อตัวด้านหาน  $5 \Omega$  มีค่าสูงกว่าวงจรที่ต่อ กับตัวด้านหาน  $2.5 \Omega$  เมื่อจากนี้ค่าแรงดันต่ำกว่าตัวด้านหาน  $5 \Omega$  สูงกว่าตัวด้านหาน  $2.5 \Omega$  ที่กระแสไฟล์ผ่านตัวด้านหานเท่ากัน ซึ่งเป็นตามกฎของโอล์ม นอกจากนี้ค่าประสิทธิภาพที่การจำกัดแรงดันค่าๆ หนึ่งจะมีค่าเพิ่มขึ้นตามการจำกัดกระแสที่สูงขึ้น

## 4.2 การทดสอบวงจรตัดกระแสอัคปะจุ

ในโครงการนี้ได้ออกแบบวงจร และทดสอบวงจรการสืบสุกการอัคปะจุ เพื่อค่าตัดกระแสอัคปะจุเมื่อตามค่าที่ตั้งไว้ ทำให้วงจรหยุดทำงาน โดยในวงจรตัดกระแสอัคปะจุประกอบด้วยวงจรขยายไม่กลับขั้ว และวงจรเปรียบเทียบแรงดัน ซึ่งผลการทดลองจะกล่าวในหัวข้อถัดไป

### 4.2.1 การทดสอบวงจรขยายไม่กลับขั้ว

การทดสอบวงจรขยายไม่กลับขั้วมีเป้าหมายเพื่อตรวจสอบค่าแรงดันด้านออกของวงจรขยายไม่กลับขั้ว ( $V_{out}$ ) สำหรับกำหนดค่าแรงดันอ้างอิงให้กับวงจรเปรียบเทียบแรงดัน โดยในการทดสอบจะป้อนแรงดันด้านเข้า ( $V_{in}$ ) เพิ่มครั้งละ  $0.1 \text{ mV}$  ให้กับวงจรขยายไม่กลับขั้วแล้วทำการวัดค่าแรงดัน  $V_{out}$  แล้วบันทึกผล แล้วนำค่าแรงดัน  $V_{out}$  ที่ได้จากการทดสอบมาเปรียบเทียบกับค่าที่กำหนด ผลการทดสอบแสดงดังรูปที่ 4.2

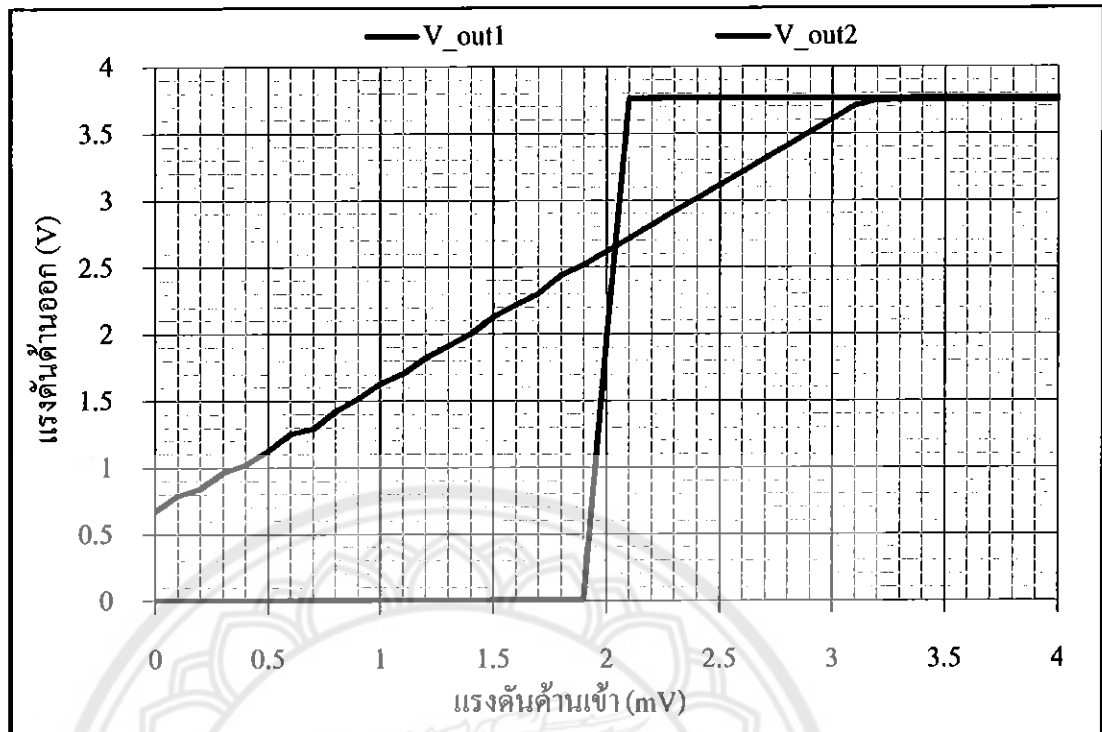


รูปที่ 4.2 ผลการทดสอบวงจรขยายไม่กลับข้อ

จากรูปที่ 4.2 จะเห็นว่าเมื่อป้อนแรงดันด้านเข้าของวงจรขยายไม่กลับข้อ แล้ววัดค่าแรงดันด้านออก  $V_{out1}$  พบร่วงค่าที่ได้มีความคลาดเคลื่อนเมื่อเปรียบเทียบค่าที่ได้จากการคำนวณ เนื่องจากไฟเลี้ยงที่จ่ายให้วงจร มีค่า 0 V และ 5 V ทำให้เกิดแรงดันออกไฟฟ้า ( $V_{out1}$ ) ประมาณ 0.6 V ส่งผลให้แรงดันด้านออก  $V_{out1}$  มีค่าสูงขึ้นอีก 0.6 V จากค่าที่ออกแบบไว้ดังนี้แรงดันด้านออกที่แท้จริงเมื่อหักค่าแรงดันออกไฟฟ้าออก ค่าที่ได้มีค่าใกล้เคียงกับค่าที่คำนวณ แต่เมื่อป้อนแรงดันด้านเข้าให้สูงขึ้น มีค่าตั้งแต่ 4 mV ขึ้นไป ในช่วงนี้พบว่าค่าแรงดัน  $V_{out1}$  ที่อ่านค่าจากรูปที่ 4.2 ไม่เป็นเชิงเส้นและมีความคลาดเคลื่อนจากค่าที่แท้จริง เนื่องจากอุปกรณ์ได้รับไฟเลี้ยง 5 V จึงให้แรงดันด้านออกสูงสุด 3.76 V ดังนี้จากการทดสอบพบว่าแรงดันด้านออกมีแตกต่างจากการคำนวณจึงเลือกใช้ค่าจากการทดสอบเพื่อปรับตั้งแรงดันอ้างอิง ( $V_{pick-up}$ ) ให้กับวงจรเปรียบแรงดันต่อไป

#### 4.2.2 การทดสอบวงจรเปรียบเทียบแรงดัน

การทดสอบวงจรเปรียบเทียบแรงดันนี้เป้าหมายเพื่อตรวจสอบแรงดันด้านออก ( $V_{out2}$ ) ซึ่งบ่งบอกถึงลักษณะการทำงานของวงจรเปรียบเทียบ ในการทดสอบจะปรับตั้งแรงดันอ้างอิง ( $V_{pick-up}$ ) เพื่อให้วงจรเปรียบเทียบแรงดันสร้างโดยจิกตัวเมื่อป้อนแรงดันด้านเข้าให้กับวงจรขยายไม่กลับข้อมีค่าต่ำกว่า 2.0 mV ซึ่งจากการทดสอบดังรูปที่ 4.2 จึงได้กำหนดแรงดันอ้างอิงไว้ที่ค่า 2.610 V เพื่อนำเปรียบเทียบกับค่าจากแรงดัน  $V_{out1}$  ของวงจรขยายไม่กลับข้อ จากการทดสอบการทำงานของวงจรเปรียบเทียบจะแสดงในรูปที่ 4.3



รูปที่ 4.3 ผลการทดสอบของวงจรเปรียบเทียบแรงดัน

จากรูปที่ 4.3 จะเห็นว่าการทำงานของวงจรเปรียบเทียบแรงดันแบ่งออกเป็น 3 ช่วง คือ ช่วงแรกเป็นช่วงที่ป้อนแรงดันด้านเข้าให้กับวงจรขยายไม่กลับขึ้นมีค่าสูงกว่า 2.0 mV ช่วงนี้วงจรเปรียบเทียบแรงดันสร้างลอกิจสูงอกรกมานั่นเองหากแรงดัน  $V_{out1}$  ของวงจรขยายไม่กลับขึ้นให้แรงดันสูงกว่าค่าแรงดันอ้างอิง และได้แรงดัน  $V_{out2}$  มีค่าประมาณ 3.76 V ช่วงที่สองป้อนแรงดันด้านเข้าให้กับวงจรขยายมีค่าเท่า 2.0 mV ช่วงนี้วงจรเปรียบเทียบจะทำงานคลาดเคลื่อนจากความเป็นจริงเนื่องจากแรงดันออกของวงจรขยายแรงดันไม่กลับขึ้นให้ค่าแรงดันมีค่าไม่คงที่ ซึ่งเกิดจากการแกว่งของค่าแรงดัน  $V_{out1}$  ส่งผลให้วงจรเปรียบเทียบสร้างลอกิจสูงแต่ต่ำสั้นกัน ทำให้ค่าแรงดัน  $V_{out2}$  เกลี่ยของวงจรเปรียบเทียบมีค่าประมาณ 1.9 V และช่วงที่สามคือช่วงที่ป้อนแรงดันด้านเข้าให้กับวงจรขยายไม่กลับขึ้นมีค่าต่ำกว่า 2.0 mV ช่วงนี้วงจรเปรียบแรงดันสร้างลอกิจต่ำ เพราะแรงดันด้านออกของวงจรขยายไม่กลับขึ้นให้แรงดันต่ำกว่าค่าแรงดันอ้างอิง และได้แรงดัน  $V_{out2}$  มีค่าประมาณ 0 V ดังนั้นวงจรเปรียบเทียบแรงดันที่สร้างขึ้นสามารถทำงานได้ตามที่ออกแบบไว้ได้ 2 ช่วง คือช่วงค่าแรงดันด้านเข้าสูงหรือต่ำกว่า 2.0 V และช่วงแรงดันด้านเข้ามีค่าเท่ากับ 2.0 V วงจรจะไม่ทำงานตามที่ออกแบบไว้ เนื่องจากตัวอปเปอเรเตอร์ที่ใช้ไม่สามารถเปลี่ยนแปลงแรงดันฉันพลันได้ด้วยเหตุนี้จึงสร้างวงจรควบคุมการทำงานของรีเล耶ซึ่งจะกล่าวในหัวข้อถัดไป

### 4.2.3 การควบคุมการทำงานของรีเลย์

การทดสอบการควบคุมการทำงานของรีเลย์มีเป้าหมายเพื่อตรวจสอบการทำงานของรีเลย์ทั้งสองตัวเพื่อนำไปใช้ในวงจรตัดกระแส โดยในการทดสอบจะต่อวงจรควบคุมการทำงานของรีเลย์เข้ากับวงจรเบรียบเทียบแรงดันและวงจรขยายแรงดัน โดยปรับแรงดันด้านเข้าป้อนให้วงจรขยายให้สร้างแรงดัน  $V_{out}$  เพื่อเบรียบกับแรงดันอ้างอิงในวงจรเบรียบเทียบแรงดัน ในที่นี้ห้องแรงดันอ้างอิงไว้ที่ค่า  $2.610 \text{ V}$  แล้วสังเกตการณ์การทำงานของรีเลย์ทั้งสองตัว จากการทดสอบวงจรควบคุมการทำงานของรีเลย์แสดงดังตารางที่ 4.9

ตารางที่ 4.9 ผลการทดสอบการควบคุมการทำงานของรีเลย์

สถานะของสวิตช์ S3	$V_m (\text{V})$	แรงดันต่อกลุ่มรีเลย์		หน้าสัมผัสของรีเลย์		
		R1	R2	R1 (NO)	R1 (NC)	R2 (NC)
ก่อนกดสวิตช์	2.3	0	4.954	เปิด	ปิด	เปิด
	2.3	4.951	0	ปิด	เปิด	ปิด
	2.2	4.951	0	ปิด	เปิด	ปิด
	2.1	4.951	0	ปิด	เปิด	ปิด
	2.0	0	4.954	เปิด	ปิด	เปิด
	1.9	0	4.954	เปิด	ปิด	เปิด

จากตารางที่ 4.9 จะเห็นการทำงานของวงจรควบคุมการทำงานของรีเลย์ดังนี้ เมื่อจ่ายไฟให้กับวงจรควบคุมการทำงานของรีเลย์ ในขณะก่อนกดสวิตช์ S3 มีแรงดันนาฬิกคร่อมรีเลย์ R2 ทำงาน หน้าสัมผัสของรีเลย์ R2 มีหน้าสัมผัสชนิด NC เปลี่ยนสถานะและเปิดวงจรออก ทำให้รีเลย์ R1 ไม่ทำงาน เมื่อกดสวิตช์ S3 รีเลย์ R2 หยุดทำงาน ทำให้หน้าสัมผัสของรีเลย์กัดับสภาพะเดิม เพื่อให้รีเลย์ R1 ทำงานเมื่อได้รับลองจิกสูงจากวงจรเบรียบที่ขึ้น ส่งผลให้หน้าสัมผัสของรีเลย์ R1 ซึ่งมีหน้าสัมผัส 2 ชุด คือ NO และ NC เปลี่ยนสถานะ โดยหน้าสัมผัส NC ของรีเลย์ R1 ทำให้รีเลย์ R2 ไม่ทำงาน เมื่อปล่อยสวิตช์ S3 ออก แล้วเมื่อปรับค่าแรงดันอินพุตมีค่าเท่ากับ  $2.0 \text{ mV}$  ในช่วงนี้วงจรเบรียบที่ขึ้นจะสร้างลองจิกสูงและต่ำสลับกัน แต่เมื่อวงจรควบคุมการทำงานของรีเลย์ได้ได้ลองจิกต่ำเพียงชั่วครู่ รีเลย์ R1 จะหยุดทำงานทำให้รีเลย์ R1 หยุดทำงาน หน้าสัมผัสของรีเลย์ R1 กับสูงสภาวะเดิมทำให้หน้าสัมผัส NC ของรีเลย์ R1 ต่อวงจร ทำให้รีเลย์ R2 ทำงาน เมื่อรีเลย์ R2 ทำงาน แม้ได้รับลองจิกสูงจากวงจรเบรียบที่ขึ้นรีเลย์ R1 ยังคงไม่ทำงาน ดังนั้นวงจรควบคุมการทำงานของรีเลย์ทำให้รีเลย์ทำงานได้เป็นปกติเมื่อจะอยู่ในช่วงแรงดันไม่คงที่ และสามารถทำงานได้ตามที่กำหนดไว้ ด้วยเหตุจึงนำไปสร้างเป็นวงจรตัดกระแสอัปประจุในตัวควบคุมแรงดันและกระแสอัปประจุ

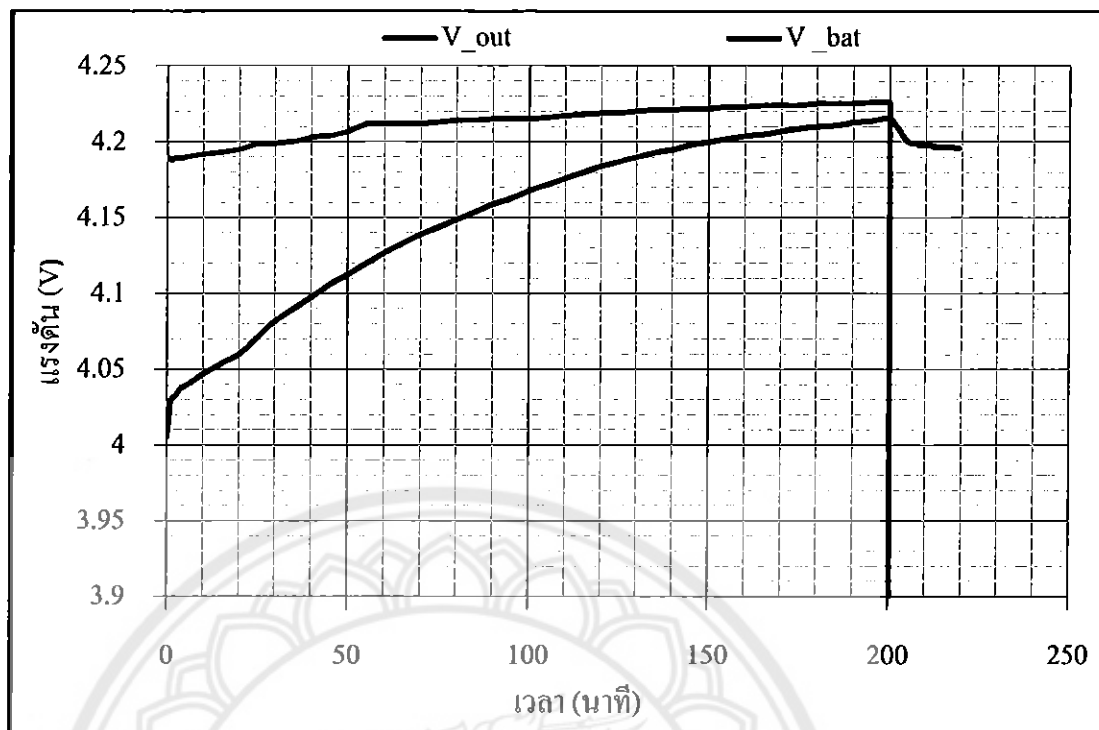
### 4.3 การทดสอบตัวความคุณการอัดประจุ

หลังจากที่ได้ทำการทดสอบวงจรควบคุมแรงดันและกระแสอัดประจุ และวงจรตัดกระแสอัดประจุแล้วจะได้สร้างตัวความคุณการอัดประจุขึ้นมาเพื่อนำมาใช้อัดประจุแบบเตอร์ไทร์ที่เคลื่อนที่ โดยในการทดสอบตัวความคุณการอัดประจุมีเป้าหมายเพื่อตรวจสอบการทำงานของวงจรและกระแสอัดประจุและวงจรตัดกระแสอัดประจุในระหว่างเริ่มจนกระทั่งสิ้นสุดการอัดประจุโดยใช้อะแดปเตอร์และแผงเซลล์แสงอาทิตย์เป็นแหล่งจ่ายพลังงาน ซึ่งในการทดสอบจะพิจารณาค่าแรงดันและกระแสอัดประจุโดยแบ่งออกเป็น 2 แบบ คือ แบบแรกจะพิจารณาตามอะแดปเตอร์คู่ตัว คือ จะเลือกแรงดันและกระแสตามอะแดปเตอร์ของแบตเตอรี่รืนระนูไว้ และแบบที่สองจะพิจารณาค่ากระแสอัดประจุโดยใช้หลักการ  $0.5C$  เช่น แบตเตอรี่มีขนาด  $1,000 \text{ mAh}$  จะใช้ค่ากระแสอัดประจุ  $500 \text{ mA}$  ( $0.5 \times 1000$ ) เป็นต้น ซึ่งในการทดสอบนี้ โหลดที่ใช้ต่อ กับตัวความคุณการอัดประจุ แบ่งออกเป็นสองกรณี คือ กรณีโหลดเป็นแบตเตอร์และกรณีโหลดเป็นไทร์ที่เคลื่อนที่ โดยผลการทดสอบแต่ละกรณีของโหลดจะถูกต่อไปในส่วนด้านล่าง

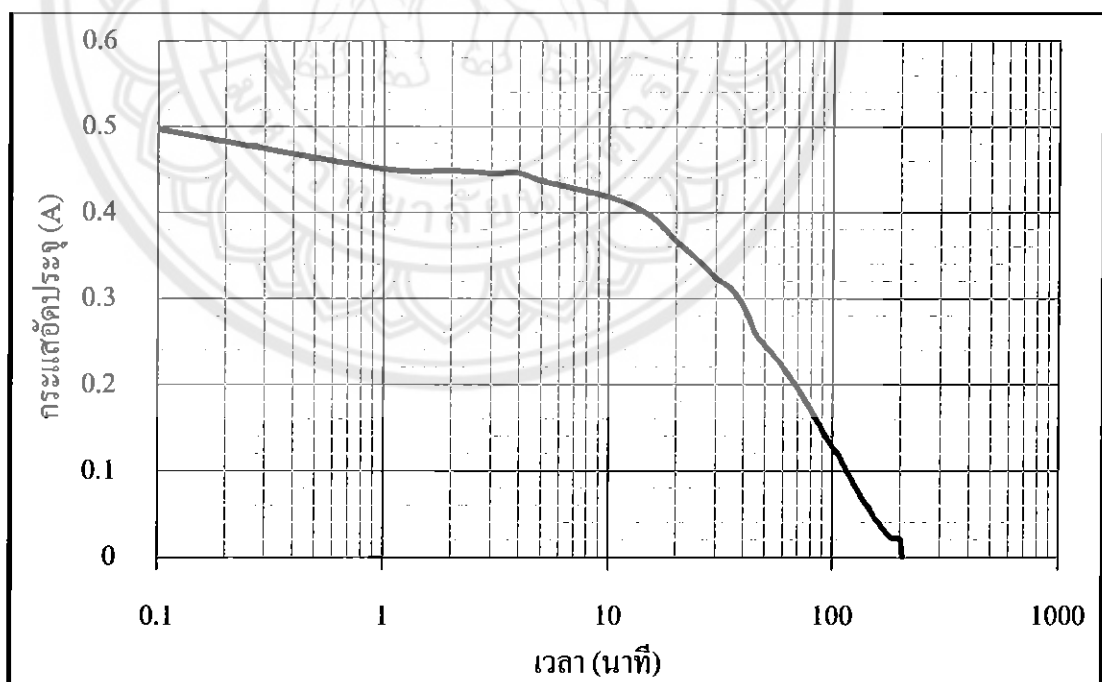
#### 4.3.1 การอัดประจุแบบเตอร์โดยตรง

ในการทดสอบนี้มีเป้าหมายเพื่อตรวจสอบลักษณะการขึ้นลงของค่าแรงดันและกระแสอัดประจุแบบเตอร์ รวมทั้งค่าแรงดันของแบตเตอร์หลังจากที่อัดประจุเสร็จสิ้น ในการทดสอบการอัดประจุนี้ใช้โหลดเป็นแบตเตอร์โดยแบ่งออกเป็น 2 กรณี คือ แบตเตอรี่ของไทร์ที่เคลื่อนที่ มีความจุ  $1,260 \text{ mAh}$  และแบตเตอรี่ของกล้องถ่ายภาพดิจิตอลมีความจุ  $800 \text{ mAh}$  ในการทดสอบโหลดแบตเตอรี่ของไทร์ที่เคลื่อนที่จะปรับตั้งแรงดันอัดประจุไว้ที่  $4.2 \text{ V}$  และกำหนดค่ากระแสตามที่ระบุไว้กับอะแดปเตอร์คู่ตัว คือ  $0.7 \text{ A}$  โดยจ่ายไฟผ่านอะแดปเตอร์  $19 \text{ V} / 4.74 \text{ A}$  ให้ตัวความคุณการอัดประจุ และในการทดสอบโหลดเป็นแบตเตอรี่ของกล้องถ่ายภาพดิจิตอลได้ปรับตั้งแรงดันอัดประจุไว้ที่  $4.2 \text{ V}$  และกำหนดค่ากระแสโดยใช้หลักการ  $0.5 C$  คือค่ากระแส  $0.4 \text{ A}$  โดยใช้แผงเซลล์แสงอาทิตย์ขนาด  $10 \text{ W}$  เป็นแหล่งจ่ายพลังงาน ผลการทดสอบข้างต้นแสดงในรูปที่ 4.4 ถึง 4.7

จากรูปที่ 4.4 และ 4.5 แสดงการอัดประจุแบบเตอร์ของไทร์ที่เคลื่อนที่ห้อแอลจีขนาด  $1260 \text{ mAh}$  โดยปรับตั้งค่าแรงดันอัดประจุไว้ที่  $4.2 \text{ V}$  และกำหนดกระแสอัดประจุตามที่ระบุไว้กับอะแดปเตอร์คู่ตัว ซึ่งมีค่าเท่ากับ  $0.7 \text{ A}$  โดยใช้ไฟบ้านเป็นแหล่งจ่ายพลังงานผ่านอะแดปเตอร์ขนาดแรงดัน  $19 \text{ V}$  กระแส  $4.74 \text{ A}$



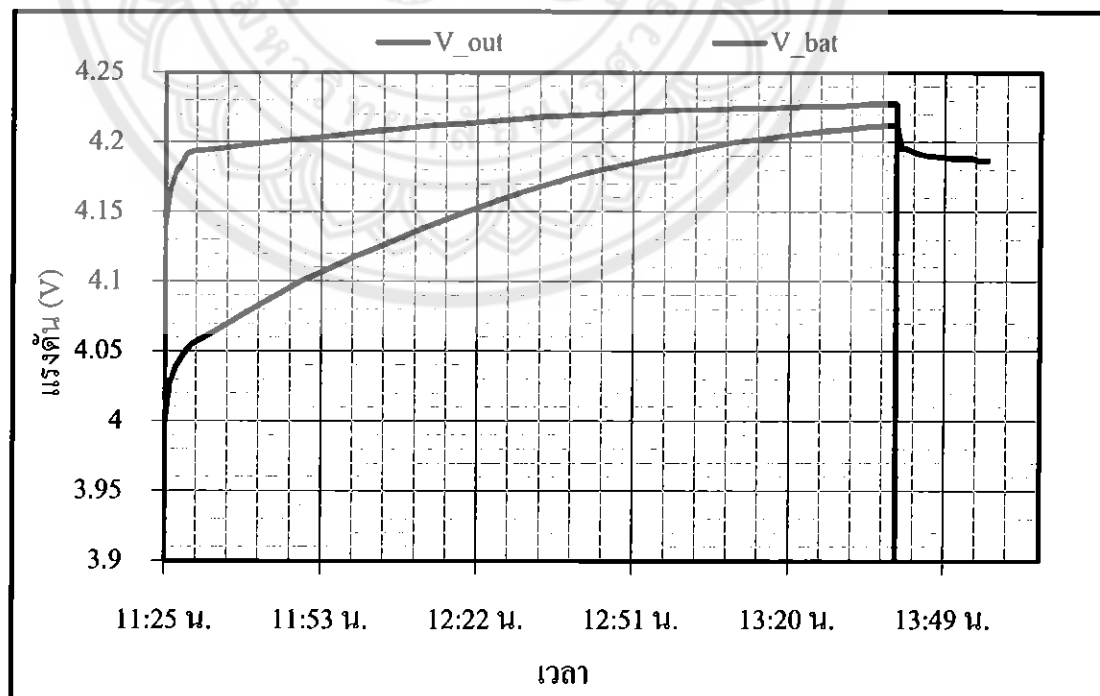
รูปที่ 4.4 การเปลี่ยนแปลงของแรงดันในระหว่างอัคประจุแบบเตอร์วิ่งของโทรศัพท์เคลื่อนที่ขนาดความจุ 1,260 mAh โดยตั้งค่าแรงดันที่ 4.2 V และกระแสสูงสุดที่ 0.7 A



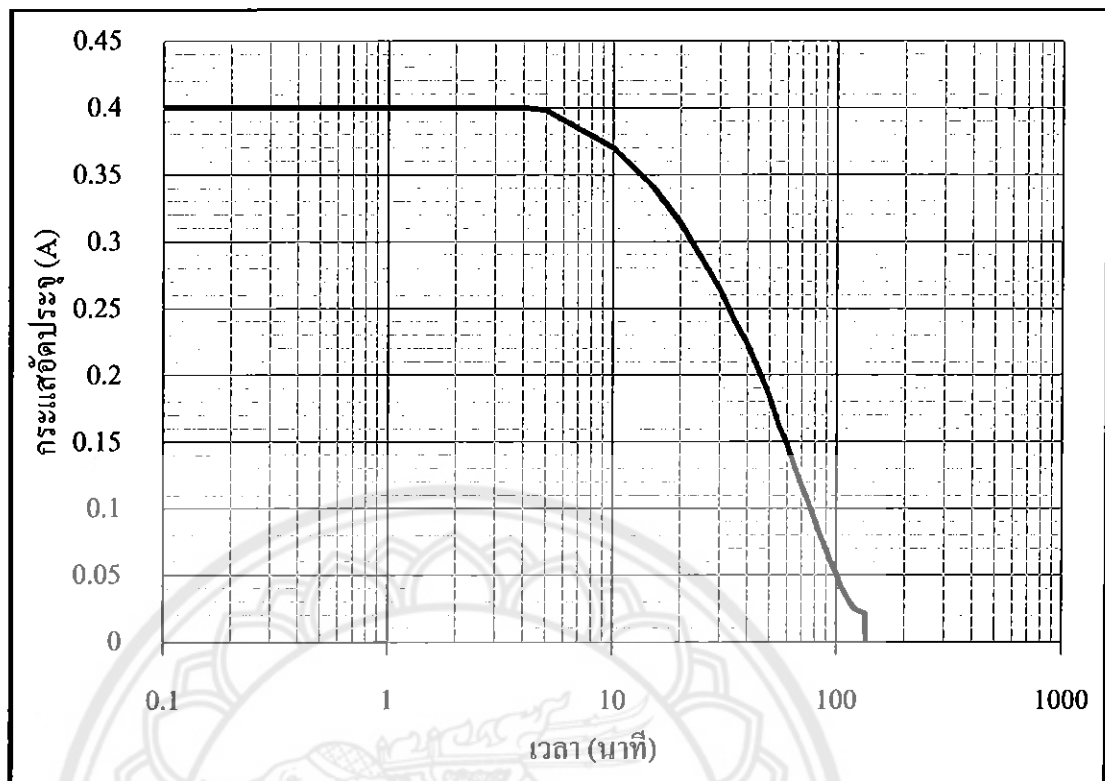
รูปที่ 4.5 การเปลี่ยนแปลงของกระแสในระหว่างอัคประจุแบบเตอร์วิ่งของโทรศัพท์เคลื่อนที่ขนาดความจุ 1,260 mAh โดยตั้งค่าแรงดันที่ 4.2 V และกระแสสูงสุดที่ 0.7 A

จากการทดสอบข้างต้นพบว่า ในช่วงแรกค่ากระแสอัตราด้วยมีค่าไม่ตรงกับค่าที่ออกแบบไว้เนื่องจากความแตกต่างระหว่างแรงดันอัตราด้วยกับแรงดันแบบเตอร์ ซึ่งความแตกต่างของแรงดันนี้ส่งผลให้ค่ากระแสที่ได้ไม่เพียงพอสำหรับการจำกัดค่ากระแสที่ 0.7 A จึงทำให้ค่ากระแสเริ่มต้นมีค่าประมาณ 0.5 A และลดลงอย่างต่อเนื่องจนถึง 20 mA ทำให้วางรัศมีแรงดันทำงานส่งผลให้การอัตราด้วยสูงลง ซึ่งการอัตราด้วยแรงดัน 4.2 V ใช้เวลาค่อนข้างนาน แต่แรงดันของแบบเตอร์หลังจากการอัตราด้วยเสร็จสิ้นแล้วมีค่าลดลงน้อยมาก

รูปที่ 4.6 และ 4.7 แสดงการอัตราด้วยแบบเตอร์ของกล้องถ่ายภาพดิจิตอลยี่ห้อซัมซุงขนาด 800 mAh โดยกำหนดแรงดันอัตราด้วยไว้ที่ 4.2 V และกระแสอัตราด้วย 0.5C (0.4 A) ซึ่งใช้เซลล์แสงอาทิตย์ขนาด 10 W แรงดัน 17.2 V กระแส 0.58 A เป็นแหล่งจ่ายพลังงาน จากการทดสอบดังกล่าวพบว่า ใกล้เคียงกับการอัตราด้วยแบบเตอร์ของโทรศัพท์เคลื่อนที่โดยใช้ไฟบ้านจ่ายผ่านอะแดปเตอร์ แต่มีความแตกต่างกันในช่วงแรกคือ ค่ากระแสเริ่มต้นเป็นไปตามค่าที่ออกแบบไว้ และมีค่าคงที่ในช่วงระยะเวลาสั้นๆ จากนั้นจึงลดลงอย่างต่อเนื่องจนถึงค่ากระแสต่อวงจรที่กำหนดคือ 20 mA วงรัศมีแรงดันทำงาน และค่าแรงดันแบบเตอร์หลังจากการอัตราด้วยเสร็จสิ้นมีค่าลดลงเล็กน้อย ดังนั้นผลการทดสอบซึ่งให้เห็นว่าตัวควบคุมการอัตราด้วยกรีโน๊ตเป็นแบบเตอร์สามารถอัตราด้วยแบบเตอร์ของโทรศัพท์เคลื่อนที่และกล้องถ่ายภาพดิจิตอลได้อย่างเหมาะสม



รูปที่ 4.6 การเปลี่ยนแปลงของแรงดันในระหว่างอัตราด้วยแบบเตอร์ของกล้องถ่ายภาพดิจิตอลขนาดความจุ 800 mAh โดยตั้งค่าแรงดันที่ 4.2 V และกระแสสูงสุดที่ 0.4 A

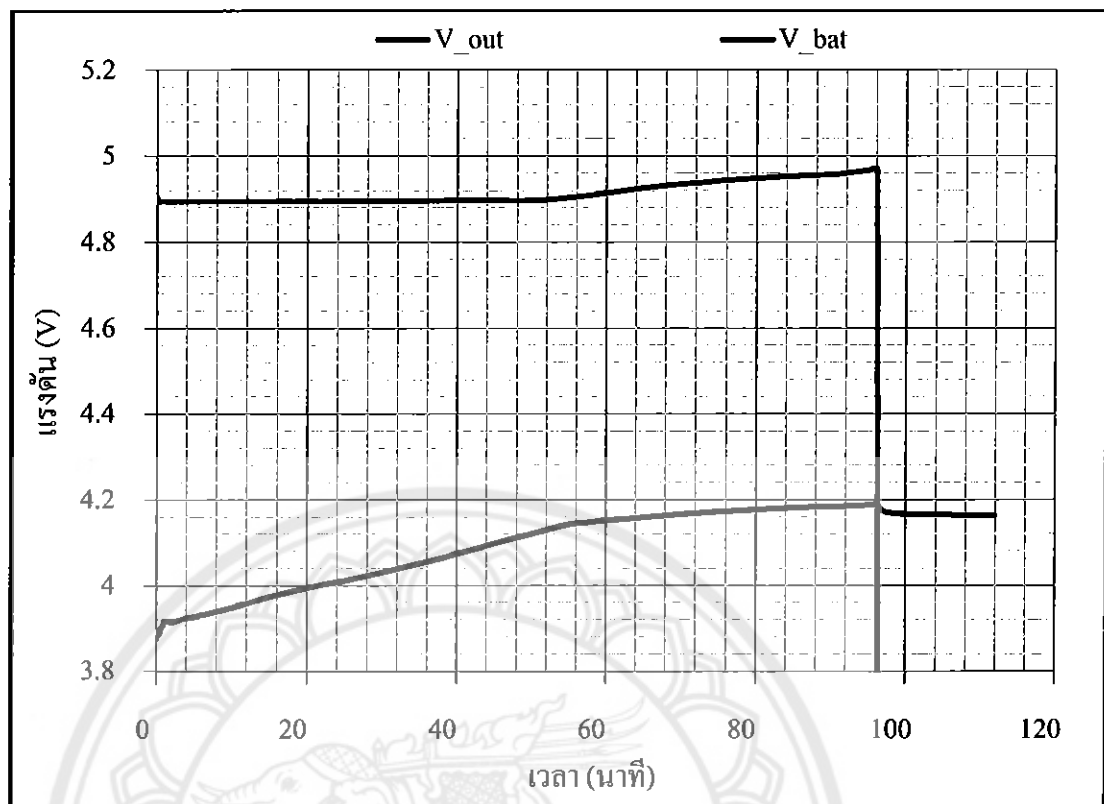


รูปที่ 4.7 การเปลี่ยนแปลงของกระแสในระหว่างอัดประจุแบตเตอรี่ของกล้องถ่ายภาพดิจิตอล  
ขนาดความจุ 800 mAh โดยทั้งค่าแรงดันที่ 4.2 V และกระแสสูงสุดที่ 0.4 A

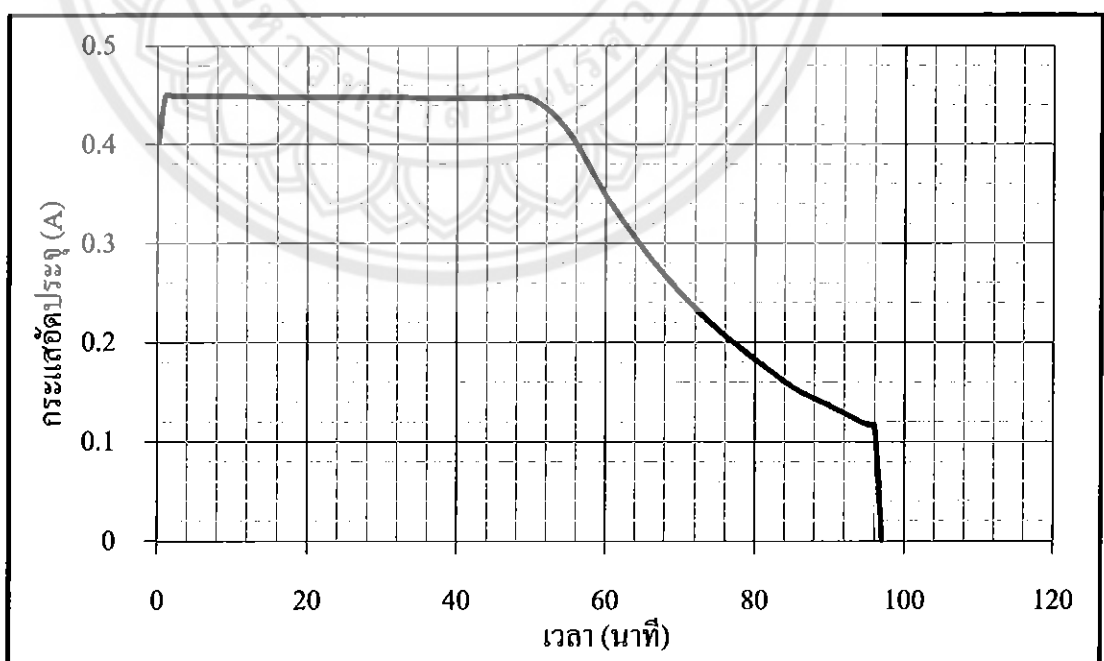
#### 4.3.2 การอัดประจุแบตเตอรี่ในโทรศัพท์เคลื่อนที่

ในการทดสอบนี้มีวัตถุประสงค์เพื่อตรวจสอบการทำงานของตัวควบคุมการอัดประจุ และการเปลี่ยนแปลงของค่าแรงดันและกระแสอัดประจุ รวมทั้งค่าแรงดันของแบตเตอรี่หลังจากที่ อัดประจุเสร็จสิ้น ในการทดสอบใช้โทรศัพท์มือถือเป็นแบตเตอรี่ขนาด 1,200 mAh โดยติดตั้งอยู่ภายใน โทรศัพท์เคลื่อนที่ยี่ห้อซัมซุง

เมื่อนำโทรศัพท์มาต่อ กับตัวควบคุมการอัดประจุและปรับตั้งให้ค่าแรงดันและกระแสอัดประจุตรงกับที่ระบุในอะแดปเตอร์คู่ตัว คือ 5 V 0.7 A โดยใช้ไฟบ้านเป็นแหล่งจ่ายพลังงานผ่าน อะแดปเตอร์ขนาด 19 V 4.74 A และวัดค่าแรงดันและกระแสอัดประจุ รวมทั้งแรงดันของแบตเตอรี่ แต่ละช่วงเวลา ผลการทดสอบแสดงดังรูปที่ 4.8 และ 4.9



รูปที่ 4.8 การเปลี่ยนแปลงของแรงดันในระหว่างอัดประจุแบตเตอรี่ขนาดความจุ 1,200 mAh ภายในโทรศัพท์เคลื่อนที่ โดยตั้งค่าแรงดันที่ 5 V และกระแสสูงสุดที่ 0.7 A



รูปที่ 4.9 การเปลี่ยนแปลงของกระแสในระหว่างอัดประจุแบตเตอรี่ขนาดความจุ 1,200 mAh ภายในโทรศัพท์เคลื่อนที่ โดยตั้งค่าแรงดันที่ 5 V และกระแสสูงสุดที่ 0.7 A

จากรูปที่ 4.8 และ 4.9 พบว่าการอัดประจุด้วยแรงดันอัดประจุ 5 V ในช่วงแรกเมื่อกระแสอัดประจุนีค่าคงที่ประมาณ 0.45 A จากนั้นจึงมีค่าลดลงเมื่อค่าแรงดันของแบตเตอรี่เข้าใกล้ 4.2 V หลังจากที่กระแสลดลงจนถึงประมาณ 0.1 A เกิดการตัดวงจรก่อนถึงค่ากระแสที่ออกแบบไว้โดยเกิดจากวงจรป้องกันภายในตัวแบตเตอรี่ซึ่งตัดวงจรเมื่อแรงดันของแบตเตอรี่สูงถึงค่าที่ตั้งไว้ในวงจรป้องกันโดยทั่วไปคือ 4.3 V เนื่องจากต้องการรักษาอายุการใช้งานของแบตเตอรี่ซึ่งตัดการทำงานเร็วกว่าที่ควร อย่างไรก็ตามในการผ่านกระแสอัดประจุเสร็จสิ้นมีค่าลดลงต่ำกว่าในกรณีที่อัดประจุด้วยแรงดัน 4.2 V

ผลการทดสอบกับโหลดทั้งสองกรณีแสดงให้เห็นว่าตัวควบคุมการอัดประจุที่สร้างขึ้นสามารถอัดประจุแบตเตอรี่ของโทรศัพท์เคลื่อนที่และกล้องถ่ายภาพดิจิตอล โดยสามารถเลือกค่าแรงดันและกระแสอัดประจุได้อย่างเหมาะสม รวมทั้งตัดกระแสอัดประจุได้ นอกจากนี้ยังสามารถรองรับพลังงานจากไฟบ้านผ่านอะแดปเตอร์ แบตเตอรี่รถบันต์ และแพงเชลล์แสงอาทิตย์



## บทที่ 5

### สรุปผลและข้อเสนอแนะ

จากการดำเนินโครงการสามารถสรุปผล และชี้แจงปัญหาในการดำเนินงาน รวมทั้งเสนอแนะแนวทางแก้ไขปัญหา และให้ข้อเสนอแนะในการนำโครงการไปพัฒนาต่อไปดังนี้

#### 5.1 สรุปผลการดำเนินงาน

หลังจากได้ศึกษารอบรวมข้อมูลเกี่ยวกับแนวเดอร์ชันนิกลิเรียมไอออนซึ่งนิยมใช้ในโทรศัพท์เคลื่อนที่และกล้องถ่ายภาพดิจิตอล รวมทั้งหลักการอัดประจุที่เหมาะสมสำหรับแบตเตอร์ชันนิกนี ผู้ดำเนินโครงการได้ออกแบบและสร้างตัวควบคุมการอัดประจุโดยสามารถเลือกค่าแรงดันประจุได้ 3 ค่าคือ 4.2 V 5 V และ 8.4 V และสามารถจำกัดค่ากระแสอัดประจุในช่วง 0.3 A ถึง 2 A นอกจากนี้ยังได้ออกแบบการเลือกค่ากระแสอัดประจุที่เหมาะสมกับขนาดของแบตเตอร์ชั่งตัวควบคุมการอัดประจุสามารถรับพลังงานจากแหล่งจ่ายพลังงานได้ 3 ประเภท คือ ไฟกระแสสลับจากการไฟฟ้าฯ ขนาดแรงดัน 220 V ความถี่ 50 Hz และไฟกระแสตรงขนาด 12 V จากแบตเตอร์ผ่านตัวจุดบุหรี่ในรถยนต์และแพงเซลล์แสงอาทิตย์ที่มีค่าแรงดันเปิดวงจรในช่วง 15 – 40 V และได้ออกแบบให้การอัดประจุสิ้นสุดลงเมื่อกระแสอัดประจุลดลงจนถึงค่าที่กำหนดคือ 20 mA รวมทั้งออกแบบบูรณาการตัวควบคุมการอัดประจุให้มีขนาดเล็กเหมาะสมสำหรับการพกพาในสถานที่ต่างๆ หลังจากนี้ได้นำตัวควบคุมการอัดประจุมาทำการทดสอบทั้งหมด 3 ส่วน ซึ่งสามารถสรุปผลการทดสอบในส่วนต่างๆ ดังต่อไปนี้

ในการทดสอบวงจรควบคุมแรงดันและกระแสอัดประจุ โดยการต่อวงจรกับโหลดตัวต้านทานเพื่อตรวจสอบการจำกัดค่าแรงดันและกระแส ค่าคิวต์ไซเคิลและค่าประสิทธิภาพ ซึ่งได้ผลทดสอบใกล้เคียงกับค่าที่ออกแบบ เช่น การจำกัดค่าแรงดันอัดประจุไว้ที่ 5 V ซึ่งได้ผลการทดสอบเท่ากับ 4.9 V ในขณะที่การจำกัดค่ากระแสอัดประจุไว้ที่ 0.4 A ได้ผลการทดสอบอยู่ในช่วง 0.4076 – 0.4096 A เป็นต้น นอกจากนี้ค่าคิวต์ไซเคิลที่ได้จากการทดสอบมีค่าใกล้เคียงกับค่าที่คำนวณ ซึ่งสามารถยอมรับได้ เช่น ค่าคิวต์ไซเคิลจากคำนวณเท่ากับ 0.136 ในขณะที่จากการทดสอบได้ค่าเท่ากับ 0.188 เป็นต้น และในการทดสอบหาค่าประสิทธิภาพของวงจร โดยใช้แหล่งจ่ายพลังงานทั้ง 3 ประเภท ได้แก่ ในกรณีใช้ไฟบ้านผ่านอะแดปเตอร์ได้ค่าประสิทธิภาพในช่วง 26.40 – 76.22% ส่วนกรณีใช้แบตเตอร์ร่องรอยต์ได้ค่าประสิทธิภาพในช่วง 31.50 – 78.70% และในกรณีที่ใช้แพงเซลล์แสงอาทิตย์ได้ค่าประสิทธิภาพในช่วง 28.01 – 72.56% สรุปผลได้ว่างรสสามารถจำกัดค่าแรงดันและกระแสอัดประจุได้และวงจรนี้มีประสิทธิภาพในระดับปานกลาง

ในการทดสอบวงจรตัดกระแสอัคประจุแบ่งออกเป็น 3 ส่วน ส่วนแรกเป็นการทดสอบการทำงานของวงจรขยายไม่กลับข้าม พบว่าแรงดันด้านออกมีความคลาดเคลื่อนจากค่าที่ออกแบบไว้ประมาณ  $0.6\text{ V}$  ซึ่งเป็นผลมาจากการจ่ายไฟเลี้ยงให้อปเปนบีคิว  $+5\text{ V}$  และ  $0\text{ V}$  ทำให้เกิดแรงดันออกเพลิดสั่งผลให้แรงดันด้านออกที่ผ่านการขยายแล้วมีค่าเพิ่มขึ้นอีกประมาณ  $0.6\text{ V}$  ดังนั้นในการกำหนดค่าแรงดันอ้างอิงให้กับวงจรเบรียบนเทียบแรงดัน จึงต้องตั้งค่าเพิ่มจากการคำนวณอีก  $0.6\text{ V}$  ในส่วนที่สองเป็นการทดสอบการทำงานของวงจรเบรียบทียบแรงดัน โดยกำหนดแรงดันอ้างอิงเท่ากับ  $2.610\text{ V}$  ซึ่งได้ผลการทดสอบเป็นไปตามการออกแบบ นั่นคือเมื่อแรงดัน  $V_{out}$  มีค่าต่ำกว่า  $2.610\text{ V}$  ทำให้วงจรเทียบแรงดันสร้างลดอัคคีเพื่อขัดการอัคประจุ ในส่วนที่สามได้ทดสอบการควบคุมการทำงานของรีเลย์ โดยสังเกตจากการเปลี่ยนหน้าสัมผัสของรีเลย์ R1 และ R2 การกดสวิตช์ S3 (ซึ่งใช้รีมกระวนการอัคประจุ) ทำให้รีเลย์ R1 ทำงานโดยหน้าสัมผัสทั้งสองเกิดการเปลี่ยนสถานะ สั่งผลให้การอัคประจุเป็นไปอย่างต่อเนื่อง (แม้เปิดหน้าสัมผัสของ S3 แล้วก็ตาม) และป้องกันไม่ให้รีเลย์ R2 การทดสอบต่อมาเป็นการลดค่าแรงดันที่จ่ายให้กับวงจรขยายไม่กลับข้าม (ซึ่งค่าแรงดันนี้สอดคล้องกับปริมาณกระแสอัคประจุนั้นเอง) ทำให้ได้แรงดัน  $V_{out}$  ที่ใช้ในการเบรียบทียบกับแรงดันอ้างอิงของวงจรเบรียบทียบแรงดัน มีค่าลดลงจนต่ำกว่าแรงดันอ้างอิง จึงทำให้รีเลย์ R1 หยุดทำงาน หน้าสัมผัสจึงกลับสถานะเดิม สั่งผลให้รีเลย์ R2 กลับมาทำงานได้อีกครั้ง ซึ่งผลการทดสอบนี้เป็นไปตามการออกแบบจึงทำให้สามารถนำวงจรนี้มาใช้เป็นวงจรตัดกระแสอัคประจุที่ใช้ในตัวควบคุมการอัคประจุได้

ส่วนสุดท้ายเป็นการทดสอบการทำงานของตัวควบคุมการอัคประจุ ซึ่งใช้วงจรควบคุมแรงดันและกระแสอัคประจุร่วมกับวงจรตัดกระแสอัคประจุ โดยนำไปอัคประจุแบบเตอร์ในรูปแบบต่างๆ เช่น การอัคประจุด้วยแสงเชลล์แสงอาทิตย์ การอัคประจุแบบเตอร์รีกานอกตัวเครื่อง โดยต่อผ่านแท่นอัคประจุอนาคตประสงค์ด้วยแรงดันอัคประจุ  $4.2\text{ V}$  และจำกัดค่ากระแสอัคประจุ  $0.7\text{ A}$  จากการทดสอบพบว่างจรตัดกระแสอัคประจุทำงานถูกต้องโดยตัววงจรเมื่อกระแสอัคประจุลดลงจนถึงค่าที่ปรับตั้งไว้คือ  $20\text{ mA}$  ซึ่งมั่นคงกว่าแบบเตอร์มีการอัคประจุเต็มແล้า

ผลการทดสอบทั้งหมดได้ชี้ให้เห็นว่าตัวควบคุมการอัคประจุที่สร้างขึ้นในโครงงานนี้สามารถใช้อัคประจุได้ทั้งแบบเตอร์ของโทรศัพท์เคลื่อนที่และกล้องถ่ายภาพดิจิตอล โดยสามารถเลือกค่าแรงดันและกระแสอัคประจุที่ต้องการได้หลายค่า

## 5.2 ปัญหาและแนวทางแก้ไข

วงจรขยายไม่กลับข้ามในตัวควบคุมการอัดประจุให้แรงดันด้านออกมากกว่าค่าที่คำนวณไว้เนื่องจากเกิดแรงดันออกไฟเซตภายในอ่อนปี หากไม่ต้องการให้แรงดันออกไฟเซตนี้เกิดขึ้นต้องนำไฟเลี้ยงให้อปเปอมปีที่แรงดัน +5 V และ -5V แทนที่แรงดัน +5 V และ 0 V

เนื่องจากตัวควบคุมการอัดประจุที่สร้างขึ้นในโครงงานนี้สร้างจากวงจรแบบแอนะล็อก (Analog circuit) ค่าแรงดันและกระแสในวงจรมีค่าต่อเนื่อง ทำให้วงจรขาดความแม่นยำในการสร้างสัญญาณพืดดันเบิลยูเอ็มและการตัดกระแส หากต้องการเพิ่มความแม่นยำในการประมวลผลสามารถปรับเปลี่ยนไปใช้วงจรในรูปแบบดิจิตอล (Digital circuit) เช่นสร้างวงจรควบคุมขึ้นจากในโครงคอนโทรลเลอร์

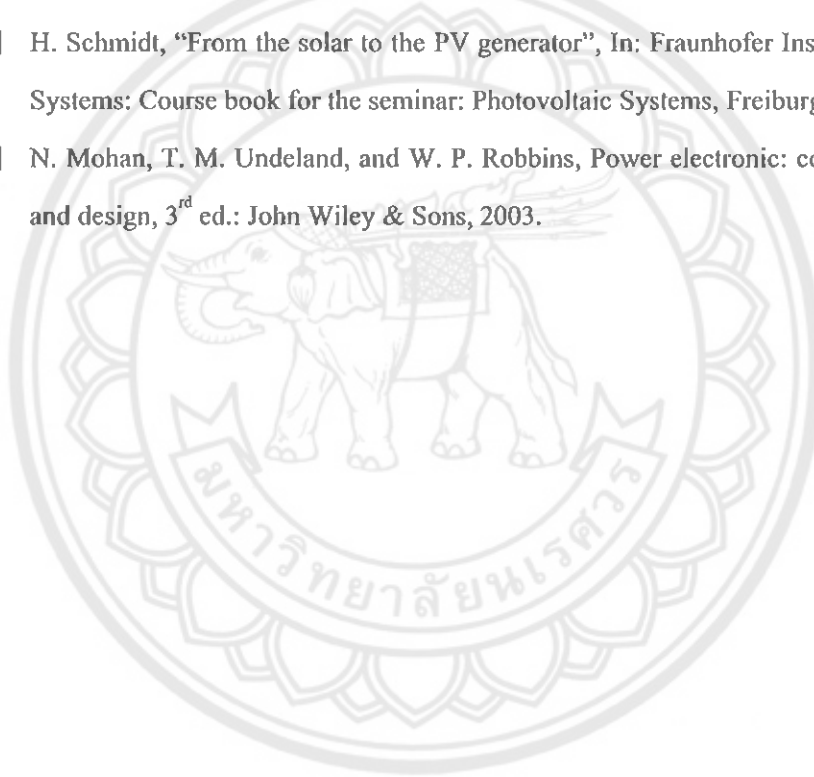
การอัดประจุโดยปรับตั้งค่ากระแสตัววงจรไว้ที่ 20 mA ซึ่งเป็นค่าเฉลี่ยที่ออกแบบไว้ หมายความว่ารับแบตเตอรี่ที่มีขนาดความจุตั้งแต่ 1,000 mAh ขึ้นไป ในกรณีที่แบตเตอรี่มีขนาดความจุต่ำกว่า 1,000 mAh ผู้ใช้สามารถปรับตั้งค่ากระแสตัววงจรให้ต่ำกว่า 20 mA ได้โดยใช้ปุ่ม Cutoff current เพื่อให้แบตเตอรี่มีโอกาสเข้าสู่สภาวะอัดประจุเต็มมากขึ้น โดยพิจารณาตั้งค่ากระแสตัววงจรให้มีค่าประมาณ 3 – 5% ของค่ากระแสอัดประจุสูงสุด

## 5.3 แนวทางในการพัฒนาต่อไป

ตัวควบคุมการอัดประจุที่สร้างขึ้นนี้สามารถนำไปประยุกต์ใช้กับการอัดประจุแบตเตอรี่ชนิดอื่นได้ เช่น แบตเตอรี่ชนิดตะกั่วหรือชนิดนิกเกลแคนเดียม (NiCd) เป็นต้น รวมทั้งแบตเตอรี่ชนิดลิเทียมไอโอดอนที่มีขนาดใหญ่ขึ้น ได้แก่ แบตเตอรี่ของเครื่องคอมพิวเตอร์แบบพกพา (Laptop) โดยศึกษาหลักการอัดประจุของแบตเตอรี่ที่ต้องการนำไปประยุกต์เพื่อปรับวงจรให้เหมาะสมกับการอัดประจุแบตเตอรี่ที่ต้องการ นอกจากรายการเพิ่มความแม่นยำในการควบคุมได้โดยใช้ในโครงคอนโทรลเลอร์

## ເອກສາຮອ້າງອີງ

- [1] Grant M. Ehrlich, "Lithium-Ion Batteries", In: *Handbook of Batteries*, 3<sup>rd</sup> ed.: New York: McGraw-Hill, 2002.
- [2] Isidor Buchman. Charging Lithium-ion. ສືບຄົນວັນທີ 4 ກັນຍານ 2555, ຈາກ [http://batteryuniversity.com/learn/article/charging\\_lithium\\_ion\\_batteries](http://batteryuniversity.com/learn/article/charging_lithium_ion_batteries).
- [3] G. Hille, W. Roth, and H. Schmidt, "Course book for the seminar – Photovoltaic Systems", Fraunhofer Institute for Solar Energy Systems, Freiburg, Germany, 1995.
- [4] H. Schmidt, "From the solar to the PV generator", In: *Fraunhofer Institute for Solar Energy Systems: Course book for the seminar: Photovoltaic Systems*, Freiburg, Germany, 1995.
- [5] N. Mohan, T. M. Undeland, and W. P. Robbins, *Power electronic: converters, applications, and design*, 3<sup>rd</sup> ed.: John Wiley & Sons, 2003.





ตารางที่ ก.1 การทดสอบการอัดประจุแบตเตอรี่ของโทรศัพท์เคลื่อนที่ ยี่ห้อแอลจี (LG) ขนาด 1,260 mAh โดยตั้งค่าแรงดันที่ 4.2 V และกระแสอัดประจุสูงสุดที่ 0.7 A ตาม อะแดปเตอร์คู่ตัว

Time (min)	V <sub>in</sub> (V)	I <sub>in</sub> (A)	V <sub>out</sub> (V)	I <sub>out</sub> (A)	V <sub>bat</sub> (V)	R <sub>bat</sub> (Ω)	η (%)
0	-	-	4.190	0.497	4.006	0.370	-
1	-	-	4.188	0.451	4.030	0.350	-
2	-	-	4.189	0.449	4.032	0.350	-
3	-	-	4.189	0.446	4.035	0.345	-
4	-	-	4.189	0.446	4.038	0.339	-
5	18.68	0.326	4.190	0.437	4.039	0.346	30.07
10	18.69	0.317	4.192	0.418	4.047	0.347	29.58
15	18.69	0.312	4.193	0.398	4.054	0.349	28.62
20	18.70	0.307	4.195	0.367	4.060	0.368	26.82
25	18.70	0.302	4.199	0.345	4.071	0.371	25.65
30	18.71	0.294	4.199	0.324	4.082	0.361	24.73
35	18.72	0.291	4.200	0.312	4.090	0.353	24.05
40	18.73	0.285	4.203	0.291	4.098	0.361	22.91
45	18.73	0.278	4.204	0.260	4.106	0.377	20.99
50	18.74	0.272	4.207	0.245	4.113	0.384	20.22
55	18.76	0.266	4.212	0.233	4.120	0.395	19.67
60	18.76	0.264	4.212	0.220	4.127	0.386	18.71
65	18.76	0.263	4.212	0.207	4.133	0.382	17.67
70	18.77	0.256	4.212	0.195	4.139	0.374	17.09
75	18.77	0.255	4.213	0.182	4.144	0.379	16.02
80	18.77	0.250	4.214	0.170	4.149	0.382	15.27
85	18.77	0.250	4.214	0.158	4.154	0.380	14.19
90	18.77	0.244	4.215	0.147	4.159	0.381	13.53
95	18.77	0.243	4.215	0.136	4.163	0.382	12.57
100	18.77	0.242	4.215	0.127	4.168	0.370	11.78
105	18.77	0.240	4.216	0.120	4.172	0.367	11.23
110	18.78	0.237	4.217	0.110	4.176	0.350	10.42
115	18.78	0.235	4.218	0.100	4.180	0.350	9.56
120	18.78	0.232	4.219	0.092	4.184	0.345	8.91
125	18.78	0.230	4.219	0.083	4.187	0.339	8.11
130	18.79	0.228	4.220	0.076	4.190	0.346	7.49
135	18.79	0.226	4.221	0.068	4.193	0.347	6.76
140	18.79	0.224	4.221	0.062	4.195	0.349	6.22
145	18.79	0.222	4.222	0.056	4.198	0.368	5.67
150	18.80	0.219	4.222	0.050	4.200	0.371	5.13

ตารางที่ ก.1 (ต่อ) การทดสอบการอัดประจุแบตเตอรี่ของโทรศัพท์เคลื่อนที่ มือถือแอลจี (LG) ขนาด 1,260 mAh โดยตั้งค่าแรงดันที่ 4.2 V และกระแสอัดประจุสูงสุดที่ 0.7 A ตาม อะแดปเตอร์คู่ตัว

Time (min)	$V_{in}$ (V)	$I_{in}$ (A)	$V_{out}$ (V)	$I_{out}$ (A)	$V_{bal}$ (V)	$R_{bat}$ ( $\Omega$ )	$\eta$ (%)
155	18.80	0.216	4.223	0.044	4.202	0.361	4.58
160	18.80	0.214	4.223	0.040	4.204	0.353	4.20
165	18.80	0.212	4.224	0.035	4.205	0.361	3.71
170	18.81	0.210	4.224	0.031	4.207	0.377	3.31
175	18.81	0.208	4.224	0.027	4.209	0.384	2.91
180	18.81	0.206	4.225	0.024	4.210	0.395	2.62
185	18.83	0.193	4.225	0.022	4.211	0.386	2.56
190	18.84	0.178	4.225	0.022	4.213	0.382	2.77
195	18.86	0.162	4.226	0.022	4.214	0.374	3.04
200	18.88	0.147	4.226	0.021	4.215	0.379	3.20
204	-	-	-	-	4.202	-	-

หมายเหตุ: Time คือ เวลาที่ใช้อัดประจุ (min)

$V_{in}$  คือ แรงดันด้านเข้าของวงจรทอนระดับแรงดัน (V)

$I_{in}$  คือ กระแสเดินเข้าของวงจรทอนระดับแรงดัน (A)

$V_{out}$  คือ แรงดันอัดประจุ (V)

$I_{out}$  คือ กระแสอัดประจุ (A)

$V_{bal}$  คือ แรงดันของแบตเตอรี่ (V)

$R_{bat}$  คือ ค่าความต้านทานสมมูลของแบตเตอรี่ ( $\Omega$ )

$\eta$  คือ ประสิทธิภาพของวงจรทอนระดับแรงดัน (%)

ตารางที่ ก.2 ค่าแรงดันของแบตเตอรี่ โทรศัพท์เคลื่อนที่ บีท็อแอลจี (LG) ขนาด 1260 mAh  
หลังจากการอัดประจุด้วยแรงดัน 4.2 V และกระแสสูงสุดที่ 0.7 A สิ้นสุด

Time (min)	$V_{bat}$ (V)
0	4.202
1	4.200
2	4.199
3	4.199
4	4.198
5	4.198
6	4.198
7	4.198
8	4.197
9	4.197
10	4.197
11	4.197
12	4.197
13	4.197
14	4.196
15	4.196

หมายเหตุ: Time คือ เวลาที่ใช้อัดประจุ (min)  
 $V_{bat}$  คือ แรงดันของแบตเตอรี่ (V)

ตารางที่ ก.3 การทดสอบการอัดประจุแบตเตอรี่ของกล้องดิจิตอล ยี่ห้อซัมซุง (Samsung) ขนาด 800 mAh โดยเลือกค่าแรงดัน 4.2 V และกระแสอัดประจุที่ 0.5C คือ 0.7 A

Time (min)	V <sub>m</sub> (V)	I <sub>in</sub> (A)	V <sub>out</sub> (V)	I <sub>out</sub> (A)	V <sub>bat</sub> (V)	R <sub>bat</sub> (Ω)	η (%)
11:25 น.	-	-	4.140	0.400	3.998	0.355	-
11:26 น.	-	-	4.166	0.400	4.028	0.345	-
11:27 น.	-	-	4.179	0.400	4.039	0.350	-
11:28 น.	-	-	4.184	0.400	4.045	0.346	-
11:29 น.	-	-	4.192	0.400	4.051	0.353	-
11:30 น.	17.14	0.323	4.193	0.398	4.055	0.347	30.14
11:35 น.	17.17	0.316	4.195	0.370	4.066	0.349	28.61
11:40 น.	17.13	0.307	4.198	0.341	4.078	0.352	27.22
11:45 น.	17.37	0.298	4.200	0.314	4.089	0.354	25.48
11:50 น.	17.17	0.289	4.202	0.287	4.100	0.355	24.30
11:55 น.	17.35	0.284	4.204	0.264	4.109	0.360	22.52
12:00 น.	17.23	0.278	4.206	0.240	4.118	0.367	21.07
12:05 น.	17.21	0.272	4.208	0.223	4.126	0.368	20.05
12:10 น.	17.15	0.266	4.210	0.203	4.134	0.374	18.73
12:15 น.	17.21	0.260	4.212	0.184	4.142	0.380	17.32
12:20 น.	17.19	0.255	4.213	0.163	4.149	0.393	15.67
12:25 น.	17.25	0.250	4.215	0.148	4.156	0.399	14.47
12:30 น.	17.14	0.246	4.216	0.131	4.163	0.405	13.10
12:35 น.	17.32	0.241	4.218	0.117	4.169	0.419	11.82
12:40 น.	17.51	0.238	4.219	0.104	4.175	0.423	10.53
12:45 น.	17.39	0.234	4.220	0.091	4.180	0.440	9.44
12:50 น.	17.25	0.231	4.221	0.079	4.184	0.468	8.37
12:55 น.	17.22	0.228	4.222	0.069	4.188	0.493	7.42
13:00 น.	17.41	0.225	4.223	0.059	4.192	0.525	6.36
13:05 น.	17.45	0.222	4.223	0.051	4.196	0.529	5.56
13:10 น.	17.21	0.216	4.224	0.041	4.200	0.585	4.66
13:15 น.	17.13	0.213	4.224	0.035	4.202	0.629	4.05
13:20 น.	17.20	0.210	4.225	0.029	4.205	0.690	3.39
13:25 น.	17.34	0.204	4.226	0.025	4.207	0.760	2.99
13:30 น.	17.51	0.184	4.226	0.023	4.209	0.739	3.02
13:35 น.	17.50	0.174	4.227	0.022	4.211	0.727	3.05
13:40 น.	17.52	0.154	4.227	0.021	4.212	0.714	3.29
13:41 น.	-	-	-	0	4.195	-	-

ตารางที่ ก.4 ค่าแรงดันของแบตเตอรี่ก้อนดิจิตอล ยี่ห้อซัมซุง (Samsung) ขนาด 800 mAh  
หลังจากการอัดประจุด้วยแรงดัน 4.2 V และกระแสที่ 0.5C คือ 0.7 A สิ้นสุด

Time (min)	V <sub>bat</sub> (V)
0	4.195
1	4.193
2	4.192
3	4.191
4	4.190
5	4.190
6	4.189
7	4.189
8	4.188
9	4.188
10	4.188
11	4.188
12	4.188
13	4.187
14	4.187
15	4.187

ตารางที่ ก.5 การทดสอบการอัดประจุแบตเตอรี่ของโทรศัพท์เคลื่อนที่ ยี่ห้อซัมซุง (Samsung) ขนาด 1,260 mAh โดยตั้งค่าแรงดันที่ 5 V และกระแสอัดประจุสูงสุดที่ 0.7 A ตาม อะแดปเตอร์คู่ตัว

Time (min)	V <sub>in</sub> (V)	I <sub>in</sub> (A)	V <sub>out</sub> (V)	I <sub>out</sub> (A)	V <sub>bat</sub> (V)	R <sub>bat</sub> (Ω)	η (%)
0	-	-	4.903	0.402	3.876	2.555	-
1	-	-	4.895	0.449	3.917	2.178	-
2	-	-	4.895	0.449	3.914	2.185	-
3	-	-	4.895	0.449	3.919	2.174	-
4	-	-	4.895	0.449	3.924	2.163	-
5	18.66	0.347	4.895	0.449	3.927	2.156	33.943
10	18.66	0.347	4.895	0.449	3.948	2.109	33.944
15	18.66	0.346	4.895	0.448	3.973	2.058	33.966
20	18.66	0.346	4.895	0.448	3.994	2.011	33.966
25	18.66	0.346	4.895	0.448	4.011	1.973	33.966
30	18.66	0.347	4.896	0.448	4.030	1.933	33.875
35	18.65	0.347	4.896	0.447	4.051	1.890	33.817
40	18.65	0.347	4.897	0.447	4.073	1.843	33.824
45	18.65	0.347	4.897	0.447	4.098	1.787	33.824
50	18.65	0.347	4.897	0.446	4.120	1.742	33.749
55	18.67	0.333	4.904	0.412	4.142	1.850	32.498
60	18.69	0.316	4.914	0.348	4.151	2.193	28.955
65	18.71	0.297	4.926	0.295	4.159	2.600	26.151
70	18.72	0.283	4.935	0.250	4.166	3.076	23.288
75	18.74	0.271	4.942	0.213	4.172	3.615	20.727
80	18.75	0.261	4.948	0.183	4.177	4.213	18.503
85	18.76	0.253	4.953	0.155	4.181	4.981	16.175
90	18.74	0.247	4.957	0.136	4.184	5.684	14.564
95	18.78	0.241	4.967	0.117	4.187	6.667	12.840
96	18.79	0.241	4.968	0.115	4.189	6.774	12.616
97	0	0	4.983	0	4.173	-	-

ตารางที่ ก.๖ ค่าแรงดันของแบตเตอรี่โทรศัพท์เคลื่อนที่ ยี่ห้อซัมซุง (Samsung) ขนาด 1,260 mAh  
หลังจากการอัดประจุด้วยแรงดัน 5 V และกระแสสูงสุดที่ 0.7 A สิ้นสุด

Time (min)	V <sub>bat</sub> (V)
0	4.173
1	4.169
2	4.167
3	4.166
4	4.165
5	4.165
6	4.164
7	4.164
8	4.164
9	4.164
10	4.163
11	4.163
12	4.163
13	4.163
14	4.163
15	4.163





Order this document by TL494D

## TL494

## SWITCHMODE™ Pulse Width Modulation Control Circuit

The TL494 is a fixed frequency, pulse width modulation control circuit designed primarily for SWITCHMODE power supply control.

- Complete Pulse Width Modulation Control Circuitry
- On-Chip Oscillator with Master or Slave Operation
- On-Chip Error Amplifiers
- On-Chip 5.0 V Reference
- Adjustable Deadtime Control
- Uncommitted Output Transistors Rated to 500 mA Source or Sink
- Output Control for Push-Pull or Single-Ended Operation
- Undervoltage Lockout

### SWITCHMODE PULSE WIDTH MODULATION CONTROL CIRCUIT

SEMICONDUCTOR  
TECHNICAL DATA

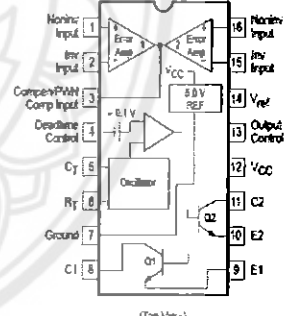


D SUFFIX  
PLASTIC PACKAGE  
CASE 751B  
(SO-16)



N SUFFIX  
PLASTIC PACKAGE  
CASE 648

### PIN CONNECTIONS



### ORDERING INFORMATION

Device	Operating Temperature Range	Package
TL494CD	T <sub>A</sub> = 0° to +70°C	SO-16
TL494CN		Plastic
TL494IN	T <sub>A</sub> = -25° to +85°C	Plastic

**MAXIMUM RATINGS** (Full operating ambient temperature range applies, unless otherwise noted.)

Rating	Symbol	TL494C	TL494I	Unit
Power Supply Voltage	V <sub>CC</sub>	42		V
Collector Output Voltage	V <sub>C1</sub> , V <sub>C2</sub>	42		V
Collector Output Current (Each transistor) (Note 1)	I <sub>C1</sub> , I <sub>C2</sub>	500		mA
Amplifier Input Voltage Range	V <sub>IR</sub>	-0.3 to +42		V
Power Dissipation @ T <sub>A</sub> ≤ 45°C	P <sub>D</sub>	1000		mW
Thermal Resistance, Junction-to-Ambient	R <sub>θJA</sub>	80		°C/W
Operating Junction Temperature	T <sub>J</sub>	125		°C
Storage Temperature Range	T <sub>stg</sub>	-55 to +125		°C
Operating Ambient Temperature Range TL494C TL494I	T <sub>A</sub>	0 to +70 -25 to +85		°C
Derating Ambient Temperature	T <sub>A</sub>	45		°C

NOTE: 1. Maximum thermal limits must be observed.

## TL494

## RECOMMENDED OPERATING CONDITIONS

Characteristics	Symbol	Min	Typ	Max	Unit
Power Supply Voltage	V <sub>CC</sub>	7.0	15	40	V
Collector Output Voltage	V <sub>C1</sub> , V <sub>C2</sub>	—	30	40	V
Collector Output Current (Each transistor)	I <sub>C1</sub> , I <sub>C2</sub>	—	—	200	mA
Amplified Input Voltage	V <sub>in</sub>	-0.3	—	V <sub>CC</sub> - 2.0	V
Current Into Feedback Terminal	I <sub>fB</sub>	—	—	0.3	mA
Reference Output Current	I <sub>ref</sub>	—	—	10	mA
Timing Resistor	R <sub>T</sub>	1.8	30	600	kΩ
Timing Capacitor	C <sub>T</sub>	0.0047	0.001	10	μF
Oscillator Frequency	f <sub>osc</sub>	1.0	40	200	kHz

ELECTRICAL CHARACTERISTICS (V<sub>CC</sub> = 15 V, C<sub>T</sub> = 0.01 μF, R<sub>T</sub> = 12 kΩ, unless otherwise noted.)For typical values T<sub>A</sub> = 25°C, for min/max values T<sub>A</sub> is the operating ambient temperature range that applies, unless otherwise noted.

Characteristics	Symbol	Min	Typ	Max	Unit
<b>REFERENCE SECTION</b>					
Reference Voltage (I <sub>O</sub> = 1.0 mA)	V <sub>ref</sub>	4.75	5.0	5.25	V
Line Regulation (V <sub>CC</sub> = 7.0 V to 40 V)	Reg <sub>line</sub>	—	2.0	25	mV
Load Regulation (I <sub>O</sub> = 1.0 mA to 10 mA)	Reg <sub>load</sub>	—	3.0	15	mV
Short Circuit Output Current (V <sub>ref</sub> = 0 V)	I <sub>SC</sub>	15	35	75	mA
<b>OUTPUT SECTION</b>					
Collector Off-State Current (V <sub>CC</sub> = 40 V, V <sub>CE</sub> = 40 V)	I <sub>C(off)</sub>	—	2.0	100	μA
Emitter Off-State Current V <sub>CC</sub> = 40 V, V <sub>C</sub> = 40 V, V <sub>E</sub> = 0 V)	I <sub>E(off)</sub>	—	—	-100	μA
Collector-Emitter Saturation Voltage (Note 2) Common-Emitter (V <sub>E</sub> = 0 V, I <sub>C</sub> = 200 mA) Emitter-Follower (V <sub>C</sub> = 15 V, I <sub>E</sub> = -200 mA)	V <sub>sat(C)</sub> V <sub>sat(E)</sub>	— —	1.1 1.5	1.3 2.6	V
Output Control Pin Current Low State (V <sub>OC</sub> ≤ 0.4 V) High State (V <sub>OC</sub> = V <sub>ref</sub> )	I <sub>OCL</sub> I <sub>OCH</sub>	— —	10 0.2	— 3.5	μA mA
Output Voltage Rise Time Common-Emitter (See Figure 12) Emitter-Follower (See Figure 13)	t <sub>r</sub>	— —	100 100	200 200	ns
Output Voltage Fall Time Common-Emitter (See Figure 12) Emitter-Follower (See Figure 13)	t <sub>f</sub>	— —	25 40	100 100	ns

NOTE: 2 Low-duty cycle pulse techniques are used during test to maintain junction temperature as close to ambient temperature as possible.

## TL494

**ELECTRICAL CHARACTERISTICS** ( $V_{CC} = 15 \text{ V}$ ,  $C_T = 0.01 \mu\text{F}$ ,  $R_T = 12 \text{ k}\Omega$ , unless otherwise noted.)

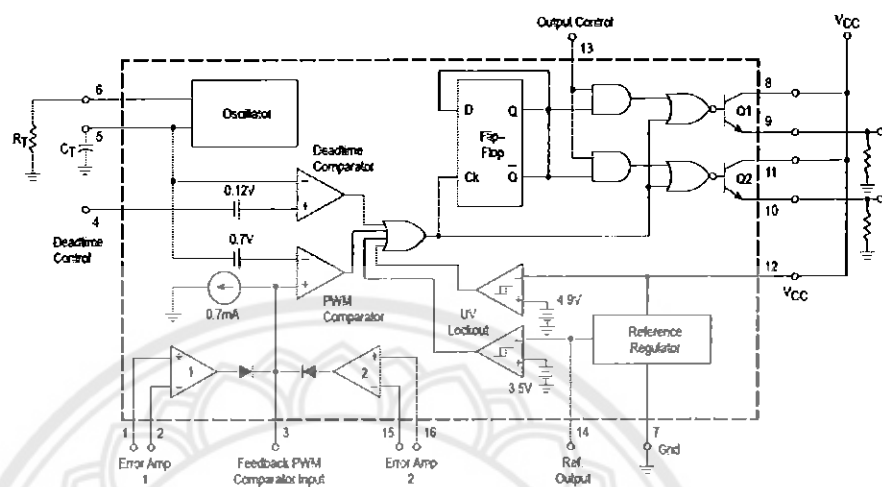
For typical values  $T_A = 25^\circ\text{C}$ , for max/max values  $T_A$  is the operating ambient temperature range that applies, unless otherwise noted.

Characteristics	Symbol	Min	Typ	Max	Unit
<b>ERROR AMPLIFIER SECTION</b>					
Input Offset Voltage ( $V_O$ (Pin 3) = 2.5 V)	$V_{IO}$	—	2.0	10	mV
Input Offset Current ( $V_O$ (Pin 3) = 2.5 V)	$I_{IO}$	—	5.0	250	nA
Input Bias Current ( $V_O$ (Pin 3) = 2.5 V)	$I_{IB}$	—	-0.1	-1.0	$\mu\text{A}$
Input Common Mode Voltage Range ( $V_{CC} = 40 \text{ V}$ , $T_A = 25^\circ\text{C}$ )	$V_{ICR}$	-0.3 to $V_{CC}-2.0$			V
Open Loop Voltage Gain ( $\Delta V_O = 3.0 \text{ V}$ , $V_O = 0.5 \text{ V}$ to $3.5 \text{ V}$ , $R_L = 2.0 \text{ k}\Omega$ )	$A_{OL}$	70	95	—	dB
Unity-Gain Crossover Frequency ( $V_O = 0.5 \text{ V}$ to $3.5 \text{ V}$ , $R_L = 2.0 \text{ k}\Omega$ )	$f_C$	—	350	—	kHz
Phase Margin at Unity-Gain ( $V_O = 0.5 \text{ V}$ to $3.5 \text{ V}$ , $R_L = 2.0 \text{ k}\Omega$ )	$\Phi_m$	—	65	—	deg.
Common Mode Rejection Ratio ( $V_{CC} = 40 \text{ V}$ )	$CMRR$	65	90	—	dB
Power Supply Rejection Ratio ( $\Delta V_{CC} = 33 \text{ V}$ , $V_O = 2.5 \text{ V}$ , $R_L = 2.0 \text{ k}\Omega$ )	$PSRR$	—	100	—	dB
Output Sink Current ( $V_O$ (Pin 3) = 0.7 V)	$I_{O-}$	0.3	0.7	—	mA
Output Source Current ( $V_O$ (Pin 3) = 3.5 V)	$I_{O+}$	2.0	-4.0	—	mA
<b>PWM COMPARATOR SECTION</b> (Test Circuit Figure 11)					
Input Threshold Voltage (Zero Duty Cycle)	$V_{TH}$	—	2.5	4.5	V
Input Sink Current ( $V$ (Pin 3) = 0.7 V)	$I_{L-}$	0.3	0.7	—	mA
<b>DEADTIME CONTROL SECTION</b> (Test Circuit Figure 11)					
Input Bias Current (Pin 4) ( $V_{Pin 4} = 0 \text{ V}$ to $5.25 \text{ V}$ )	$I_{IB}$ (DT)	—	-2.0	-10	$\mu\text{A}$
Maximum Duty Cycle, Each Output, Push-Pull Mode ( $V_{Pin 4} = 0 \text{ V}$ , $C_T = 0.01 \mu\text{F}$ , $R_T = 12 \text{ k}\Omega$ ) ( $V_{Pin 4} = 0 \text{ V}$ , $C_T = 0.001 \mu\text{F}$ , $R_T = 30 \text{ k}\Omega$ )	$DC_{max}$	45 —	48 45	50 50	%
Input Threshold Voltage (Pin 4) (Zero Duty Cycle) (Maximum Duty Cycle)	$V_{th}$	— 0	2.8	3.3	V
<b>OSCILLATOR SECTION</b>					
Frequency ( $C_T = 0.001 \mu\text{F}$ , $R_T = 30 \text{ k}\Omega$ )	$f_{osc}$	—	40	—	kHz
Standard Deviation of Frequency* ( $C_T = 0.001 \mu\text{F}$ , $R_T = 30 \text{ k}\Omega$ )	$\sigma_{osc}$	—	3.0	—	%
Frequency Change with Voltage ( $V_{CC} = 2.0 \text{ V}$ to $40 \text{ V}$ , $T_A = 25^\circ\text{C}$ )	$\Delta f_{osc}$ (3V)	—	0.1	—	%
Frequency Change with Temperature ( $\Delta T_A = T_{low}$ to $T_{high}$ ) ( $C_T = 0.01 \mu\text{F}$ , $R_T = 12 \text{ k}\Omega$ )	$\Delta f_{osc}$ (ΔT)	—	—	12	%
<b>UNDERVOLTAGE LOCKOUT SECTION</b>					
Turn-On Threshold ( $V_{CC}$ increasing, $I_{ref} = 1.0 \text{ mA}$ )	$V_{th}$	5.5	6.43	7.0	V
<b>TOTAL DEVICE</b>					
Standby Supply Current (Pin 6 at $V_{ref}$ , All other inputs and outputs open) ( $V_{CC} = 15 \text{ V}$ ) ( $V_{CC} = 40 \text{ V}$ )	$I_{CC}$	— —	5.5 7.0	10 15	mA
Average Supply Current ( $C_T = 0.01 \mu\text{F}$ , $R_T = 12 \text{ k}\Omega$ , $V$ (Pin 4) = 2.0 V) ( $V_{CC} = 15 \text{ V}$ ) (See Figure 12)		—	7.0	—	mA

\* Standard deviation is a measure of the statistical distribution about the mean as derived from the formula:  $\sigma = \sqrt{\frac{\sum (X_n - \bar{X})^2}{n-1}}$

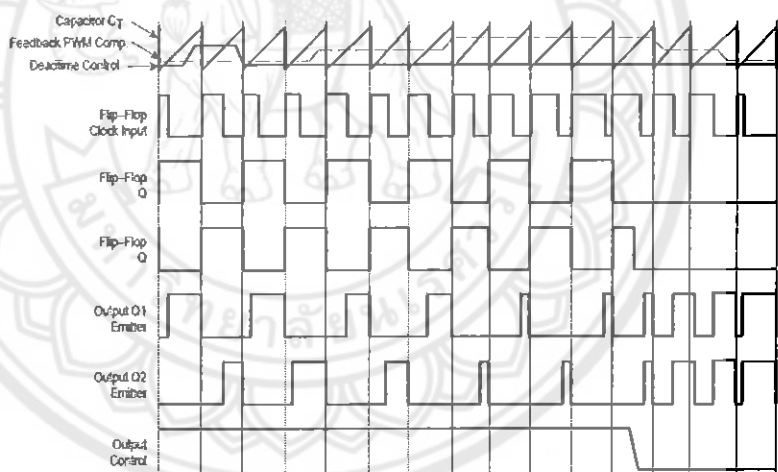
## TL494

Figure 1. Representative Block Diagram



This device contains 46 active transistors.

Figure 2. Timing Diagram



## TL494 APPLICATIONS INFORMATION

### Description

The TL494 is a fixed-frequency pulse width modulation control circuit, incorporating the primary building blocks required for the control of a switching power supply. (See Figure 1.) An internal linear sawtooth oscillator is frequency-programmable by two external components,  $R_T$  and  $C_T$ . The approximate oscillator frequency is determined by:

$$f_{osc} \approx \frac{1.1}{R_T + C_T}$$

For more information refer to Figure 3.

Output pulse width modulation is accomplished by comparison of the positive sawtooth waveform across capacitor  $C_T$  to either of two control signals. The NOR gates, which drive output transistors Q1 and Q2, are enabled only when the flip-flop clock-input line is in its low state. This happens only during that portion of time when the sawtooth voltage is greater than the control signals. Therefore, an increase in control-signal amplitude causes a corresponding linear decrease of output pulse width. (Refer to the Timing Diagram shown in Figure 2.)

The control signals are external inputs that can be fed into the deadline control, the error amplifier inputs, or the feedback input. The deadline control comparator has an effective 120 mV input offset which limits the minimum output deadline to approximately the first 4% of the sawtooth-cycle time. This would result in a maximum duty cycle on a given output of 96% with the output control grounded, and 48% with it connected to the reference line. Additional deadline may be imposed on the output by setting the deadline-control input to a fixed voltage, ranging between 0 V to 3.3 V.

Functional Table

Input/Output Controls	Output Function	$\frac{f_{out}}{f_{osc}}$
Grounded	Single-ended PWM @ Q1 and Q2	1.0
@ Vref	Push-pull Operation	0.5

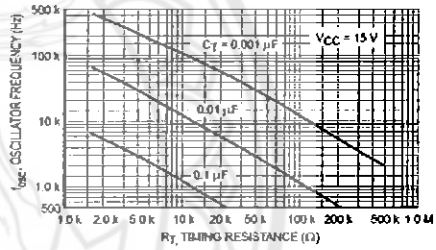
The pulse width modulator/comparator provides a means for the error amplifiers to adjust the output pulse width from the maximum percent on-time, established by the deadline control input, down to zero, as the voltage at the feedback pin varies from 0.6 V to 3.6 V. Both error amplifiers have a common mode input range from -0.3 V to (V<sub>CC</sub> - 2V), and

may be used to sense power-supply output voltage and current. The error-amplifier outputs are active high and are ORed together at the noninverting input of the pulse-width modulator/comparator. With this configuration, the amplifier that demands minimum output on time, dominates control of the loop.

When capacitor  $C_T$  is discharged, a positive pulse is generated on the output of the deadline comparator, which clocks the pulse-steering flip-flop and inhibits the output transistors, Q1 and Q2. With the output-control connected to the reference line, the pulse-steering flip-flop directs the modulated pulses to each of the two output transistors alternately for push-pull operation. The output frequency is equal to half that of the oscillator. Output drive can also be taken from Q1 or Q2, when single-ended operation with a maximum on-time of less than 50% is required. This is desirable when the output transformer has a ringback winding with a catch diode used for snubbing. When higher output-drive currents are required for single-ended operation, Q1 and Q2 may be connected in parallel, and the output-mode pin must be tied to ground to disable the flip-flop. The output frequency will now be equal to that of the oscillator.

The TL494 has an internal 5.0 V reference capable of sourcing up to 10 mA of load current for external bias circuits. The reference has an internal accuracy of  $\pm 5.0\%$  with a typical thermal drift of less than 50 mV over an operating temperature range of 0° to 70°C.

Figure 3. Oscillator Frequency versus Timing Resistance



## TL494

Figure 4. Open Loop Voltage Gain and Phase versus Frequency

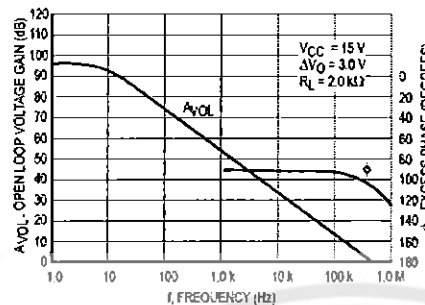


Figure 5. Percent Deadtime versus Oscillator Frequency

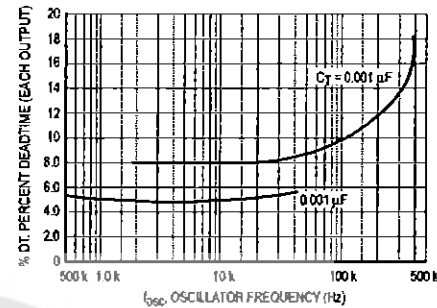


Figure 6. Percent Duty Cycle versus Deadtime Control Voltage

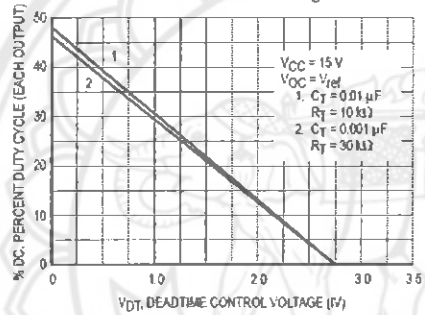


Figure 7. Emitter-Follower Configuration Output Saturation Voltage versus Emitter Current

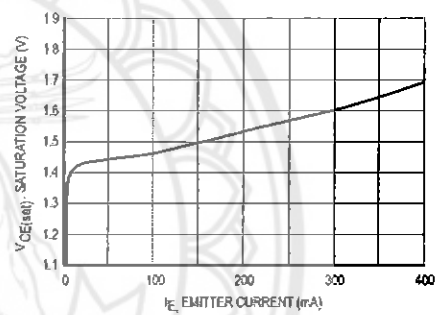


Figure 8. Common-Emitter Configuration Output Saturation Voltage versus Collector Current

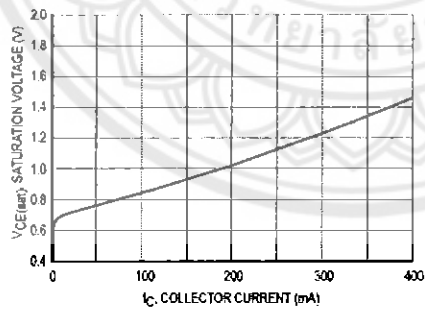
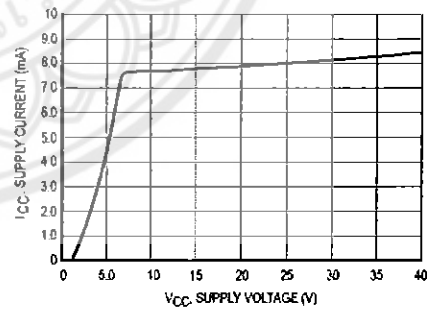
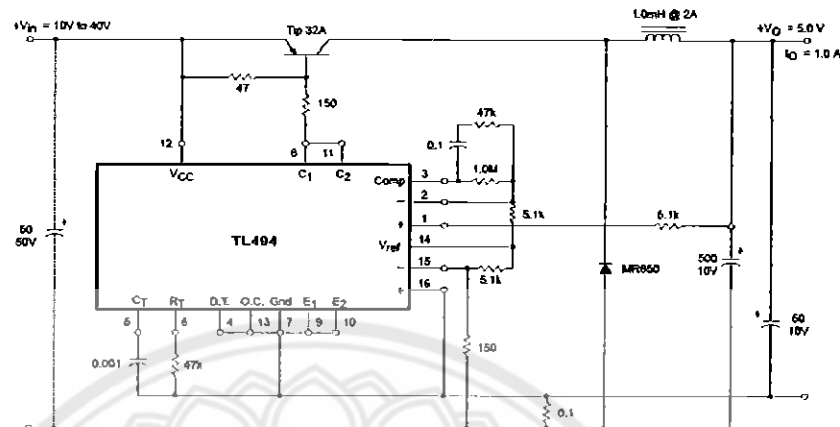


Figure 9. Standby Supply Current versus Supply Voltage



## TL494

Figure 21. Pulse Width Modulated Step-Down Converter



Test	Conditions	Results
Line Regulation	$V_{in} = 8.0 \text{ V to } 40 \text{ V}$	3.0 mV 0.01%
Load Regulation	$V_{in} = 12.6 \text{ V}, I_O = 0.2 \text{ mA to } 200 \text{ mA}$	5.0 mV 0.02%
Output Ripple	$V_{in} = 12.6 \text{ V}, I_O = 200 \text{ mA}$	40 mV pp P.A.R.D.
Short Circuit Current	$V_{in} = 12.6 \text{ V}, R_L = 0.1 \Omega$	250 mA
Efficiency	$V_{in} = 12.6 \text{ V}, I_O = 200 \text{ mA}$	72%

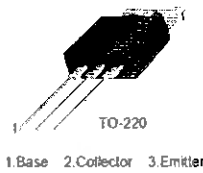




## TIP32 Series(TIP32/32A/32B/32C)

### Medium Power Linear Switching Applications

• Complement to TIP31/31A/31B/31C



1. Base 2. Collector 3. Emitter

### PNP Epitaxial Silicon Transistor

Absolute Maximum Ratings  $T_C=25^\circ\text{C}$  unless otherwise noted

Symbol	Parameter	Value	Units
$V_{CEO}$	Collector-Base Voltage : TIP32	-40	V
	: TIP32A	-60	V
	: TIP32B	-80	V
	: TIP32C	-100	V
$V_{CEO}$	Collector-Emitter Voltage : TIP32	-40	V
	: TIP32A	-60	V
	: TIP32B	-80	V
	: TIP32C	-100	V
$V_{EBO}$	Emitter-Base Voltage	-5	V
$I_C$	Collector Current (DC)	-3	A
$I_{CP}$	Collector Current (Pulse)	-5	A
$I_B$	Base Current	-3	A
$P_C$	Collector Dissipation ( $T_C=25^\circ\text{C}$ )	40	W
$P_C$	Collector Dissipation ( $T_a=25^\circ\text{C}$ )	2	W
$T_J$	Junction Temperature	150	$^\circ\text{C}$
$T_{STG}$	Storage Temperature	-65 ~ 150	$^\circ\text{C}$

Electrical Characteristics  $T_C=25^\circ\text{C}$  unless otherwise noted

Symbol	Parameter	Test Condition	Min.	Max.	Units
$V_{CEO(sus)}$	* Collector-Emitter Sustaining Voltage : TIP32	$I_C = -30\text{mA}, I_B = 0$	-40		V
	: TIP32A		-60		V
	: TIP32B		-80		V
	: TIP32C		-100		V
$I_{CEO}$	Collector Cut-off Current : TIP32/32A	$V_{CE} = -30\text{V}, I_B = 0$		-0.3	mA
	: TIP32B/32C	$V_{CE} = -60\text{V}, I_B = 0$		-0.3	mA
$I_{CES}$	Collector Cut-off Current : TIP32	$V_{CE} = -40\text{V}, V_{EB} = 0$		-200	$\mu\text{A}$
	: TIP32A	$V_{CE} = -60\text{V}, V_{EB} = 0$		-200	$\mu\text{A}$
	: TIP32B	$V_{CE} = -80\text{V}, V_{EB} = 0$		-200	$\mu\text{A}$
	: TIP32C	$V_{CE} = -100\text{V}, V_{EB} = 0$		-200	$\mu\text{A}$
$I_{EBO}$	Emitter Cut-off Current	$V_{EB} = -5\text{V}, I_C = 0$		-1	mA
$h_{FE}$	* DC Current Gain	$V_{CE} = -4\text{V}, I_C = 1\text{A}$	25		
		$V_{CE} = -4\text{V}, I_C = 3\text{A}$	10	50	
$V_{CE(sat)}$	* Collector-Emitter Saturation Voltage	$I_C = -3\text{A}, I_B = -375\text{mA}$		-1.2	V
$V_{BE(sat)}$	* Base-Emitter Saturation Voltage	$V_{CE} = -4\text{V}, I_C = -3\text{A}$		-1.8	V
$f_T$	Current Gain Bandwidth Product	$V_{CE} = -10\text{V}, I_C = -500\text{mA}$	3.0		MHz

\* Pulse Test: PV<300µs, Duty Cycle<2%

©2000 Fairchild Semiconductor International

Rev. A, February 2000

TIP32 Series(TIP32/32A/32B/32C)

### TIP32 Series(TIP32/32A/32B/32C)

#### Typical Characteristics

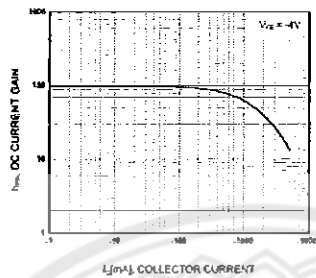


Figure 1. DC current Gain

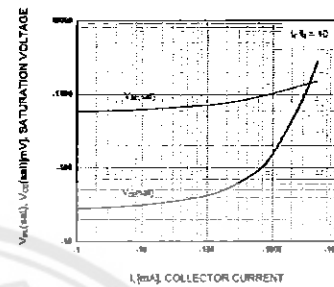


Figure 2. Base-Emitter Saturation Voltage  
Collector-Emitter Saturation Voltage

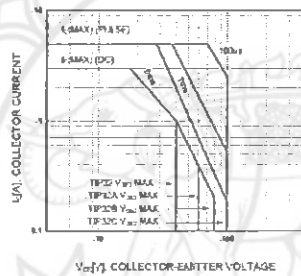


Figure 3. Safe Operating Area

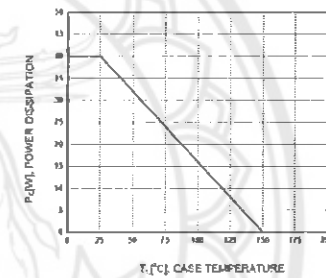


Figure 4. Power Derating



ภาคนวก ๙  
รายละเอียดของทรายชีสเตอร์หมายเลข BD139 และ BD140



## BD135 - BD136 BD139 - BD140

### Complementary low voltage transistor

#### Features

- Products are pre-selected in DC current gain

#### Application

- General purpose

#### Description

These epitaxial planar transistors are mounted in the SOT-32 plastic package. They are designed for audio amplifiers and drivers utilizing complementary or quasi-complementary circuits. The NPN types are the BD135 and BD139, and the complementary PNP types are the BD136 and BD140.

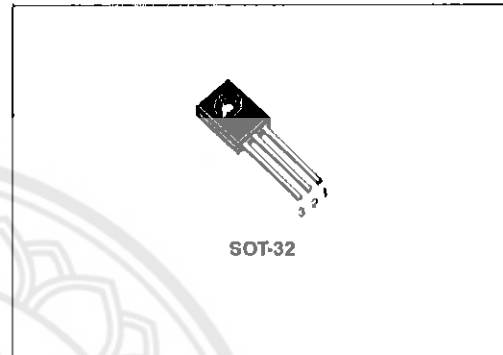


Figure 1. Internal schematic diagram

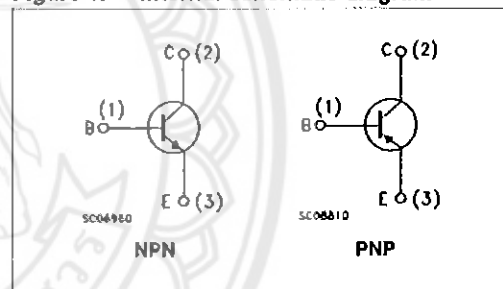


Table 1. Device summary

Order codes	Marking	Package	Packaging
BD135	BD135	SOT-32	Tube
BD135-16	BD135-16		
BD136	BD136		
BD136-16	BD136-16		
BD139	BD139		
BD139-10	BD139-10		
BD139-16	BD139-16		
BD140	BD140		
BD140-10	BD140-10		
BD140-16	BD140-16		

BD135 - BD136 - BD139 - BD140

Electrical ratings

## 1 Electrical ratings

Table 2. Absolute maximum ratings

Symbol	Parameter	Value				Unit	
		NPN		PNP			
		BD135	BD139	BD136	BD140		
$V_{CBO}$	Collector-base voltage ( $I_E = 0$ )	45	80	-45	-80	V	
$V_{CEO}$	Collector-emitter voltage ( $I_B = 0$ )	45	80	-45	-80	V	
$V_{EBO}$	Emitter-base voltage ( $I_C = 0$ )		5		-5	V	
$I_C$	Collector current		1.5		-1.5	A	
$I_{CM}$	Collector peak current		3		-3	A	
$I_B$	Base current		0.5		-0.5	A	
$P_{TOT}$	Total dissipation at $T_c \leq 25^\circ\text{C}$			12.5		W	
$P_{TOT}$	Total dissipation at $T_{amb} \leq 25^\circ\text{C}$			1.25		W	
$T_{stg}$	Storage temperature			-65 to 150		°C	
$T_j$	Max. operating junction temperature			150		°C	

Table 3. Thermal data

Symbol	Parameter	Max value	Unit
$R_{thj-case}$	Thermal resistance junction-case	10	°C/W
$R_{thj-amb}$	Thermal resistance junction-ambient	100	°C/W

**Electrical characteristics****BD135 - BD136 - BD139 - BD140****2 Electrical characteristics**(T<sub>case</sub> = 25 °C unless otherwise specified)**Table 4. On/off states**

Symbol	Parameter	Polarity	Test conditions	Value			Unit
				Min.	Typ.	Max.	
I <sub>CBO</sub>	Collector cut-off current (I <sub>E</sub> =0)	NPN	V <sub>CB</sub> = 30 V V <sub>CB</sub> = 30 V, T <sub>C</sub> = 125 °C			0.1 10	µA µA
		PNP	V <sub>CB</sub> = -30 V V <sub>CB</sub> = -30 V, T <sub>C</sub> = 125 °C			-0.1 -10	µA µA
I <sub>EBO</sub>	Emitter cut-off current (I <sub>C</sub> =0)	NPN	V <sub>EB</sub> = 5 V			10	µA
		PNP	V <sub>EB</sub> = -5 V			-10	µA
V <sub>CEO(sus)</sub> <sup>(1)</sup>	Collector-emitter sustaining voltage (I <sub>B</sub> =0)	NPN	I <sub>C</sub> = 30 mA BD135 BD139	45			V
				80			V
		PNP	I <sub>C</sub> = -30 mA BD136 BD140	-45			V
				-80			V
V <sub>CE(sat)</sub> <sup>(1)</sup>	Collector-emitter saturation voltage	NPN	I <sub>C</sub> = 0.5 A, I <sub>B</sub> = 0.05 A			0.5	V
		PNP	I <sub>C</sub> = -0.5 A, I <sub>B</sub> = -0.05 A			-0.5	V
V <sub>BE</sub> <sup>(1)</sup>	Base-emitter voltage	NPN	I <sub>C</sub> = 0.5 A, V <sub>CE</sub> = 2 V			1	V
		PNP	I <sub>C</sub> = -0.5 A, V <sub>CE</sub> = -2 V			-1	V
h <sub>FE</sub> <sup>(1)</sup>	DC current gain	NPN	I <sub>C</sub> = 5 mA, V <sub>CE</sub> = 2 V I <sub>C</sub> = 150 mA, V <sub>CE</sub> = 2 V I <sub>C</sub> = 0.5 A, V <sub>CE</sub> = 2 V	25			
				40		250	
				25			
		PNP	I <sub>C</sub> = -5 mA, V <sub>CE</sub> = -2 V I <sub>C</sub> = -150 mA, V <sub>CE</sub> = -2 V I <sub>C</sub> = -0.5 A, V <sub>CE</sub> = -2 V	25			
				40		250	
				25			
h <sub>FE</sub> <sup>(1)</sup>	h <sub>FE</sub> groups	NPN	I <sub>C</sub> = 150 mA, V <sub>CE</sub> = 2 V BD139-10 BD135-16/BD139-16	63		160	
				100		250	
		PNP	I <sub>C</sub> = -150 mA, V <sub>CE</sub> = -2 V BD140-10 BD136-16/BD140-16	63		160	
				100		250	

1. Pulsed: pulse duration = 300 µs, duty cycle 1.5%

BD135 - BD136 - BD139 - BD140

Electrical characteristics

## 2.1 Electrical characteristics (curves)

Figure 2. Safe operating area

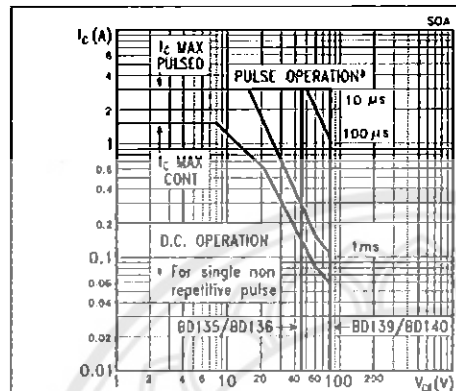
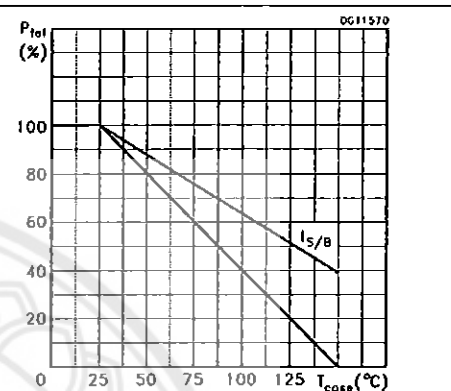


Figure 3. Derating





**LM324****Low Power Quad Operational Amplifier****DESCRIPTION**

The LM324 contains four independent high gain operational amplifiers with internal frequency compensation. The four op-amps operate over a wide voltage range from a single power supply. Also use a split power supply. The device has low power supply current drain, regardless of the power supply voltage. The low power drain also makes the LM324 a good choice for battery operation.

**FEATURES**

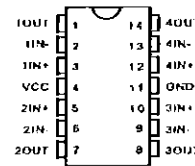
- Internally frequency-compensated for unity gain
- Large DC voltage gain: 100 dB
- Wide bandwidth(unity gain): 1 MHz (temperature-compensated)
- Wide power supply range:
  - Single supply: 3VDC to 32 VDC
  - Dual supplies: ±1.5VDC to ±16VDC
- Differential input voltage range equal to the power supply voltage
- Power drain suitable for battery operation
- Large output voltage swing: 0VDC to Vcc-1.5VDC

**APPLICATIONS**

- Transducer Amplifiers
- DC Gain-blocks
- All The Conventional Op Amp Circuits

**ORDERING INFORMATION**

Temperature Range	Package		Orderable Device	Package Qty
-40°C to +85°C	SOP14 DIP14	Pb-Free	LM324D	50Units/Tube
			LM324DR	3000Units/R&T
			LM324N	25Units/Tube

**PIN CONFIGURATION**

(Top View)



April. 2007

Rev 1.1

www.chipswinner.com

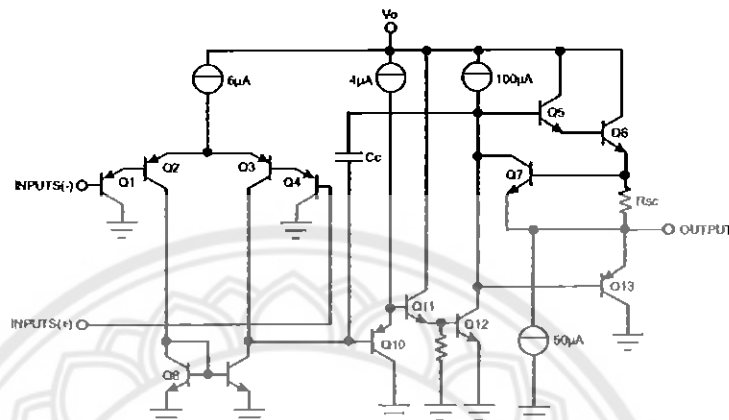
**LM324****SCHEMATIC DIAGRAM**

Figure 1. Simplified Block Diagram

**ABSOLUTE MAXIMUM RATINGS(NOTE1)**

Parameter	Symbol	Value	Unit
Power Supply Voltages	V <sub>CC</sub>	32	V
		± 16	
Input Differential Voltage Range(Note 2)	V <sub>IDR</sub>	±32	V
Input Common Mode Voltage Range	V <sub>ICR</sub>	-0.3 to 32	V
Output Short Circuit Duration	t <sub>SC</sub>	Continuous	
Junction Temperature (Plastic Packages)	T <sub>J</sub>	150	°C
Storage Temperature (Plastic Packages)	T <sub>SJ</sub>	-55 to +125	°C
Input Current,per pin(Note 3)	I <sub>IN</sub>	50	mA
Lead Temperature,1mm from Case for 10 Seconds	T <sub>L</sub>	260	°C

Note 1: Maximum Ratings are those values beyond which damage to the device may occur.  
Functional operation should be restricted to the Recommended Operating Conditions.

## Power Derating:

DIP Package:-10mW/°C from 65 to 125°C

SOP Package:-7mW/°C from 65 to 125°C

## Note 2: Split Power Supplies.

Note 3: V<sub>IN</sub><-0.3V.This input current will only exist when voltage at any of the input leads is driven negative.



April. 2007

Rev 1.1

www.chipswinner.com

**LM324****RECOMMENDED OPERATING CONDITIONS**

Parameter	Symbol	Min	Max	Unit
DC Supply Voltage	V <sub>cc</sub>	5.0	30	V
Split Supplies		+2.5	+15	
Operating Temperature, All Package Types	T <sub>A</sub>	-40	+85	°C

**Notes:** This device contains protection circuitry to guard against damage due to high static voltages or electric fields. However, precautions must be taken to avoid applications of any voltage higher than maximum rated voltages to this high-impedance circuit. For proper operation, V<sub>IN</sub> and V<sub>OUT</sub> should be constrained to the range GND ≤ (V<sub>IN</sub> or V<sub>OUT</sub>) ≤ V<sub>cc</sub>.

Unused inputs must always be tied to an appropriate logic voltage level (e.g., either GND or V<sub>cc</sub>).

Unused outputs must be left open.

**DC ELECTRICAL CHARACTERISTICS(T<sub>A</sub>=-40 to +85°C)**

Parameter	Symbol	Test Conditions	Min	Typ	Max	Unit
Maximum Input Offset Voltage	V <sub>IO</sub>	V <sub>O</sub> =1.4V, V <sub>CC</sub> =5.0-30V R <sub>S</sub> =0, V <sub>ICM</sub> =0V to V <sub>CC</sub> -1.7V			9.0 5.0*	mV
Input Offset Voltage Drift	ΔV <sub>IO</sub> /ΔT	R <sub>S</sub> =0Ω, V <sub>CC</sub> =30V		7.0		μV/°C
Maximum Input Offset Current	I <sub>IO</sub>	V <sub>CC</sub> =5.0V			150 50*	nA
Input Offset Current Drift	ΔI <sub>IO</sub> /ΔT	R <sub>S</sub> =0Ω, V <sub>CC</sub> =30V		10		pA/°C
Maximum Input Bias Current	I <sub>IB</sub>	V <sub>CC</sub> =5.0V			500 250*	nA
Input Common Mode Voltage Range	V <sub>ICR</sub>	V <sub>CC</sub> =30V	0		28	V
Maximum Power Supply Current	I <sub>CC</sub>	R <sub>L</sub> =∞, V <sub>CC</sub> =30V, V <sub>O</sub> =0V R <sub>L</sub> =∞, V <sub>CC</sub> =5V, V <sub>O</sub> =0V			3 1.2	mA
Minimum Large Signal Open-Loop Voltage Gain	A <sub>VL</sub>	V <sub>CC</sub> =15V R <sub>L</sub> ≥2kΩ	15 25*			V/mV
Minimum Output Low-Level Voltage Swing	V <sub>OL</sub>	V <sub>CC</sub> =30V, R <sub>L</sub> =2kΩ V <sub>CC</sub> =30V, R <sub>L</sub> =10kΩ	26 27			V
Maximum Output Low-Level Voltage Swing	V <sub>OL</sub>	V <sub>CC</sub> =5V, R <sub>L</sub> =10kΩ			20	mV
Common Mode Rejection	CMR	V <sub>CC</sub> =30V, R <sub>L</sub> =10kΩ	65*			dB



April. 2007

Rev 1.1

www.chipswinner.com

**LM324****DC ELECTRICAL CHARACTERISTICS(CONTINUED)**

Parameter	Symbol	Test Conditions	Min	Typ	Max	Unit
<b>Power Supply Rejection</b>	<b>PSR</b>	$V_{CC}=30V$	85°			dB
<b>Channel Separation</b>	<b>CS</b>	$f=1kHz \text{ to } 20kHz, V_{CC}=30V$	-120°			dB
<b>Maximum Output Short Circuit to GND</b>	<b>I<sub>SC</sub></b>	$V_{CC}=5.0V$			60°	mA
<b>Minimum Output Source Current</b>	<b>I<sub>BOUNCE</sub></b>	$V_{IN}=1V, V_{IN2}=0V, V_{CC}=16V, V_O=0V$	-10			mA
<b>Minimum Output Sink Current</b>	<b>I<sub>BANK</sub></b>	$V_{IN}=0V, V_{IN2}=1V, V_{CC}=16V, V_O=15V$	5			mA
<b>Differential Input Voltage Range</b>	<b>V<sub>IN</sub></b>	$V_{IN}=15V, V_{IN2}=0.2V$	12°			mA
		<b>ALL <math>V_O &gt; GND</math> or <math>V_{Supply}(if used)</math></b>			$V_{CC}$	V

at  $T_A=25^{\circ}C$ April, 2007  
Rev 1.1

www.chipswinner.com



ภาคผนวก ๙  
รายละเอียดของไอดีโอดหมายเลข FR204



## FR201 - FR207-STR

**PRV : 50 - 1000 Volts**  
**Io : 2.0 Amperes**

### FEATURES :

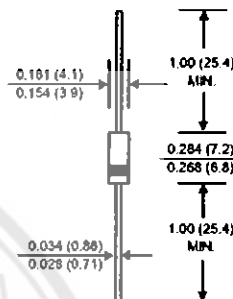
- High current capability
- High surge current capability
- High reliability
- Low reverse current
- Low forward voltage drop
- Fast switching for high efficiency

### MECHANICAL DATA :

- Case : D2 Molded plastic
- Epoxy : UL94V-O rate flame retardant
- Lead : Axial lead solderable per MIL-STD-202,  
Method 208 guaranteed
- Polarity : Color band denotes cathode end
- Mounting position : Any
- Weight : 0.465 gram

### FAST RECOVERY RECTIFIER DIODES

D2



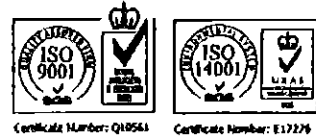
### MAXIMUM RATINGS AND ELECTRICAL CHARACTERISTICS

Rating at 25 °C ambient temperature unless otherwise specified  
Single phase, half wave, 60 Hz, resistive or inductive load.  
For capacitive load, derate current by 20%.

RATING	SYMBOL	FR201	FR202	FR203	FR204	FR205	FR206	FR207	FR207-STR	UNIT
Maximum Recurrent Peak Reverse Voltage	V <sub>RRM</sub>	50	100	200	400	600	800	1000	1000	V
Maximum RMS Voltage	V <sub>RMS</sub>	35	70	140	280	420	560	700	700	V
Maximum DC Blocking Voltage	V <sub>OC</sub>	50	100	200	400	600	800	1000	1000	V
Maximum Average Forward Current 0.375" (9.5mm) Lead Length      Ta = 55 °C	I <sub>F(AV)</sub>							2.0		A
Peak Forward Surge Current, 8.3ms Single half sine wave Superimposed on rated load (JEDEC Method)	I <sub>FSM</sub>							75		A
Maximum Peak Forward Voltage at I <sub>F</sub> = 2.0 Amps.	V <sub>F</sub>						1.3			V
Maximum DC Reverse Current      Ta = 25 °C	I <sub>R</sub>					10				µA
at Rated DC Blocking Voltage      Ta = 100 °C	I <sub>R(H)</sub>					500				µA
Maximum Reverse Recovery Time ( Note 1 )	T <sub>rr</sub>		150		250		500		250	ns
Typical Junction Capacitance ( Note 2 )	C <sub>J</sub>				15					pF
Junction Temperature Range	T <sub>J</sub>				- 65 to + 150					°C
Storage Temperature Range	T <sub>STO</sub>				- 65 to + 150					°C

#### Notes :

- ( 1 ) Reverse Recovery Test Conditions : I<sub>F</sub> = 0.5 A, I<sub>R</sub> = 1.0 A, I<sub>rr</sub> = 0.25 A.
- ( 2 ) Measured at 1.0 MHz and applied reverse voltage of 4.0 Vdc



### RATING AND CHARACTERISTIC CURVES (FR201 - FR207-STR)

FIG.1 - REVERSE RECOVERY TIME CHARACTERISTIC AND TEST CIRCUIT DIAGRAM

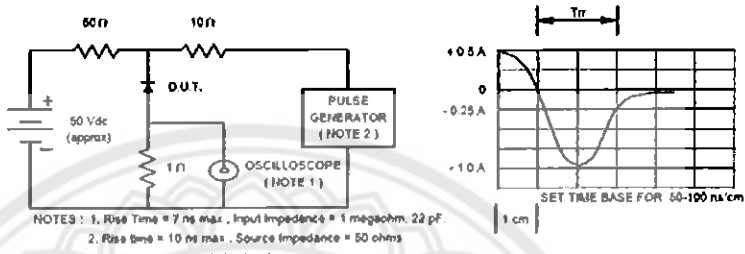


FIG.2 - DERATING CURVE FOR OUTPUT  
RECTIFIED CURRENT

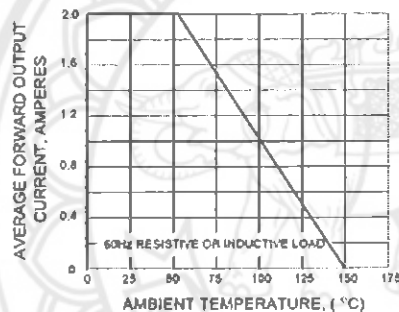


FIG.3 - MAXIMUM NON-REPETITIVE PEAK  
FORWARD SURGE CURRENT

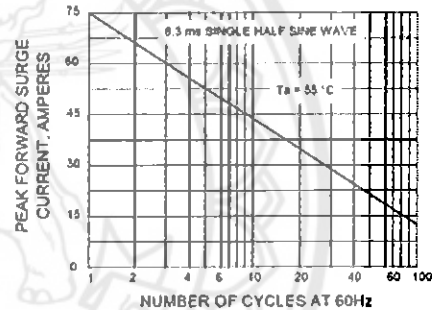


FIG.4 - TYPICAL FORWARD CHARACTERISTICS

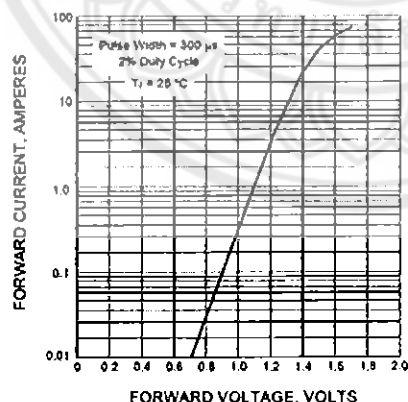
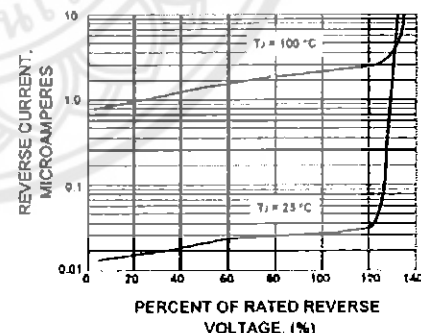


FIG.5 - TYPICAL REVERSE CHARACTERISTICS







## L7800 series

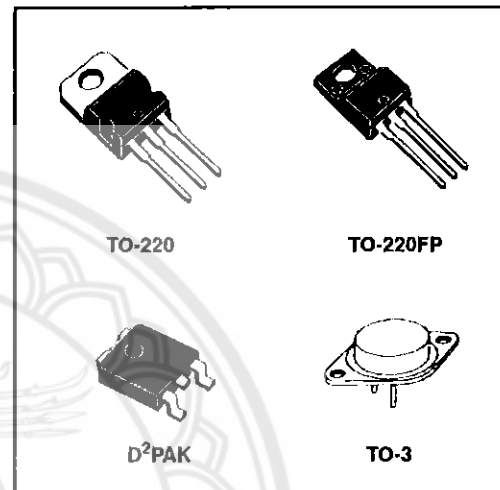
### Positive voltage regulators

#### Feature summary

- Output current to 1.5A
- Output voltages of 5; 5.2; 6; 8; 8.5; 9; 10; 12; 15; 18; 24V
- Thermal overload protection
- Short circuit protection
- Output transition SOA protection

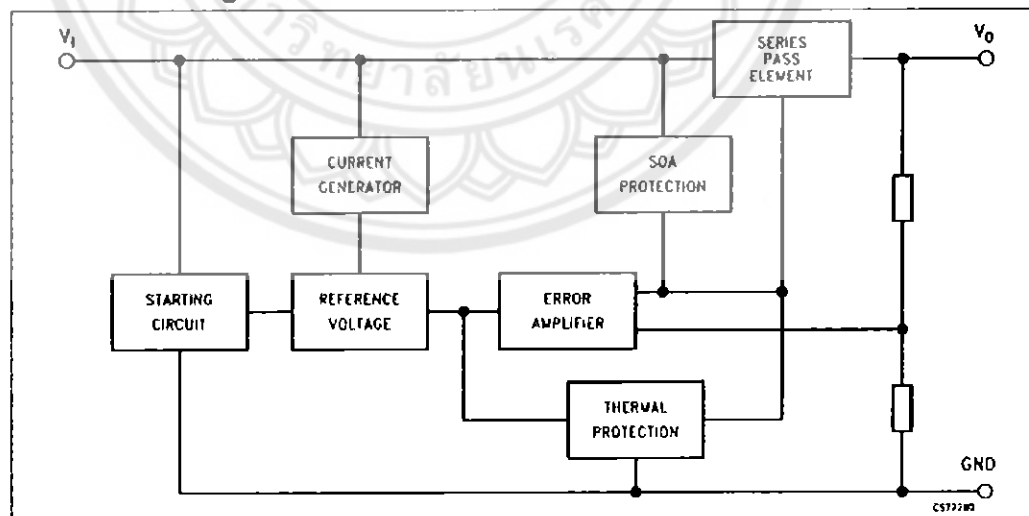
#### Description

The L7800 series of three-terminal positive regulators is available in TO-220, TO-220FP, TO-3 and D<sup>2</sup>PAK packages and several fixed output voltages, making it useful in a wide range of applications. These regulators can provide local on-card regulation, eliminating the distribution problems associated with single point regulation. Each type employs internal current limiting, thermal shut-down and safe area protection, making it essentially indestructible. If adequate heat sinking is provided, they can deliver over 1A output current. Although designed



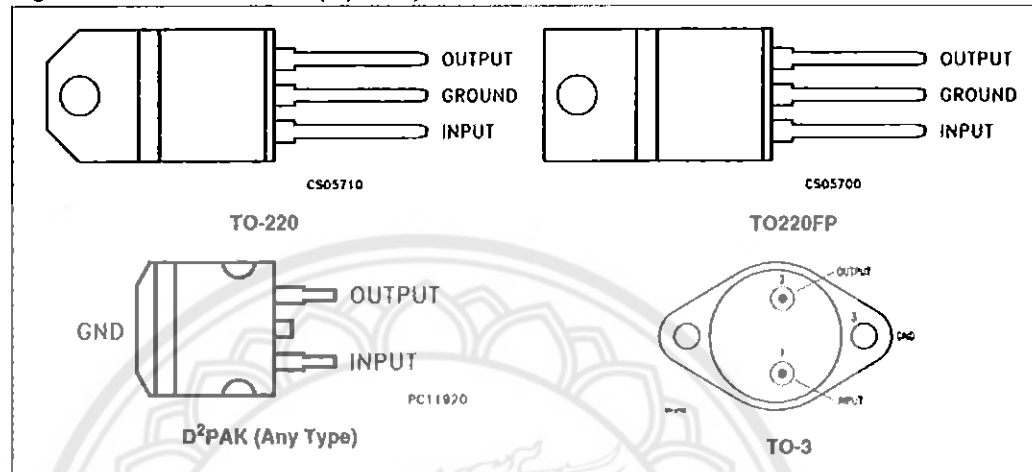
primarily as fixed voltage regulators, these devices can be used with external components to obtain adjustable voltage and currents.

#### Schematic diagram

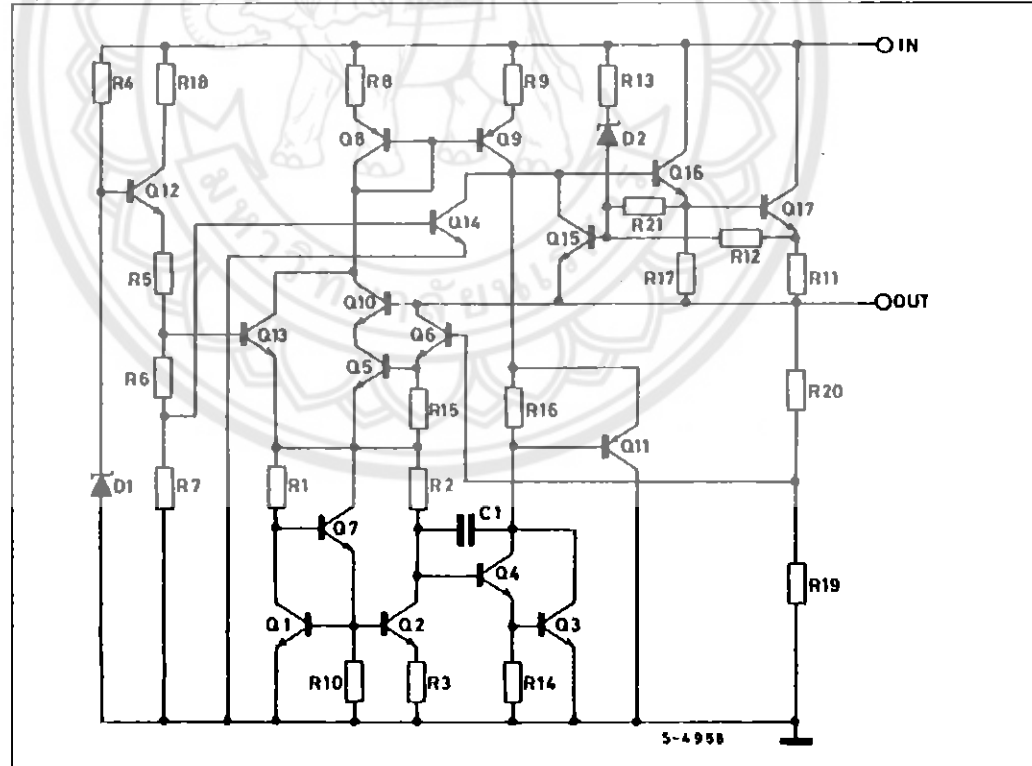


## 1 Pin configuration

**Figure 1.** Pin connections (top view)



**Figure 2.** Schematic diagram



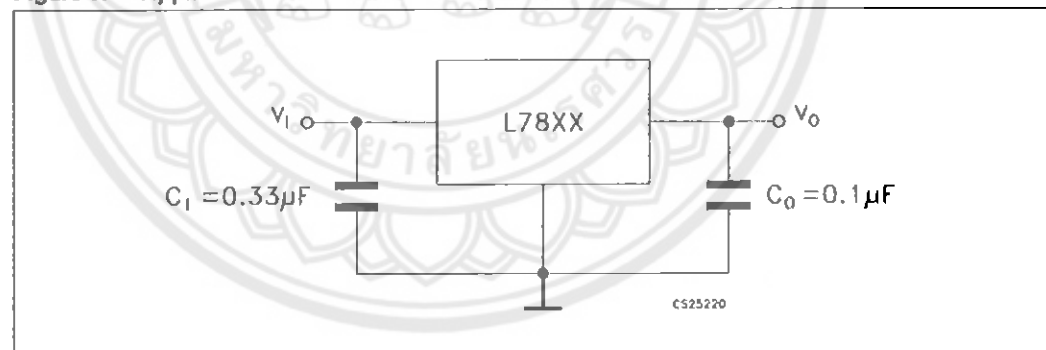
**Maximum ratings****L7800 series****2 Maximum ratings****Table 1. Absolute maximum ratings**

Symbol	Parameter	Value	Unit
$V_I$	DC Input voltage for $V_O = 5$ to 18V	35	V
	for $V_O = 20, 24V$	40	
$I_O$	Output current	Internally Limited	
$P_D$	Power dissipation	Internally Limited	
$T_{STG}$	Storage temperature range	-65 to 150	°C
$T_{OP}$	Operating junction temperature range for L7800	-55 to 150	°C
	for L7800C	0 to 150	

**Note:** *Absolute Maximum Ratings are those values beyond which damage to the device may occur. Functional operation under these condition is not implied.*

**Table 2. Thermal Data**

Symbol	Parameter	D <sup>2</sup> PAK	TO-220	TO-220FP	TO-3	Unit
$R_{thJC}$	Thermal resistance junction-case	3	5	5	4	°C/W
$R_{thJA}$	Thermal resistance junction-ambient	62.5	50	60	35	°C/W

**Figure 3. Application circuits**

ภาคผนวก ๗

รายละเอียดของรีเลย์หมายเลข HRS2H-S-DC5V

มหาวิทยาลัยพะเยา



SIGNAL RELAY

**Safety Approval**

cUL No. E164730

No. 50097843

**Features**

- Microminiature relay
- Dimension: 20.3×9.9×11.4 (mm)
- High sensitivity
- 2 Form C contacts

**ORDERING INFORMATION**

HRS2H - [S] - DC12V - [T]

Model	Enclosure	Coil Voltage	Coil Sensitivity
	S - Plastic Sealed Type	DC3V, DC5V, DC6V DC9V, DC12V, DC24V	Blank: 450mW T - High Sensitivity (150mW) N - Sensitivity (200mW) B - Standard 360mW (48VDC·400mW)

Remarks: 1. Available in 2 Form C only    2. Contact rating: 1A, 2A

**SPECIFICATION****CONTACT DATA**

Contact Form	2 Form C
Contact Material	AuAg overlay, Ag Alloy
Contact Rating	1A 120VAC/24VDC 2A 120VAC/24VDC
Contact Resistance	Max. 50mΩ (6VDC 0.1A)
Load	Max. Switching Voltage 125VAC/30VDC
	Max. Switching Current 2A
	Max. Switching Power 250VA, 60W
Life	Min. Switching Load 5VDC, 10mA
	Electrical 100,000 operations
	Mechanical 15,000,000 operations

**GENERAL DATA**

Insulation Resistance	Min. 1000MΩ 500VDC
Dielectric Strength	Between open contacts 500VAC, 1min Between coil and contacts 1,000VAC, 1min
Operate Time	Max. 7ms
Release Time	Max. 3ms
Operating Temperature	-25°C to +70°C
Humidity	35~95%RH, +40°C
Surge Strength	1,500VAC, 10x160 μs
Shock Resistance	Endurance 1,000m/s² Misoperation 100m/s²
Vibration Resistance	Endurance 10~55Hz, 1.5mm double amplitude Misoperation 10~55Hz, 1.5mm double amplitude
Weight	Approximately 5.0g

Note: Data shown are of initial value

**SAFETY APPROVAL**

File Number	Contact Form	Power Consumption	Coil Voltage	Contact Rating	Remark
UL E164730	C	0.15W/0.20W/0.36W	3-48VDC	1A 120VAC/24VDC	Ambient Temperature: 85°C
	C	0.45W	3-48VDC	2A 120VAC/24VDC	
	C	0.20W/0.36W	3-24VDC	1A 120VAC/24VDC	
TUV 50097843	C			1A 120VAC/24VDC	Ambient Temperature: 70°C

Specifications subject to change without notice

ISO9001, ISO/Ts16949, ISO14001 Approved

HKE HRS2H-198

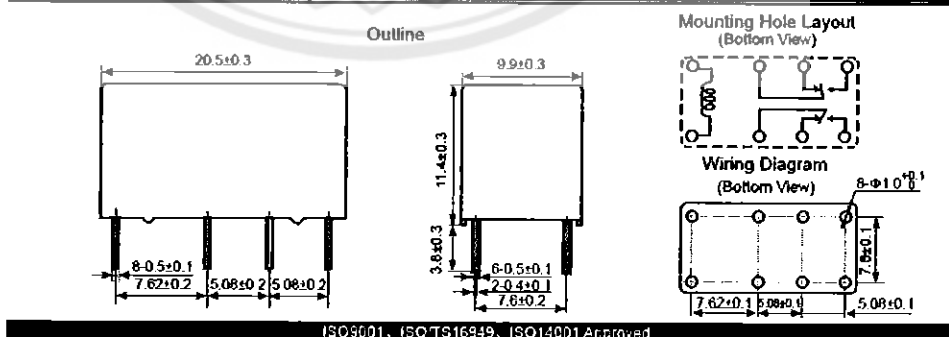


## COIL DATA

Ambient Temperature: 23°C

Model	Nominal Voltage VDC	Coil Resistance Ω+/-10%	Operate Voltage ≤VDC	Release Voltage ≥VDC	Coil Power mW
HRS2H-S-DC3V-N	3	45	2.25	0.3	200
HRS2H-S-DC5V-N	5	125	3.75	0.5	
HRS2H-S-DC6V-N	6	180	4.5	0.6	
HRS2H-S-DC9V-N	9	405	6.75	0.9	
HRS2H-S-DC12V-N	12	720	9.0	1.2	
HRS2H-S-DC24V-N	24	2880	18.0	2.4	
HRS2H-S-DC48V-N	48	11520	36.0	4.8	
HRS2H-S-DC3V-T	3	60	2.25	0.3	150
HRS2H-S-DC5V-T	5	168	3.75	0.5	
HRS2H-S-DC6V-T	6	240	4.5	0.6	
HRS2H-S-DC9V-T	9	540	6.75	0.9	
HRS2H-S-DC12V-T	12	960	9.0	1.2	
HRS2H-S-DC24V-T	24	3840	18.0	2.4	
HRS2H-S-DC48V-T	48	15360	36.0	4.8	
HRS2H-S-DC3V-B	3	25	2.25	0.3	360
HRS2H-S-DC5V-B	5	69.4	3.75	0.5	
HRS2H-S-DC6V-B	6	100	4.5	0.6	
HRS2H-S-DC9V-B	9	225	6.75	0.9	
HRS2H-S-DC12V-B	12	400	9.0	1.2	
HRS2H-S-DC24V-B	24	1600	18.0	2.4	
HRS2H-S-DC48V-B	48	5760	36.0	4.8	
HRS2H-S-DC3V	3	20	2.25	0.3	400
HRS2H-S-DC5V	5	55.6	3.75	0.5	
HRS2H-S-DC6V	6	80	4.5	0.6	
HRS2H-S-DC9V	9	180	6.75	0.9	
HRS2H-S-DC12V	12	320	9.0	1.2	
HRS2H-S-DC24V	24	1280	18.0	2.4	
HRS2H-S-DC48V	48	5120	36.0	4.8	

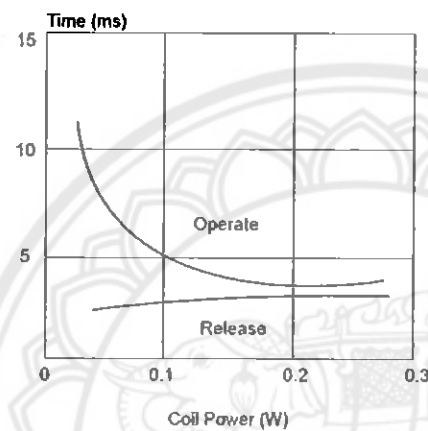
## OUTLINE, WIRING DIAGRAM, MOUNTING HOLE LAYOUT (UNIT: mm)

**KE** HRS2H-199

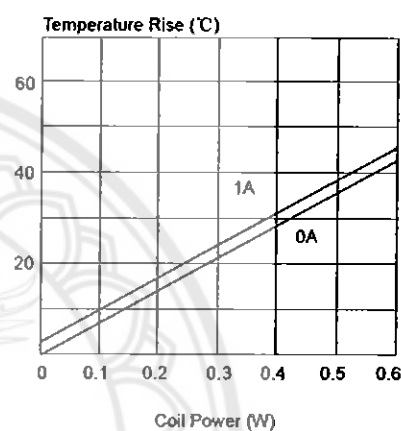


### REFERENCE DATA

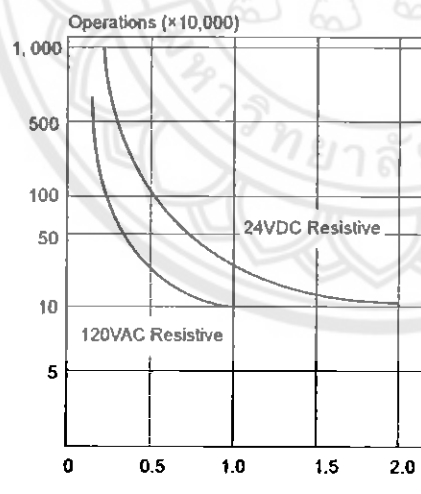
Timing



Coil Temperature Rise

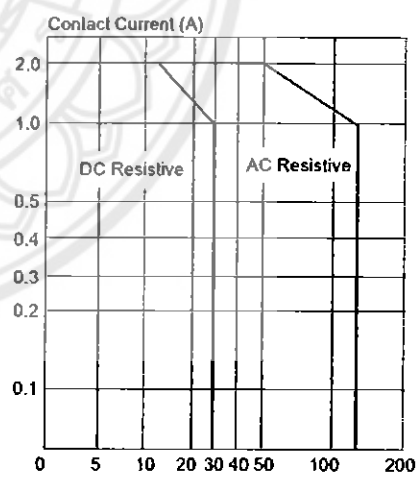


Life Curves



Contact Current (A)

Maximum Switching Power



Contact Voltage (V)

ISO9001, ISO/TS16949, ISO14001 Approved

**HKE** HRS2H-200